



Cáncer en Guayaquil, 2017

REGISTRO DE TUMORES SOLCA - GUAYAQUIL

Dr. Juan Tanca Campozano
Dr. Jhony Real Cotto
Ing. Leyda Jaramillo Feijoo

PRODUCCIÓN

Registro de Tumores SOLCA Matriz - Guayaquil

EDITORES

Dr. Juan Tanca Campozano

Dr. Jhony Real Cotto

Ing. Leyda Jaramillo Feijoo

COLABORACIÓN

Dr. Gonzalo Puga Peña

8va. Publicación

Guayaquil – Ecuador

Marzo de 2022

Consejo Directivo Nacional

Sociedad de Lucha contra el Cáncer del Ecuador SOLCA

Ing. José Ramón Jouvín Vernaza
Presidente

Sr. Francisco Xavier Solá Tanca
Vicepresidente

Ab. César Ignacio Drouet Candel
Síndico

Ing. Olmedo Xavier Ycaza Ruperti
Secretario

Dr. Guillermo Alejandro Paulson Vernaza
Sub-Secretario

Sra. Mirabel María Estrada de Suarez
Presidenta Comité de Damas

Miembros del Consejo Directivo Nacional

Dr. Juan Pablo Tanca Campozano

Ing. José Luis Suárez Arosemena

Dr. Gabriel Abelardo Rovayo Vera

Dr. Ramón Eduardo Villacreses Peña

Dr. Juan Diego Peña Carrasco

Ing. José Antenor Macchiavello Almeida

Dr. Luis Antonio Plaza Febres-Cordero

Ing. Carlos Alberto Andrade González

Abg. María Caterina Costa von Buchwald

Dr. Carlos Ernesto Ortega Maldonado

Ing. Juan Antonio González Portes

Dr. Lenín Eduardo Salmon Alvarado

Ing. Bruno Antonio Leone Pignataro

Ing. Sixto Domingo Cuesta Compán

Sr. Francisco José Manfredi Trullas

Dr. Oswaldo José Molestina Zavala

Ing. Fernando Vicente Jiménez Carbo

Dignidades de SOLCA Matriz Guayaquil

Presidente: Ing. José Jouvin Vernaza

Presidente Consejo Hospitalario: Dr. Ramón Villacreses Peña

Gerente General: Ing. Ernesto Burbano De Lara Plaza

Gerente Hospitalario: Dr. Gonzalo Puga Peña

Director Médico: Dr. Guido Panchana Egüez

**REGISTRO DE TUMORES SOLCA GUAYAQUIL
DEPARTAMENTO DE BIOESTADÍSTICA**

DIRECTOR DE REGISTRO DE TUMORES

Dr. Juan Tanca Campozano, Esp.

JEFE DE DEPARTAMENTO DE BIOESTADÍSTICA

Dr. Jhony Real Cotto, PhD.

JEFE DE GESTIÓN DE LA INFORMACIÓN Y PRODUCTIVIDAD

Ing. Leyda Jaramillo Feijoo, MSc.

REGISTRADORES

**Sr. Ronny Toaza Cepeda
Econ. Mariuxi Quimís Marcillo
Sr. Rolando Guamán Zamora**

ANALISTAS ESTADÍSTICOS

**Ing. Ana Roha Ochoa
Ing. Jackeline Herrera Pacheco**

AGRADECIMIENTO

Nuestro profundo agradecimiento a toda Red Pública Integral de Salud y la Red Complementaria de Salud, conformada por: hospitales y clínicas; así como al Instituto Nacional de Estadísticas y Censos INEC, Médicos Especialistas y personal que no constan en este listado, pero que de manera desinteresada colaboran con el Registro de Tumores, que proporcionan la información de los casos de cáncer y que se ve reflejada en este informe.

¡A Ustedes muchas gracias!

Patólogos

Dra. Andrade Rendon Jessica
Dra. Auncancela Sánchez Jinna
Dra. Bautista Litardo Mariana
Dr. Camacho Alvares Fernando
Dr. Castillo Rodríguez Abel
Dr. Cedeño Navarrete Carlos
Dra. Cevallos De Sánchez María Elena
Dr. Cozarelli Mera Cellini
Dra. Díaz Cevallos Linda
Dr. Estrada Morales Allan
Dr. Franco Estrella Walter
Dr. Garcés Santos Juan Carlos
Dra. Guerrero Cedeño Maritza
Dr. Hidrovo Barreiro Rubén
Dra. Jurado Barahona Kerly
Dra. Kuri González Margarita
Dr. Ledesma Lavayen Mauricio
Dr. Leone Stay Aldo
Dr. Loayza Sánchez Enrique
Dr. Mendoza Moran José
Dr. Miranda Vargas Freddy
Dra. Moran Pareja Eufemia
Dra. Noboa Cercado Andrea
Dra. Nuques Martínez María
Dra. Pérez Cepeda Carolina
Dr. Pérez Merizalde Juan
Dr. Plaza Vélez Luis Enrique
Dr. Ramírez Gaona Alex
Dra. Ramírez Rosero Ana
Dra. Rodas Suarez Patricia
Dra. Romero Coronel Aurora
Dra. Romero García Nelly
Dr. Rubio Coronel Gustavo
Dr. Rubio Sotomayor Alfonso
Dra. Saltos Viteri Diana
Dra. Sánchez Jaramillo Gianella
Dr. Solórzano José Luis
Dra. Soria Arteaga Laura
Dra. Triana Castro Tania
Dra. Urrea Terán Isabel
Dra. Van Isschot De Leone Monserrathe
Dr. Von Buchwald Jervis Carlos

Clínicas

Alborada
Alcívar
Alfa
Altamirano Barcia
Aprofe
Cemoplaf
Domínguez
Fiallos
Galeno
Génesis
Gentile
Gil
Guayaquil
Idrovo
Kennedy
Kennedy Norte
Moderna
Ortiz
Panamericana
Parker
Pasteur
Pediátrica
Proaño
Rendón
San Francisco
San Gabriel
San Marcos
Sánchez Villalta
Santa Ana
Santa Marianita
Sotomayor
Sudamericana
Tamayo Ortega
Universitario
Urdenor
Vargas Ortega
Omni Hospital
Sur Hospital

Instituciones

Coordinación Zonal 8 - Salud
Fuerzas Armadas del Ecuador
Instituto Ecuatoriano de Seguridad Social
Instituto Nacional Estadísticas y Censos del Ecuador
Junta de Beneficencia de Guayaquil
Ministerio de Gobierno del Ecuador
Ministerio de Salud Pública del Ecuador
Registro Civil del Guayas
Sociedad de Lucha Contra el Cáncer del Ecuador
Sociedad Protectora de la Infancia de Guayaquil

Hospitales

Del Niño "Dr. Francisco de Icaza Bustamante"	Ministerio de Salud Pública del Ecuador
Del niño "Dr. Roberto Gilbert Elizalde"	Junta de Beneficencia de Guayaquil
General "Luis Vernaza"	Junta de Beneficencia de Guayaquil
De la mujer Alfredo G. Paulson"	Junta de Beneficencia de Guayaquil
Guayaquil "Abel Gilbert Pontón"	Ministerio de Salud Pública del Ecuador
Infectología "José Rodríguez Maridueña"	Ministerio de Salud Pública del Ecuador
Instituto Nacional de Investigación en Salud Pública "Leopoldo Izquieta Pérez"	Ministerio de Salud Pública del Ecuador
Instituto Oncológico Nacional "Dr. Juan Tanca Marengo"	Sociedad de Lucha Contra el Cáncer Sociedad
León Becerra	Sociedad Protectora de Infancia de Guayaquil
Materno Infantil del Guasmo "Matilde Hidalgo de Procel"	Ministerio de Salud Pública del Ecuador
Naval	Fuerzas Armadas del Ecuador
Neumológico "Alfredo J. Valenzuela"	Ministerio de Salud Pública del Ecuador
Policía Nacional G-2	Ministerio de Gobierno del Ecuador
Psiquiátrico "Instituto de Neurociencias"	Junta de Beneficencia de Guayaquil
Regional "Teodoro Maldonado Carbo"	Instituto Ecuatoriano de Seguridad Social
Territorial	Fuerzas Armadas del Ecuador
Universitario	Ministerio de Salud Pública del Ecuador
Del Día "Dr. Efrén Jurado"	Instituto Ecuatoriano de Seguridad Social
Madre Berenice.	Red de Dispensarios Médicos de la Arquidiócesis de Guayaquil
Sagrada Familia	Privado

CONTENIDO

INTRODUCCIÓN.....	1
METODOLOGÍA	2
PIRÁMIDE POBLACIONAL DE GUAYAQUIL	4
PIRÁMIDE POBLACIONAL DE GUAYAQUIL. 2017	5
COMPARACIÓN DE PIRÁMIDE POBLACIONAL DE GUAYAQUIL	6
RESUMEN DE TODAS LAS LOCALIZACIONES DE CÁNCER, RESIDENTES EN LA CIUDAD DE GUAYAQUIL. 2017	7
TODOS LOS SITIOS	8
TUMORES EN TODOS LOS SITIOS: Ranking, tasas y porcentaje	9
TUMORES EN TODOS LOS SITIOS MENOS PIEL: Ranking, tasas y porcentaje.....	10
PRINCIPALES LOCALIZACIONES DE CÁNCER, RESIDENTES EN LA CIUDAD DE GUAYAQUIL. 2017	11
ESTÓMAGO	12
COLON.....	13
RECTO.....	14
HÍGADO	15
PÁNCREAS	16
BRONQUIOS Y PULMÓN	17
PIEL	18
MAMA	19
CUELLO DEL ÚTERO	20
CUERPO DEL ÚTERO	21
OVARIO	22
PRÓSTATA	23
RIÑÓN	24
ENCÉFALO	25
TIROIDES	26
LINFOMA NO HODGKIN	27
LEUCEMIAS.....	28
CÁNCER INFANTIL RESIDENTES EN LA CIUDAD DE GUAYAQUIL. 2017	29
Cáncer infantil de 0 a 19 años	30
Cáncer infantil de 0 a 19 años:	31
Gráficos según diagnóstico.....	31
ANEXOS	32
TASAS DE INCIDENCIA DEL CÁNCER INFANTIL DE 0 A 19 AÑOS EN NIÑOS. RESIDENTES EN GUAYAQUIL	33
TASAS DE INCIDENCIA DEL CÁNCER INFANTIL DE 0 A 19 AÑOS EN NIÑAS. RESIDENTES EN GUAYAQUIL.....	33
LOCALIZACIÓN TOPOGRÁFICA SEGÚN DIAGNÓSTICO HISTOLÓGICO Y SEXO. RESIDENTES EN GUAYAQUIL 2017	42
INCIDENCIA DE CÁNCER DETERMINADO POR INSTITUCIÓN Y POR SEXO	60
TRABAJOS, PÓSTERES Y CONTRIBUCIONES REALIZADAS	¡Error! Marcador no definido.

INTRODUCCIÓN

Los registros de cáncer de base poblacional, son recursos muy importantes en la epidemiología del cáncer, ya que ofrecen información sobre la distribución de la enfermedad en poblaciones como Guayaquil; y mediante estos registros, se recolectan en forma continua y sistemática todos los casos nuevos de cáncer diagnosticados entre los habitantes de un área geográfica bien definida a partir de una fecha determinada; del cual se obtiene un producto final que son estas publicaciones

Para ello, la Sociedad de Lucha Contra el Cáncer - SOLCA y sus núcleos, son los responsables del registro de las neoplasias en el Ecuador; por el cual, se tienen sistemas de vigilancia que recolectan, almacenan, procesan y analizan de forma continua y sistemática datos sobre los casos de cáncer que se producen en una población, estos son los denominados "Registros de Tumores".

El Ministerio de Salud Pública a finales del año 2011 inició un proceso de desarrollo de un Sistema Integrado de Vigilancia Epidemiológica cuyo objetivo es proveer información necesaria a los actores de todos los niveles de salud para planificar y evaluar el impacto de sus intervenciones.

En Guayaquil el registro de tumores depende de SOLCA Matriz; es de anotar, que esta ciudad se localiza en la costa del Pacífico del Ecuador, se divide en 16 parroquias urbanas, y 10 distritos; siendo la ciudad con mayor densidad poblacional en el país y capital de la provincia del Guayas.

Con la investigación epidemiológica realizada de carácter observacional, se puede describir con exactitud la residencia del caso investigado y se construyen indicadores con mayor precisión; contribuyendo a la vigilancia epidemiológica y

por ende, al mejoramiento en la respuesta de la prestación de servicios de salud, que constituye la segunda función esencial de la salud pública, reportándose al Ministerio de Salud Pública del Ecuador.

El Registro en Guayaquil inicia sus actividades en 1990 hasta la actualidad, aportando en este tiempo con 9 publicaciones las cuales han comprendido periodos de estudios de: 1990 a 1996, 1997 a 2000, 2001 a 2002, 2003 a 2006, 2007 a 2009, 2010 a 2014, 2015, 2016 y esta última 2017.

En este año se mantiene la relación de aproximadamente de 0,7 / 1 (hombres / mujeres).

Siguiendo la comparación de los tres últimos periodos de publicación, es decir 1999 a 2002; 2003 a 2006; 2007 a 2009, 2010 a 2014, 2015, 2016 y 2017 se observa lo siguiente:

Aunque la relación se mantiene en el porcentaje de cáncer por sexo, en las diferentes localizaciones no se presentan de forma igual; este último año los cánceres con mayor frecuencia en **hombres** fueron: (C44) Piel no Melanoma, seguido de (C61) Tumor maligno de Próstata; (C16) Tumor maligno de Estómago; (C42) Sistema hematopoyético y reticuloendotelial; (C18) Tumor maligno de Colon; (C22) Tumor maligno del hígado y vías biliares intrahepáticas; entre otros.

En cuanto a los Tumores en las **mujeres** se tuvo al (C50) Tumor maligno de Mama, seguido de (C44) Piel no Melanoma; (C53) Tumor maligno de Cuello de Útero Invasor; (C73) Tumor maligno de la Glándula Tiroides; (C16) Tumor maligno de Estómago; (C42) Sistema hematopoyético y reticuloendotelial; entre otros.

Dr. Juan Tanca Campozano
Director del Registro de Tumores SOLCA Guayaquil

METODOLOGÍA

El Registro de Tumores de SOLCA, es un registro de base poblacional y su área geográfica es la ciudad de Guayaquil.

La metodología consiste en una recolección activa de casos de cáncer diagnosticados en las distintas fuentes de información, tales como: laboratorios de patología, hematología, citología, establecimientos de salud públicos y privados, donde los registradores revisan las historias clínicas para completar los datos clínicos y demográficos del paciente. Además, se visitan otras fuentes de información, tales como: Instituto Nacional de Estadísticas y Censos INEC, para los egresos hospitalarios y certificados de defunción.

El análisis de la información se realiza a través de las medidas epidemiológicas: proporción, porcentaje, tasas de incidencia (cruda, específicas por edad, estandarizada, truncada). Además de indicadores de calidad razón incidencia/mortalidad, porcentaje de casos conocidos por certificado de defunción y verificación histológica.

Para garantizar exhaustividad y calidad de los datos, se confronta la base del registro con los certificados de defunción enviados por el departamento de estadística de la Coordinación Zonal 8 - Salud en Guayaquil.

Los certificados de defunción por cáncer que no se encuentran en la base de datos del registro, son sometidos a una investigación retrospectiva, donde se rastrean las actas de defunción identificando el hospital y médico que certifica la defunción y luego se visita para confirmar la base de diagnóstico del certificado.

BASE DE DATOS

El registro de tumores recolecta información desde el año 1990, la cual se ingresa a través del sistema informático desarrollado por el departamento de cómputo de SOLCA Guayaquil en plataforma ORACLE. El registro lleva más de 20 años almacenando información de casos de cáncer en hombres y mujeres en Guayaquil de forma permanente.

CÓDIGO DE CLASIFICACIÓN

Las tabulaciones en este informe comprenden todos los nuevos casos de cáncer. El carcinoma in situ del cérvix uterino, se lo clasificó separadamente, los cánceres invasivos se clasifican en los sitios respectivos. Se omiten lesiones precancerosas de los otros sitios, y se clasifican a todas las neoplasias malignas del sistema nervioso central.

TOPOGRAFÍA Y MORFOLOGÍA DEL TUMOR

En este informe todos los casos tanto la topografía como la morfología se presentan en el formato de ICD-O-III: se clasifican los tumores sólidos según el órgano de origen. Los tumores no sólidos (los linfomas malignos, leucemias y mieloma) se presentan según la categoría de la enfermedad independiente del órgano de origen, la gran mayoría de linfomas se encuentra en la codificación alfa-numérica C77 y las leucemias y los mielomas están en C42.

EXTENSIÓN DE LA ENFERMEDAD

IN SITU: Posición en que la neoplasia no es invasiva.

LOCALIZADO: Neoplasia invasiva confinada completamente al órgano de origen

REGIONAL: La neoplasia se ha extendido más allá de los límites del órgano de origen en los ganglios linfáticos regionales (clínico o histológico) o directamente en el tejido circundante u órganos.

DISTANTE: La neoplasia se ha extendido a otros ganglios linfáticos, metástasis a los órganos remotos (al hígado, pulmón, al cerebro, a la piel, al hueso, sistema nervioso central).

SIN ESTADIO: La información es desconocida o insuficiente para asignar una fase.

BASE DEL DIAGNÓSTICO

La base del diagnóstico es:

- 0 Defunción
- 1 Clínica
- 2 Rayos x y otros
- 3 Cirugía
- 4 Citología
- 5 Hematología
- 6 Histología de metástasis
- 7 Histología del tumor primario
- 8 Autopsia

TUMORES MÚLTIPLES

Los tumores múltiples en los diferentes órganos son registrados como enfermedades separadas según los criterios establecidos por la IACR, donde se indica que el tumor múltiple es aquel que se origina en un tejido o localización primaria y no es una extensión, recidiva o metástasis. Debe estar localizado en diferente sitio anatómico o, si está en la misma localización, su morfología debe pertenecer a una familia histopatológica distinta.

CALIDAD DE LOS DATOS

Para garantizar la calidad de los casos de cáncer ocurridos en la ciudad de Guayaquil y recolectados por el Registro de tumores, se deben medir los indicadores de exhaustividad y validez, además debe permitir comparación con los datos de otros registros de cáncer.

En exhaustividad, se calcula la razón mortalidad/incidencia. En promedio en todas las localizaciones del 2010-2014 excluyendo cáncer de piel no melanoma y los tumores in situ, se obtuvieron índices de mortalidad/incidencia del 43.8% en hombres y 40.9% en mujeres.

La Validez, se determina por el porcentaje de casos conocidos por los certificados de defunción, el porcentaje de casos con verificación histológica y el porcentaje de casos sin edad. En el periodo 2010-2014 el porcentaje de casos que ingresaron por certificado de defunción fue del 3,7% y con porcentaje de verificación histológica fue del 83%.

DEFINICIONES

Edad. Es la edad en años al momento del diagnóstico.

Residencia. Es la municipalidad de residencia en el momento del diagnóstico.

Proporción. Es la comparación de dos variables con características similares y se obtiene al realizar la variable estudiada en el numerador y en el denominador la variable estudiada más el resto de la población en estudio.

Razón. Es la comparación de dos variables que tienen características distintas.

Incidencia. Es el número de los casos nuevos de cáncer en una población definida dentro un periodo de tiempo especificado.

Tasa de Incidencia. Es el número de los casos nuevos de cáncer que se informaron dentro de un periodo definido de tiempo dividido para la población en riesgo en el mismo periodo (persona-años) de tiempo (generalmente expresado como la tasa por 100.000 personas por años).

Tasa Estandarizada. Son las tasas totales de incidencia que se ajustaron a la edad por medio del método directo y de la población mundial estándar.

Las tasas más altas de cáncer se presentan entre la población adulta, de ahí que las tasas crudas o brutas se vean afectadas por la estructura poblacional del lugar que se analiza. La manera de eliminar esta distorsión y por lo tanto volverlas comparables con otros registros de cáncer nacionales e internacionales es la estandarización, para lo cual existen varios métodos estadísticos. En este registro al igual que otros registros del Ecuador se utiliza el método directo, que consiste en aplicar las tasas específicas de cada grupo de edad en la distribución de la población mundial sugerida por la Agencia Internacional de Registros de Cáncer.

Tasa Cruda o Bruta. Es el número total de casos nuevos en un año, dividido para la población en estudio multiplicado por la constante de 100.000 y se expresa en tasas por 100.000 habitantes.

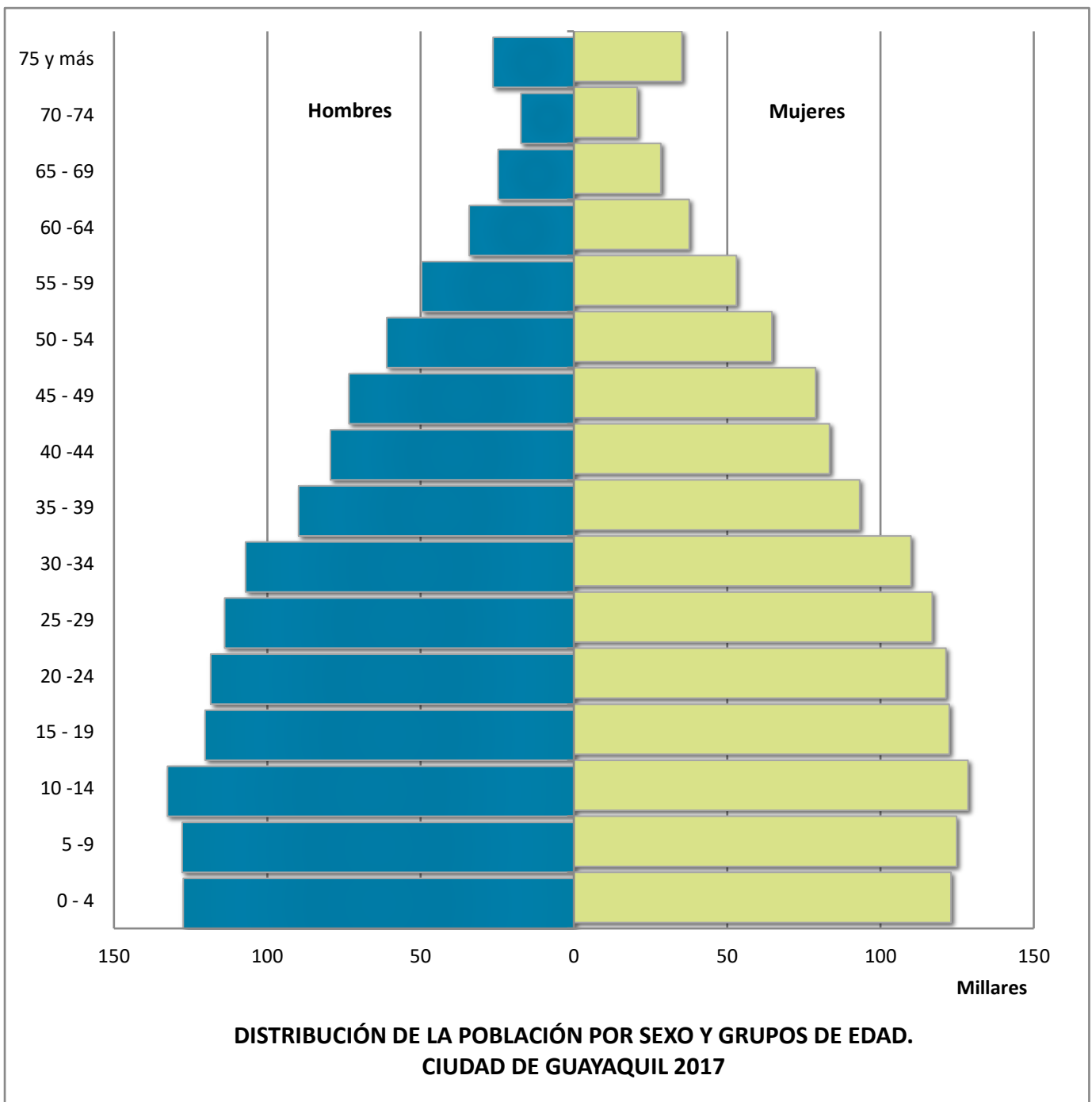
Tasa de Edad-Específica. Es la tasa de incidencia para los casos y la población de referencia en una edad especificada (grupo etario).

Tasa de Mortalidad. Es la relación entre el número de muertes ocurrido por cáncer y la población de riesgo dentro de un periodo definido de tiempo, multiplicando por el factor de amplificación 100.000.

Tendencia. Representa la direccionalidad de las tasas en los diferentes años. Utilizándose regresión lineal simple y la significación se realizó mediante análisis de varianza.

PIRÁMIDE POBLACIONAL DE GUAYAQUIL.

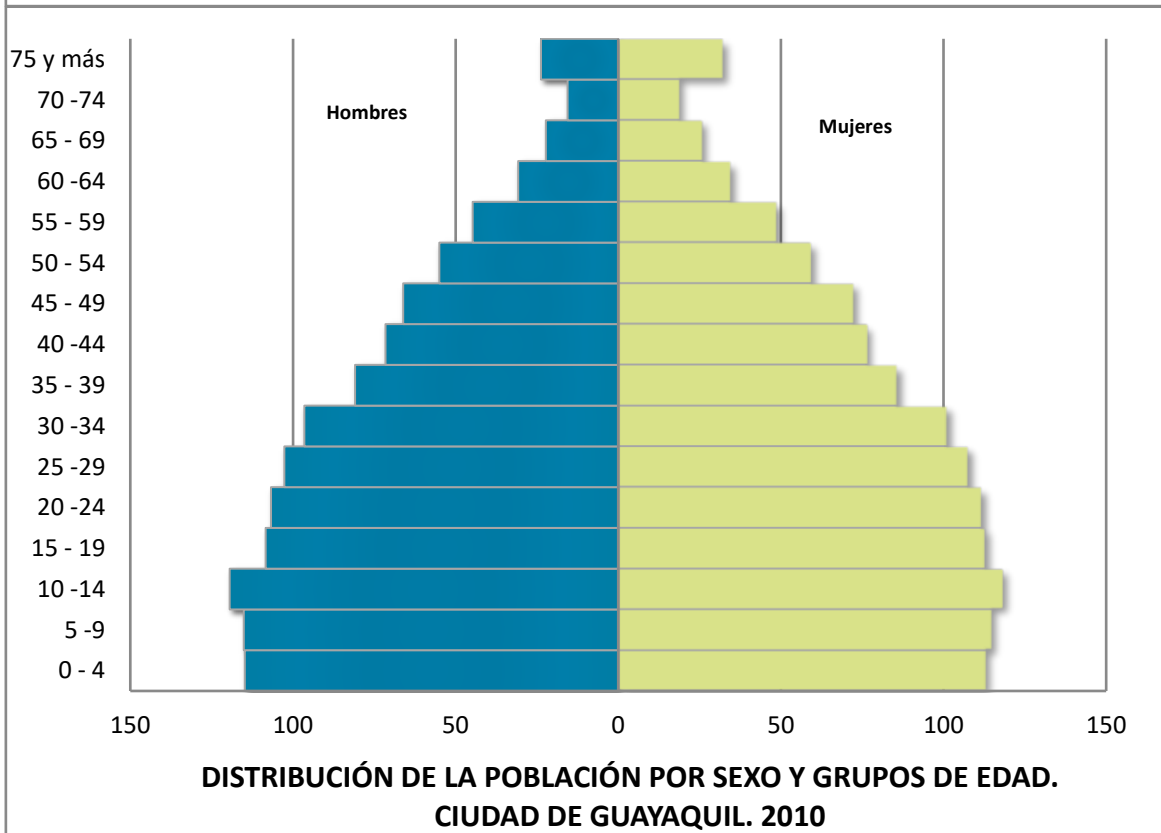
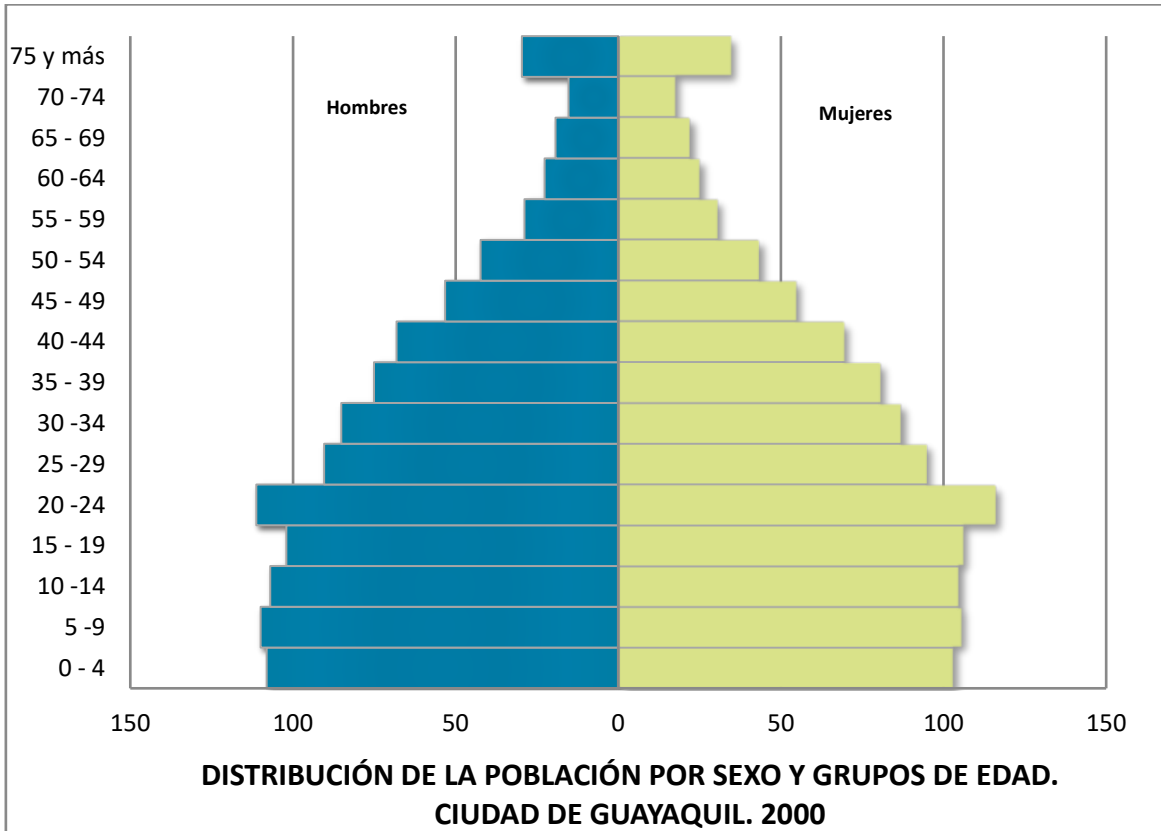
PIRÁMIDE POBLACIONAL DE GUAYAQUIL. 2017



Hombres 1'303.055

Mujeres 1'341.838

COMPARACIÓN DE PIRÁMIDE POBLACIONAL DE GUAYAQUIL

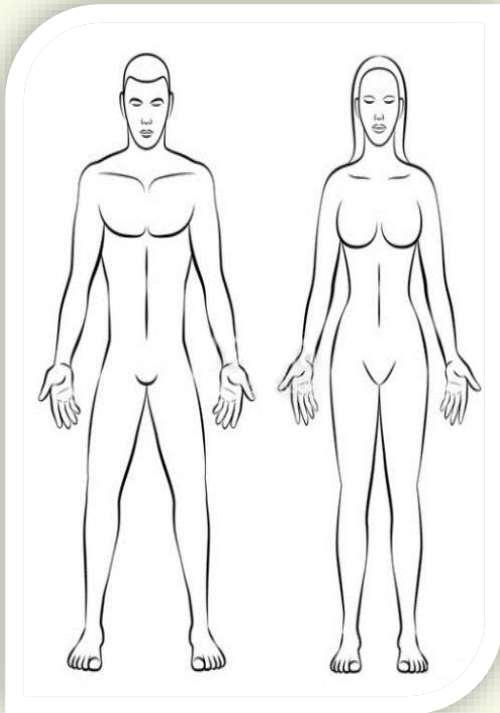


En los gráficos de población se puede observar un incremento en la población en el grupo etario de 10 a 14 años tanto para hombres como para mujeres.

RESUMEN DE TODAS LAS LOCALIZACIONES DE CÁNCER, RESIDENTES EN LA CIUDAD DE GUAYAQUIL. 2017

TODOS LOS SITIOS

Guayaquil



En Guayaquil, se diagnosticaron un total anual de **4 291** casos nuevos de cáncer, siendo el **41,83%** en hombres y **58,17%** en mujeres. La tasa cruda de incidencia es de **137,75** en hombres y **186,01** en mujeres por cada 100.000 habitantes. La tasa cruda de mortalidad es de **73,37** en hombres y **76,54** en mujeres por cada 100.000 habitantes.

La incidencia de cáncer en hombres viene incrementándose en mayor proporción que en mujeres en categoría de adulto mayor (65 años y más) y siendo estos grupos etarios con mayor afectación en ambos sexos. El **86,24%** de los casos fue con base histológica primaria.

En el año 2000 las tasas de incidencia en mujeres fue **111,72** al año 2017 fue de **186,01** y en hombre para el año 2000 fue **68,62** al año 2017 fue de **137,75**; sin embargo, la mortalidad por cáncer presenta similitudes en variabilidad tanto en hombre como en mujer, por lo tanto, se observa un aumento en el año 2005 y se encuentra estable hasta el 2009, a partir del 2010 presenta otro incremento y se encuentra estable hasta el 2015 y desde ese punto empieza a decrecer.

Gráfico de Tasas por Grupos de Edad y Sexo

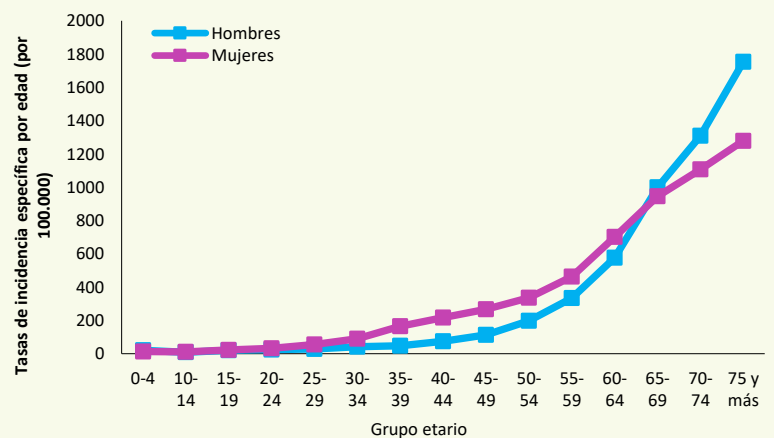


Tabla: Síntesis de Incidencia y Mortalidad

	Incidencia		Mortalidad	
	Hombre	Mujer	Hombre	Mujer
Número de casos	1795	2496	956	1027
% del total de casos	41,83	58,17	48,21	51,79
Tasa cruda	137,75	186,01	73,37	76,54
Tasa estandarizada	165,35	196,70	88,07	80,94

Tasa por 100.000 hab.

Gráfico de Tendencia de la Incidencia y Mortalidad

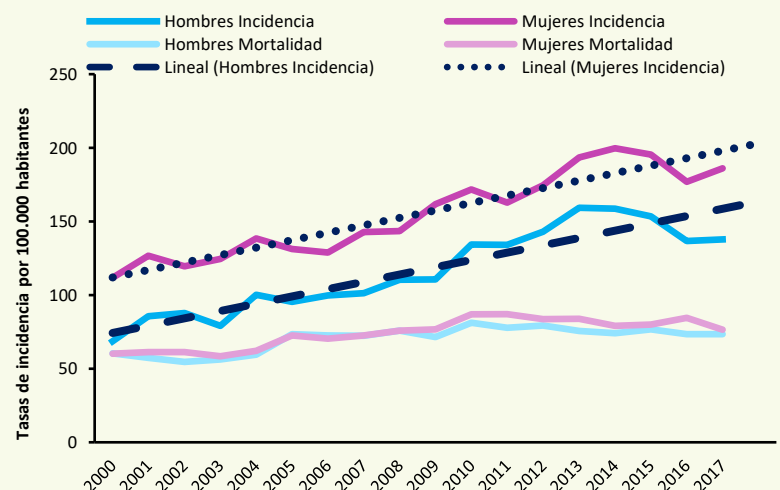


Tabla: Base de Diagnóstico

N° CASOS	MÉTODO	PORCENTAJE
4 291	HISTOLOGIA DEL TUMOR PRIMARIO	86,24%
	HEMATOLOGIA	6,29%
	DEFUNCIONES	5,42%
	HISTOLOGIA DE METASTASIS	1,53%
	CITOLOGIA	0,35%
	CIRUGIA	0,09%
	RX Y OTROS	0,07%

TUMORES EN TODOS LOS SITIOS: Ranking, tasas y porcentaje

Para el sexo masculino se puede observar que las tasa que ocupan los 5 primeros puestos son: C44: Piel no melanoma, C61: Próstata, C16: Estómago, C42: Sistema hematopoyético y reticuloendotelial y C18: Colon.

Tabla: Top 15 de las tasas crudas en hombres

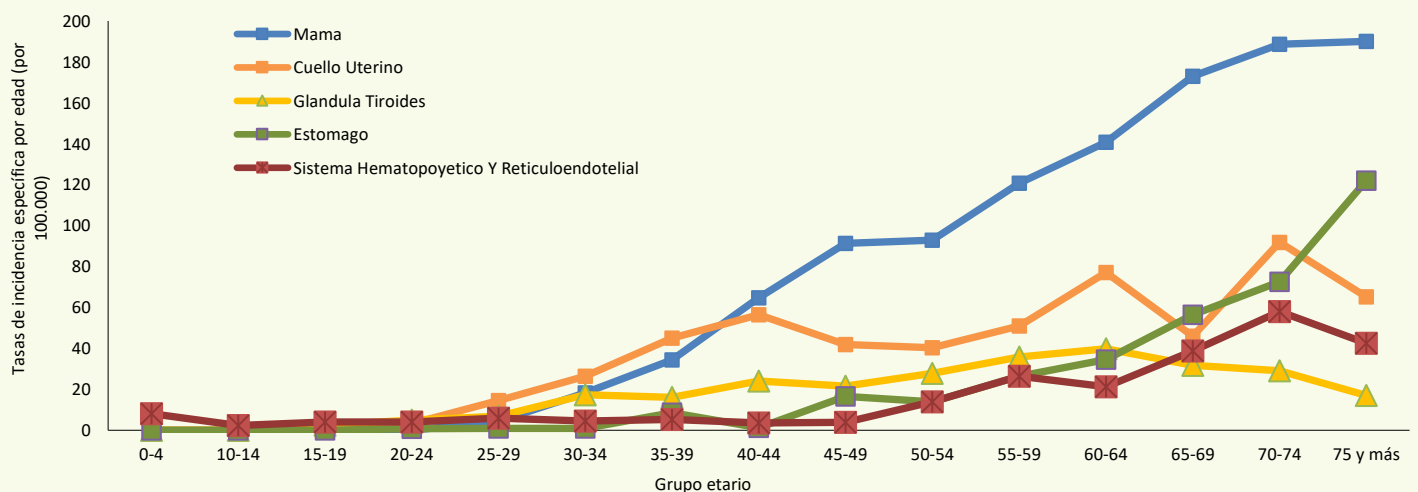
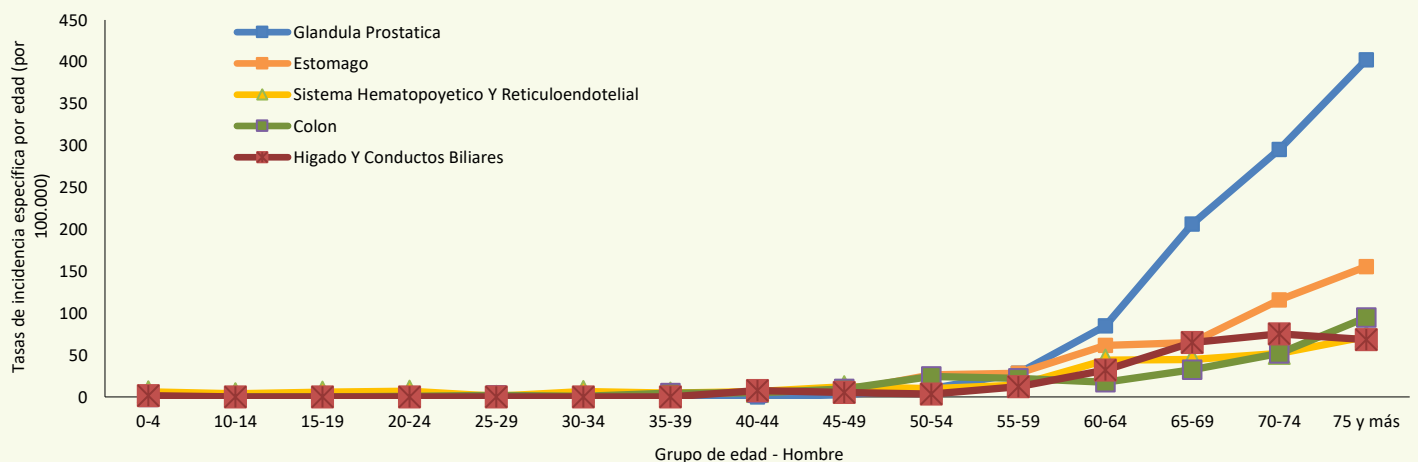
CIEO	Tipo de Cáncer	Casos	%	Tasa Cruda	Tasa Estándar ASR
C44	Piel	335	18,66	25,71	30,88
C61	Glándula Prostática	259	14,43	19,88	25,33
C16	Estomago	145	8,08	11,13	13,52
C42	Sistema Hematopoyético Y Reticuloendotelial	134	7,47	10,28	11,65
C18	Colon	93	5,18	7,14	8,14
C22	Hígado Y Conductos Biliares	78	4,35	5,99	7,72
C77	Ganglios Linfáticos	77	4,29	5,91	6,68
C34	Bronquios Y Pulmón	70	3,90	5,37	6,83
C64	Riñón	59	3,29	4,53	5,68
C71	Encéfalo	54	3,01	4,14	4,34
C73	Glándula Tiroides	45	2,51	3,45	4,00
C20	Recto	44	2,45	3,38	4,21
C67	Vejiga Urinaria	37	2,06	2,84	3,48
C25	Páncreas	36	2,01	2,76	3,51
C76	Sitios Mal Definidos Y Otros	32	1,78	2,46	2,78
Otros sitios		297	16,55	< 2,46	< 2,78
Todos los sitios		1795	100,00	137,75	165,35

Para el sexo femenino se puede observar que las tasas que ocupan los 5 primeros puestos son: C50: Mama, C44: Piel no melanoma, C53: Cuello del útero, C73: Tiroides y C42 Sistema hematopoyético y reticuloendotelial y C16: Estómago.

Tabla: Top 15 de las tasas crudas en mujeres

CIEO	Tipo de Cáncer	Casos	%	Tasa Cruda	Tasa Estándar ASR
C50	Mama	517	20,71	38,53	40,88
C44	Piel	319	12,78	23,77	24,53
C53	Cuello Uterino	309	12,38	23,03	23,26
C73	Glándula Tiroides	161	6,45	12,00	12,19
C16	Estómago	135	5,41	10,06	10,48
C42	Sistema Hematopoyético Y Reticuloendotelial	126	5,05	9,39	10,06
C18	Colon	117	4,69	8,72	9,50
C77	Ganglios Linfáticos	90	3,61	6,71	7,00
C56	Ovario	79	3,17	5,89	6,24
C34	Bronquios Y Pulmón	59	2,36	4,40	5,00
C54	Cuerpo Uterino	54	2,16	4,02	4,54
C22	Hígado Y Conductos Biliares	53	2,12	3,95	4,63
C71	Encéfalo	47	1,88	3,50	3,40
C64	Riñón	42	1,68	3,13	3,53
C25	Páncreas	37	1,48	2,76	2,78
Otros sitios		351	14,06	< 2,46	< 2,80
Todos los sitios		2496	100,00	186,01	196,695

Gráfico: Top 5 Tasa Cruda por Sexo y por Grupo de edad



TUMORES EN TODOS LOS SITIOS MENOS PIEL: Ranking, tasas y porcentaje

Para el sexo masculino se puede observar que las tasas que ocupan los 5 primeros puestos excluyendo piel no melanoma son: C61: Próstata, C16: Estómago y C42: Sistema hematopoyético y reticuloendotelial, C18: Colon y C77: Ganglios Linfáticos

Tabla: Top 15 de las tasas en hombres

CIEO	Tipo de Cáncer	Casos	%	Tasa Cruda	Tasa Estándar ASR
C61	Glándula Prostática	259	17,74	19,88	25,33
C16	Estomago	145	9,93	11,13	13,52
C42	Sistema Hematopoyético Y Reticuloendotelial	134	9,18	10,28	11,65
C18	Colon	93	6,37	7,14	8,14
C22	Hígado Y Conductos Biliares	78	5,34	5,99	7,72
C77	Ganglios Linfáticos	77	5,27	5,91	6,68
C34	Bronquios Y Pulmón	70	4,79	5,37	6,83
C64	Riñón	59	4,04	4,53	5,68
C71	Encéfalo	54	3,70	4,14	4,34
C73	Glándula Tiroides	45	3,08	3,45	4,00
C20	Recto	44	3,01	3,38	4,21
C67	Vejiga Urinaria	37	2,53	2,84	3,48
C25	Páncreas	36	2,47	2,76	3,51
C76	Sitios Mal Definidos Y Otros	32	2,19	2,46	2,78
C15	Esófago	26	1,78	2,00	2,48
Otros sitios sin piel		271	18,56	< 2,00	< 2,48
Todos los sitios		1795		137,75	165,35
Todos los sitios menos piel (C44)		1460	100,00	112,04	134,47

Para el sexo femenino se puede observar que las tasas que ocupan los 5 primeros puestos excluyendo piel no melanoma son: C50: Mama, C53: Cuello del útero, C73: Tiroides, C42: Sistema hematopoyético y reticuloendotelial Y C18: Colon.

Tabla: Top 15 de las tasas en mujeres

CIEO	Tipo de Cáncer	Casos	%	Tasa Cruda	Tasa Estándar ASR
C50	Mama	517	23,75	38,53	40,88
C53	Cuello Uterino	309	14,19	23,03	23,26
C73	Glándula Tiroides	161	7,40	12,00	12,19
C16	Estomago	135	6,20	10,06	10,48
C42	Sistema Hematopoyético Y Reticuloendotelial	126	5,79	9,39	10,06
C18	Colon	117	5,37	8,72	9,50
C77	Ganglios Linfáticos	90	4,13	6,71	7,00
C56	Ovario	79	3,63	5,89	6,24
C34	Bronquios Y Pulmón	59	2,71	4,40	5,00
C54	Cuerpo Uterino	54	2,48	4,02	4,54
C22	Hígado Y Conductos Biliares	53	2,43	3,95	4,63
C71	Encéfalo	47	2,16	3,50	3,40
C64	Riñón	42	1,93	3,13	3,53
C25	Páncreas	37	1,70	2,76	2,78
C20	Recto	33	1,52	2,46	2,80
Otros sitios sin piel		318	14,61	< 2,46	< 2,80
Todos los sitios		2496		186,01	196,70
Todos los sitios menos piel (C44)		2177	100,00	162,24	172,17

Tabla: Top 15 del peso en porcentaje en hombres

CIEO	Tipo de Cáncer	No.	%	% Acum.	Rank.
C61	Glándula Prostática	259	17,74	17,74	1
C16	Estomago	145	9,93	27,67	2
C42	Sistema Hematopoyético Y Reticuloendotelial	134	9,18	36,85	3
C18	Colon	93	6,37	43,22	4
C22	Hígado Y Conductos Biliares	78	5,34	48,56	5
C77	Ganglios Linfáticos	77	5,27	53,84	6
C34	Bronquios Y Pulmón	70	4,79	58,63	7
C64	Riñón	59	4,04	62,67	8
C71	Encéfalo	54	3,70	66,37	9
C73	Glándula Tiroides	45	3,08	69,45	10
C20	Recto	44	3,01	72,47	11
C67	Vejiga Urinaria	37	2,53	75,00	12
C25	Páncreas	36	2,47	77,47	13
C76	Sitios Mal Definidos Y Otros	32	2,19	79,66	14
C15	Esófago	26	1,78	81,44	15
Otros sin piel		271	18,56	100,00	16
Todos los sitios		1795			
Todos los sitios menos piel		1460	100,00		

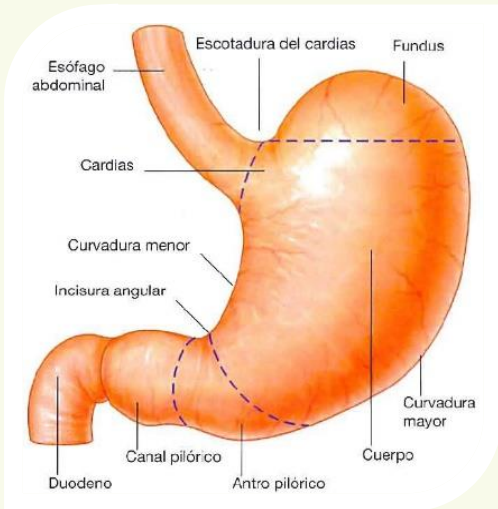
Tabla: Top 15 del peso en porcentaje en mujeres

CIEO	Tipo de Cáncer	No.	%	% Acum.	Rank.
C50	Mama	517	23,75	23,75	1
C53	Cuello Uterino	309	14,19	37,94	2
C73	Glándula Tiroides	161	7,40	45,34	3
C16	Estomago	135	6,20	51,54	4
C42	Sistema Hematopoyético Y Reticuloendotelial	126	5,79	57,33	5
C18	Colon	117	5,37	62,70	6
C77	Ganglios Linfáticos	90	4,13	66,84	7
C56	Ovario	79	3,63	70,46	8
C34	Bronquios Y Pulmón	59	2,71	73,17	9
C54	Cuerpo Uterino	54	2,48	75,65	10
C22	Hígado Y Conductos Biliares	53	2,43	78,09	11
C71	Encéfalo	47	2,16	80,25	12
C64	Riñón	42	1,93	82,18	13
C25	Páncreas	37	1,70	83,88	14
C20	Recto	33	1,52	85,39	15
Otros sin piel		318	14,61	100,00	16
Todos los sitios		2496			
Todos los sitios menos piel		2177	100,00		

PRINCIPALES LOCALIZACIONES DE CÁNCER, RESIDENTES EN LA CIUDAD DE GUAYAQUIL. 2017

ESTÓMAGO

Guayaquil



En este año se diagnosticaron **280** casos nuevos de cáncer de estómago, siendo el **63,89%** en hombres y **36,11%** mujeres.

La tasa cruda de incidencia es de **11,13** en hombres y **10,06** en mujeres por cada 100.000 habitantes, la tasa cruda de mortalidad es de **9,29** en hombres y **7,01** en mujeres.

Los grupos etarios con mayor afectación en mujeres fueron en mayores de 75 años y en hombres de 60 a 74 años. El **95,63%** de los casos fue con base de diagnóstico histológico primaria. En el año 2000 las tasas de incidencia en mujeres fue 8,36 al año 2017 fue de 10,06 y en hombre para el año 2000 la incidencia fue **11,89** al año 2017 fue de **11,13**; En tanto que la mortalidad muestra ligero decrecimiento en hombres de **10,20** a **9,29** entre los años 2000 y 2017, mientras que en mujeres incrementa de **5,55** en el año 2000 a **7,01** en el año 2017.

Tabla: Síntesis de Incidencia y Mortalidad

	Incidencia		Mortalidad	
	Hombre	Mujer	Hombre	Mujer
Número de casos	145	135	122	94
% del total de casos	8,08	5,41	12,76	9,15
Tasa cruda	11,13	10,06	9,29	7,01
Tasa estandarizada	13,52	10,48	11,28	7,30

Tasa por 100.000 hab.

Gráfico de tendencia por Grupos de Edad y Sexo

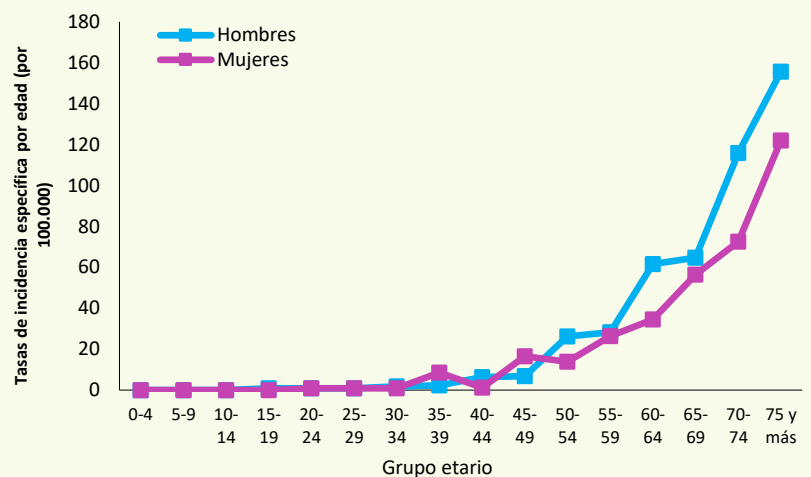


Gráfico de Tendencia de la Incidencia y Mortalidad

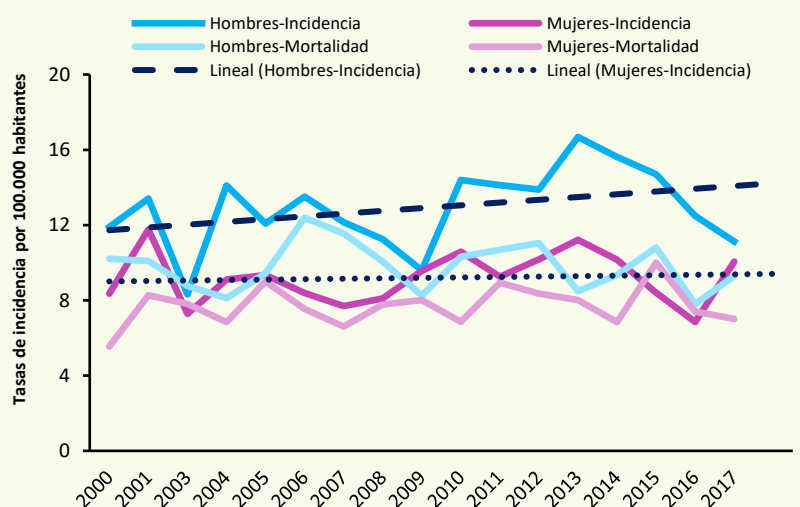
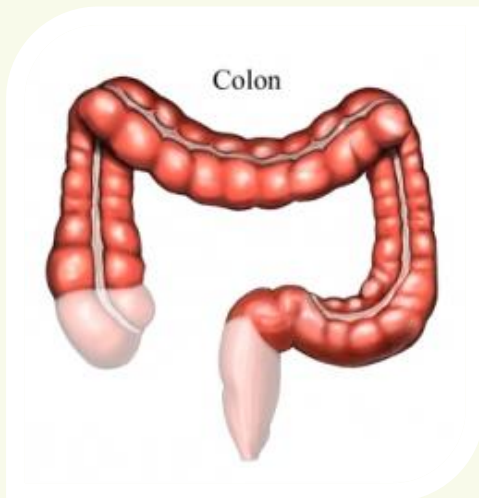


Tabla: Base de Diagnóstico

Nº CASOS	MÉTODO	PORCENTAJE
280	HISTOLOGIA DEL TUMOR PRIMARIO	73,12%
	DEFUNCIONES	25,81%
	HISTOLOGIA DE METASTASIS	0,72%
	CITOLOGIA	0,36%



Se diagnosticaron en este año **210** casos nuevos de cáncer de colon, **44,29%** en hombres y **55,71%** mujeres. La tasa cruda de incidencia fue 7,14 en hombres y 8,72 en mujeres por cada 100.000 habitantes. La tasa cruda de mortalidad fue **5,91** en hombres y **5,29** en mujeres.

Los grupos etarios con mayor afectación en mujeres fueron en 60 a 74 años y mayores de 75 años, y en hombres de 70 a 74 años. El 97,93% de los casos tuvo base de diagnóstico histológico. En las tasas de incidencia muestra tendencia creciente, siendo así el año 2000 en mujeres fue de 4,00 al año 2017 fue de 8,72 y en hombre para el año 2000 la incidencia fue 3,18 al año 2017 fue de 7,14; En tanto que la mortalidad muestra ligero decrecimiento en hombres de 3,18 a 5,91 entre los años 2000 y 2017, mientras que en mujeres incrementa de 4,18 en el año 2000 a 5,29 en el año 2017.

Tabla: Síntesis de Incidencia y Mortalidad

	Incidencia		Mortalidad	
	Hombre	Mujer	Hombre	Mujer
Número de casos	93	117	77	71
% del total de casos	5,18	4,69	8,05	6,91
Tasa cruda	7,14	8,72	5,91	5,29
Tasa estandarizada	8,14	9,50	6,74	5,76

Tasa por 100.000 hab.

Gráfico de tendencia por Grupos de Edad y Sexo

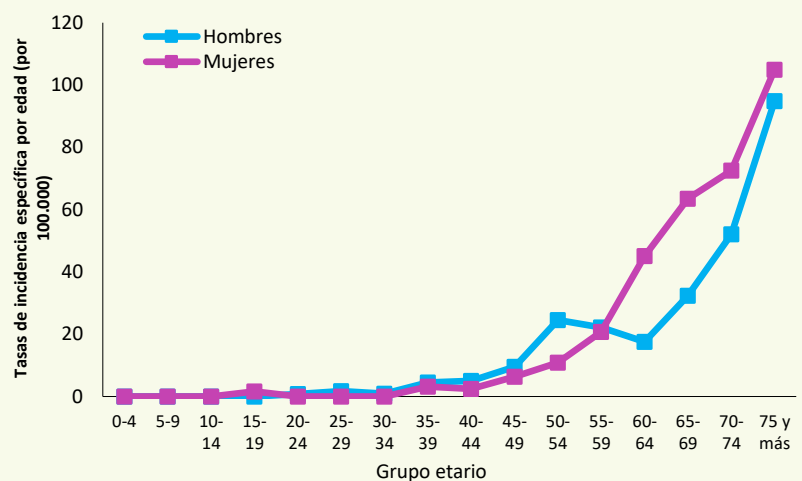


Gráfico de Tendencia de la Incidencia y Mortalidad

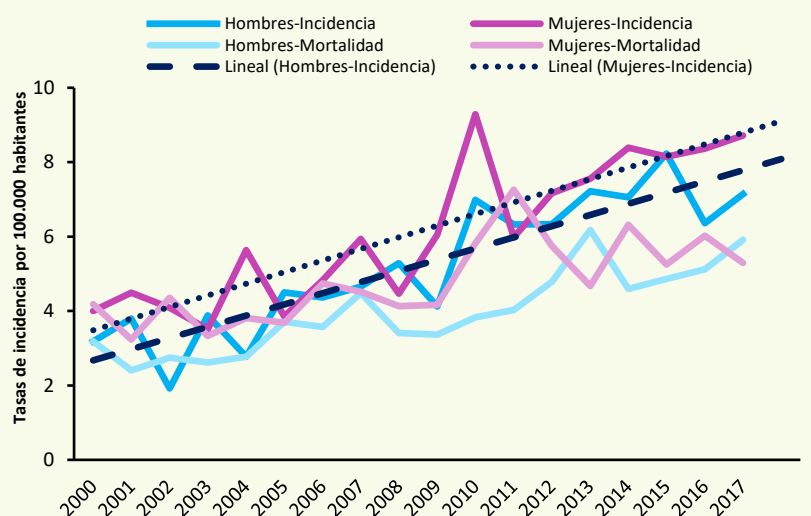


Tabla: Base de Diagnóstico

N° CASOS	MÉTODO	PORCENTAJE
210	HISTOLOGIA DEL TUMOR PRIMARIO	98,57%
	HISTOLOGIA DE METASTASIS	0,48%
	CIRUGIA	0,48%
	CITOLOGIA	0,48%

RECTO

Guayaquil



Se diagnosticaron en este año 77 casos nuevos de cáncer de recto, **47,14%** en hombres y **42,86%** mujeres. La tasa cruda de incidencia fue **3,38** en hombres y **2,46** en mujeres por cada 100.000 habitantes. La tasa cruda de mortalidad fue **1,15** en hombres y **1,04** en mujeres.

Los grupos etarios con mayor afectación en mujeres fueron en 60 a 69 años y mayores de 75 años, y en hombres de 60 a 74 años. El **100%** de los casos tuvo base de diagnóstico histológico. En las tasas de incidencia muestra tendencia creciente, siendo así el año 2000 en mujeres fue de **1,00** al año 2017 fue de **2,46** y en hombre para el año 2000 la incidencia fue **1,03** al año 2017 fue de **3,38**; En tanto que la mortalidad muestra ligero crecimiento ambos sexos, en hombres de **0,37** a **1,15** entre los años 2000 y 2017, mientras que en mujeres de **0,73** en el año 2000 a **1,04** en el año 2017.

Tabla: Síntesis de Incidencia y Mortalidad

	Incidencia		Mortalidad	
	Hombre	Mujer	Hombre	Mujer
Número de casos	44	33	15	14
% del total de casos	2,45	1,32	1,57	1,36
Tasa cruda	3,38	2,46	1,15	1,04
Tasa estandarizada	4,21	2,803	1,43	1,18

Tasa por 100.000 hab.

Gráfico de tendencia por Grupos de Edad y Sexo

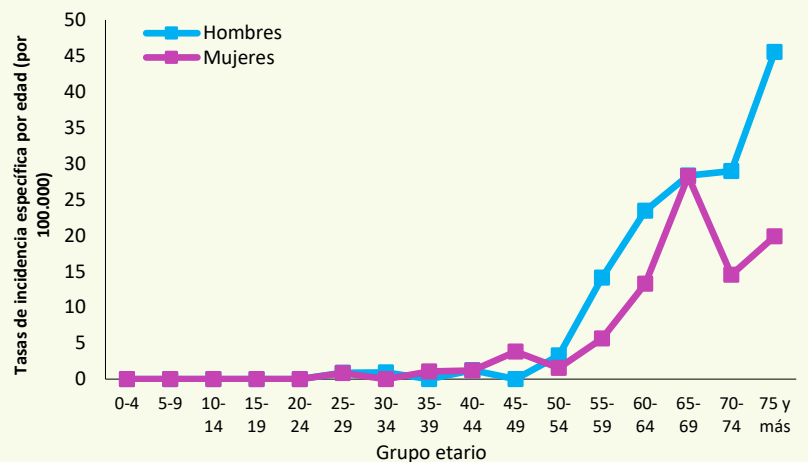
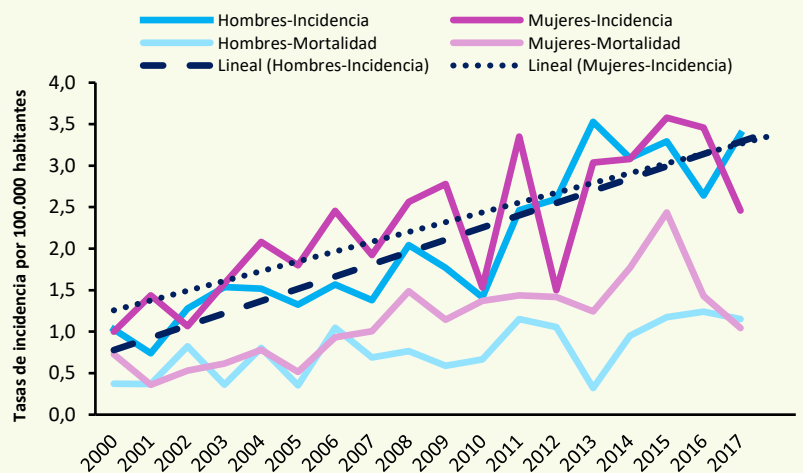
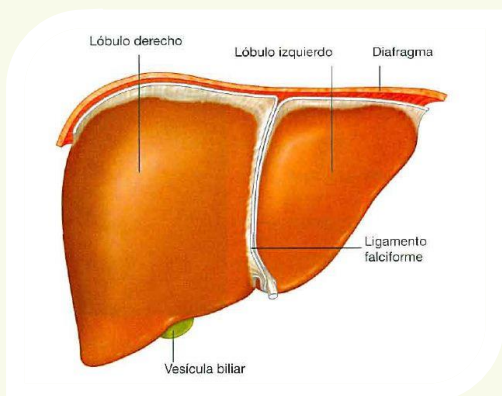


Tabla: Base de Diagnóstico

Nº CASOS	MÉTODO	PORCENTAJE
77	HISTOLOGIA DEL TUMOR PRIMARIO	100%

Gráfico de Tendencia de la Incidencia y Mortalidad





Se diagnosticaron en este año **131** casos nuevos de cáncer de hígado, siendo el **59,54%** en hombres y **40,46%** en mujeres. La tasa cruda de incidencia fue **5,99** en hombres y **3,95** en mujeres por cada 100.000 habitantes. La tasa cruda de mortalidad fue **5,30** en hombres y **4,02** en mujeres.

Los grupos etarios con mayor afectación en mujeres fueron en mayores de 70 años y en hombres de 65 a 74 años. El 45,80% de los casos fue con base diagnóstico clínico y el **38,93%** fue con base de diagnóstico histológico. En las tasas de incidencia muestra tendencia variable, siendo así el año 2000 en mujeres fue de **1,00** y al año 2017 fue de **3,95** y en hombre para el año 2000 fue **1,59** y al año 2017 fue de **5,99**; En tanto que la mortalidad es fluctuante ambos sexos, en hombres fue de **4,12** a **5,30** entre los años 2000 y 2017, mientras que en mujeres fue de **3,09** en el año 2000 a **4,02** en el año 2017.

Tabla: Síntesis de Incidencia y Mortalidad

	Incidencia		Mortalidad	
	Hombre	Mujer	Hombre	Mujer
Número de casos	78	53	69	54
% del total de casos	4,35	2,12	7,22	5,26
Tasa cruda	5,99	3,95	5,30	4,02
Tasa estandarizada	7,72	4,63	6,82	4,72

Tasa por 100.000 hab.

Gráfico de tendencia por Grupos de Edad y Sexo

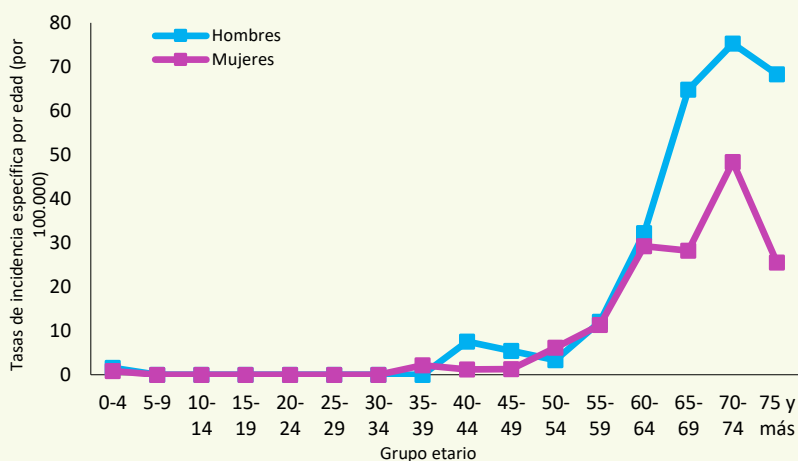


Gráfico de Tendencia de la Incidencia y Mortalidad

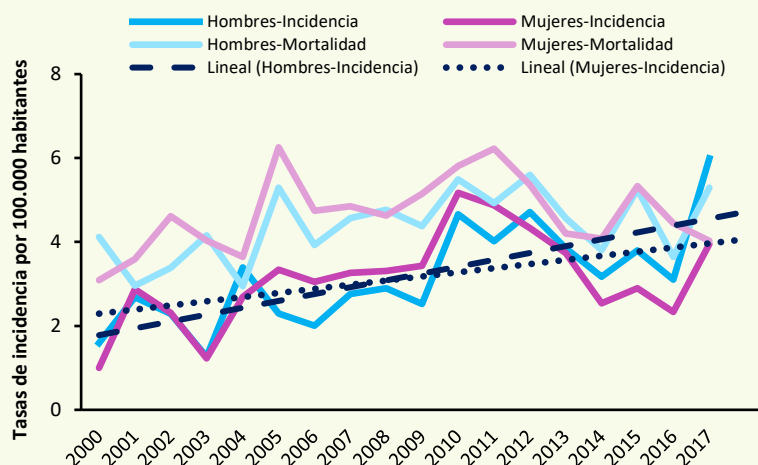
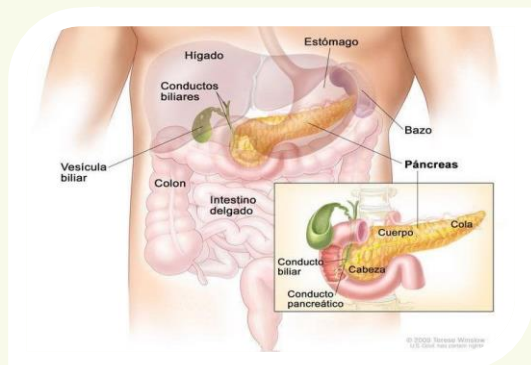


Tabla: Base de Diagnóstico

N° CASOS	MÉTODO	PORCENTAJE
131	CLINICA SOLAMENTE	45,80%
	HISTOLOGIA DEL TUMOR PRIMARIO	38,93%
	HISTOLOGIA DE METASTASIS	8,40%
	DEFUNCIONES	6,11%
	RAYOS X	0,76%



Se diagnosticaron en este año **73** casos nuevos de cáncer de páncreas, siendo el **50,69%** en hombres y **49,31%** en mujeres. La tasa cruda de incidencia fue **3,76** en hombres y **2,91** en mujeres por cada 100.000 habitantes. La tasa cruda de mortalidad fue **3,76** en hombres y **2,93** en mujeres.

Los grupos etarios con mayor afectación en mujeres fueron en mayores de 70 años y en hombres de 60 a 74 años. El **46,58%** de los casos fue con base de diagnóstico histológico y un **43,84%** por base histológica clínico. En las tasas de incidencia muestra tendencia variable, siendo así el año 2000 en mujeres fue de **1,82** y al año 2017 fue de **2,76** y en hombre para el año 2000 fue **1,12** y al año 2017 fue de **2,76**; En tanto que la mortalidad es fluctuante ambos sexos, en hombres fue de **2,53** a **3,76** entre los años 2000 y 2017, mientras que en mujeres fue de **3,27** en el año 2000 a **2,91** en el año 2017.

Tabla: Síntesis de Incidencia y Mortalidad

	Incidencia		Mortalidad	
	Hombre	Mujer	Hombre	Mujer
Número de casos	37	36	49	39
% del total de casos	1,48	2,01	5,13	3,80
Tasa cruda	2,76	2,76	3,76	2,91
Tasa estandarizada	3,51	2,78	4,78	2,93

Tasa por 100.000 hab.

Gráfico de tendencia por Grupos de Edad y Sexo

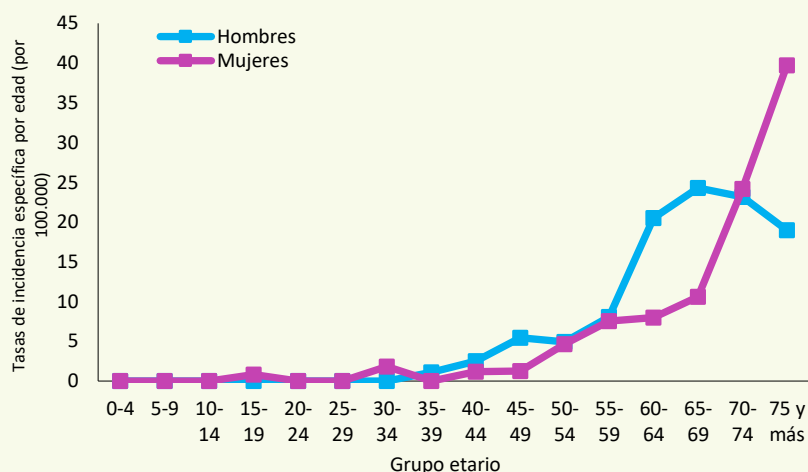


Gráfico de Tendencia de la Incidencia y Mortalidad

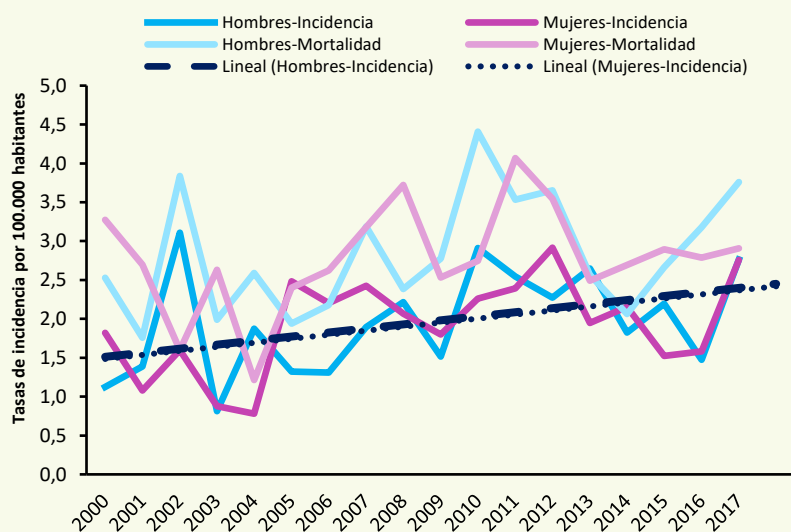
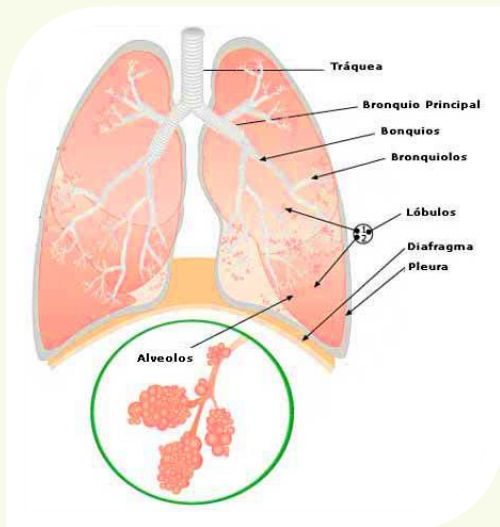


Tabla: Base de Diagnóstico

N° CASOS	MÉTODO	PORCENTAJE
73	HISTOLOGIA DEL TUMOR PRIMARIO	46,58%
	CLINICA SOLAMENTE	43,84%
	DEFUNCIONES	6,85%
	RAYOS X	1,37%
	CITOLOGIA	1,37%

BRONQUIOS Y PULMÓN

Guayaquil



Se diagnosticaron en este año **129** casos nuevos de cáncer de pulmón, siendo el **54,26%** en hombres y **45,74%** en mujeres. La tasa cruda de incidencia fue **5,37** en hombres y **4,40** en mujeres por cada 100.000 habitantes. La tasa cruda de mortalidad fue **5,99** en hombres y **4,84** en mujeres.

Los grupos etarios con mayor afectación tanto en hombres y mujeres fueron los de 60 a 74 años seguido por los mayores de 75 años. El **56,59%** de los casos fue con base de diagnóstico histológico de tumor primario, seguido del 38,76% defunciones. En el año 2000 la incidencia en mujeres fue **2,27** al año 2017 fue de **4,40** y en hombre para el año 2000 la incidencia fue **5,15** al año 2017 fue de **5,37**; En tanto que la mortalidad muestra ligero decrecimiento en hombres de **7,30** a **5,99** entre los años 2000 y 2017, mientras que en mujeres incrementa de **3,36** en el año 2000 a **4,84** en el año 2017.

Tabla: Síntesis de Incidencia y Mortalidad

	Incidencia		Mortalidad	
	Hombre	Mujer	Hombre	Mujer
Número de casos	70	59	78	65
% del total de casos	3,90	2,36	8,16	6,33
Tasa cruda	5,37	4,40	5,99	4,84
Tasa estandarizada	6,83	5,00	7,62	5,50

Tasa por 100.000 hab.

Gráfico de tendencia por Grupos de Edad y Sexo

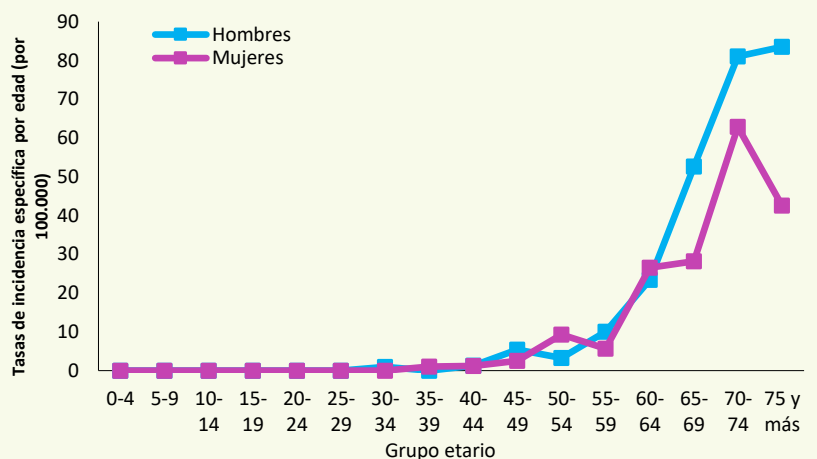


Gráfico de Tendencia de la Incidencia y Mortalidad

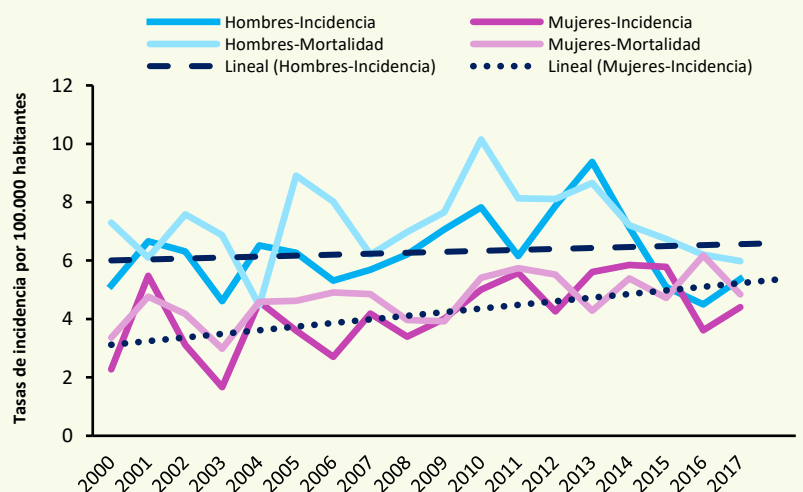
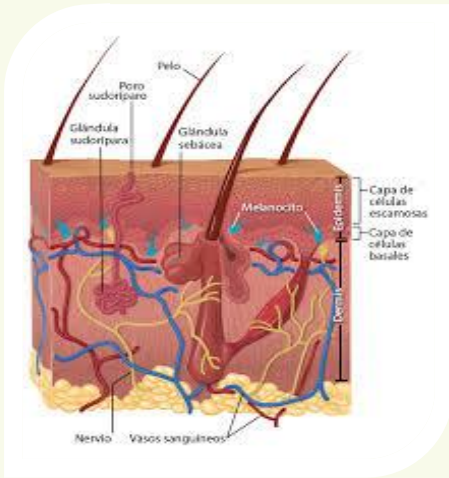


Tabla: Base de Diagnóstico

N° CASOS	MÉTODO	PORCENTAJE
129	HISTOLOGIA DEL TUMOR PRIMARIO	56,59%
	DEFUNCIONES	38,76%
	CITOLOGIA	3,88%
	HISTOLOGIA DE METASTASIS	0,78%



Se diagnosticaron en este año **654** casos nuevos de cáncer de piel, siendo el **51,22%** en hombres y **48,78%** en mujeres. La tasa cruda de incidencia fue **25,71** en hombres y **23,77** en mujeres por cada 100.000 habitantes. La tasa cruda de mortalidad **1,00** en hombres y **0,52** en mujeres.

El grupo etario con mayor afectación tanto en mujeres como en hombres fueron los mayores de 60 años. El **99,07%** de los casos fue con base de diagnóstico histológico del tumor primario. Se observa una tendencia creciente en la incidencia del cáncer de piel tanto en hombres con **8,33** al año 2000 y con el **25,71** al año 2017, mientras que en mujeres con **8,27** al 2000 y con el **23,77** al 2017. La tendencia de la tasa de mortalidad se mantiene en la década, para ambos sexos, inferior a **1**.

Tabla: Síntesis de Incidencia y Mortalidad

	Incidencia		Mortalidad	
	Hombre	Mujer	Hombre	Mujer
Número de casos	335	319	13	7
% del total de casos	18,66	12,78	1,36	0,68
Tasa cruda	25,71	23,77	1,00	0,52
Tasa estandarizada	30,88	24,53	1,20	0,54

Tasa por 100.000 hab.

Gráfico de tendencia por Grupos de Edad y Sexo

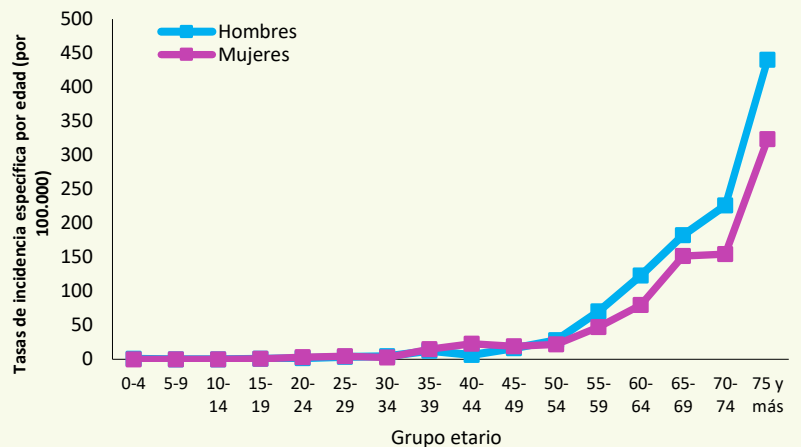


Gráfico de Tendencia de la Incidencia y Mortalidad

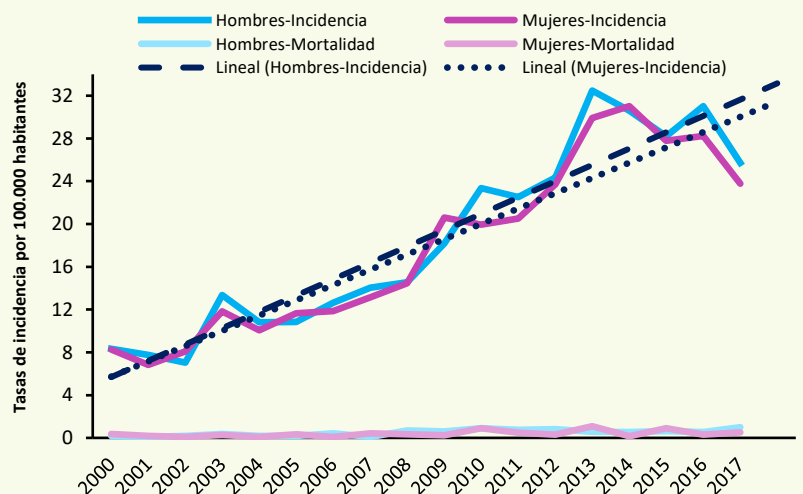
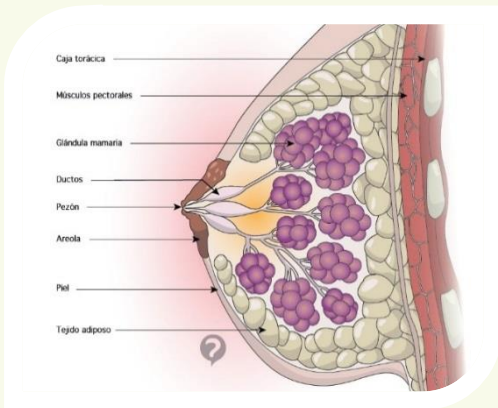


Tabla: Base de Diagnóstico

N° CASOS	MÉTODO	PORCENTAJE
654	HISTOLOGIA DEL TUMOR PRIMARIO	99,07%
	HISTOLOGIA DE METASTASIS	0,62%
	CIRUGIA	0,31%



Se diagnosticaron en este año **517** casos nuevos de cáncer de mama en mujeres. La tasa cruda de incidencia fue **38,53** por cada 100.000 mujeres. La tasa cruda de mortalidad de **18,01**.

El grupo etario con mayor afectación fue de 45 a 59 años. El **97,68%** de los casos fue con base de diagnóstico histológico de tumor primario. La tasa de incidencia del cáncer de mama incrementó de **20,00** en el año 2000 a **38,53** en el año 2017, así también, la mortalidad incrementó de **7,55** en el año 2000 a **13,79** en el año 2017.

Tabla: Síntesis de Incidencia y Mortalidad

	Incidencia	Mortalidad
	Mujer	Mujer
Número de casos	517	185
% del total de casos	20,71	18,01
Tasa cruda	38,53	13,79
Tasa estandarizada	40,88	14,63

Tasa por 100.000 hab.

Gráfico de tendencia por Grupos de Edad y Sexo

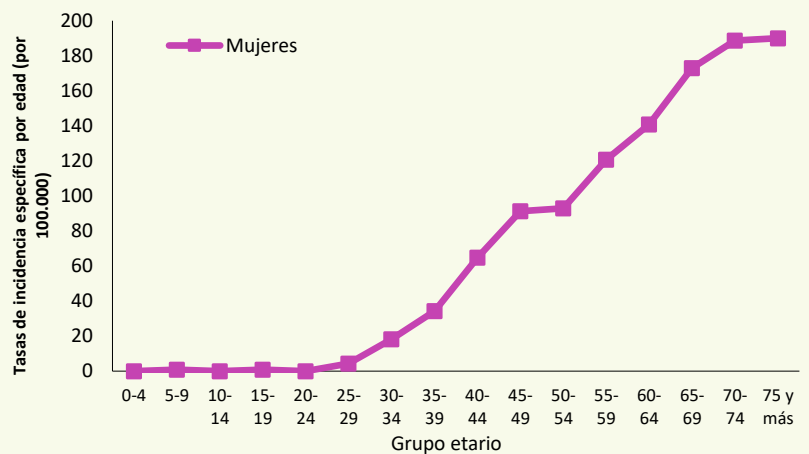


Gráfico de Tendencia de la Incidencia y Mortalidad

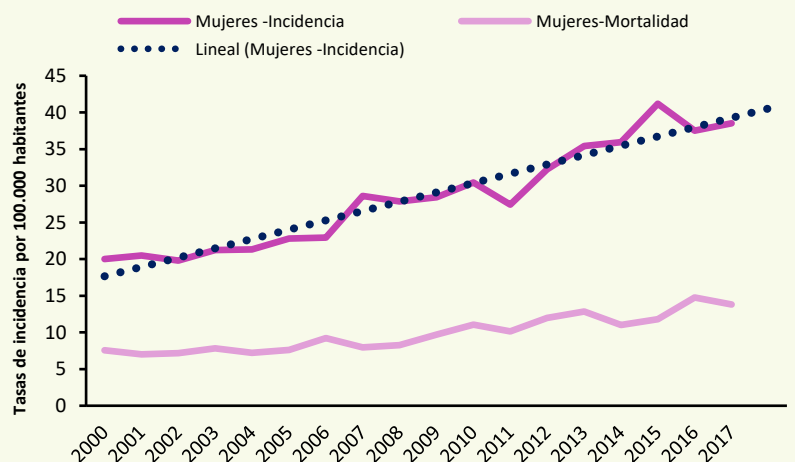
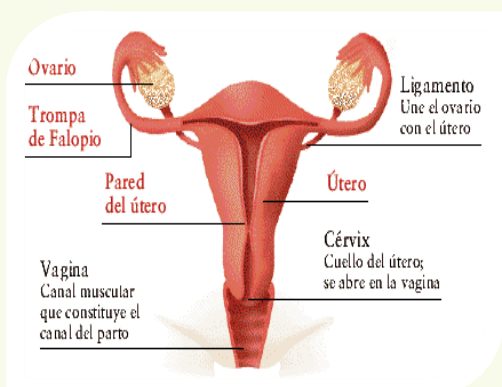


Tabla: Base de Diagnóstico

N° CASOS	MÉTODO	PORCENTAJE
517	HISTOLOGIA DEL TUMOR PRIMARIO	97,68%
	HEMATOLOGIA	1,55%
	HISTOLOGIA DE METASTASIS	0,77%

CUELLO DEL ÚTERO

Guayaquil



Se diagnostican en este año **309** casos nuevos de cáncer de cuello del útero invasor e in situ. La tasa cruda de incidencia fue **23,03** por cada 100.000 mujeres y la tasa cruda de mortalidad de **4,77**.

El grupo etario con mayor afectación a partir de 60 a 64 años. El **100%** de los casos fue con base de diagnóstico histológico de tumor primario.

La tasa cruda de incidencia de cáncer de cuello del útero incrementó de **20,45** en el año 2000 a **23,03** en el año 2017 y la tasa cruda de mortalidad decreció de **5,27** en el año 2000 a **4,77** en el año 2017.

Tabla: Síntesis de Incidencia y Mortalidad

	Incidencia	Mortalidad
	Mujer	Mujer
Número de casos	309	64
% del total de casos	12,38	6,23
Tasa cruda	23,03	4,77
Tasa estandarizada	23,26	4,82

Tasa por 100.000 hab.

Gráfico de tendencia por Grupos de Edad y Sexo

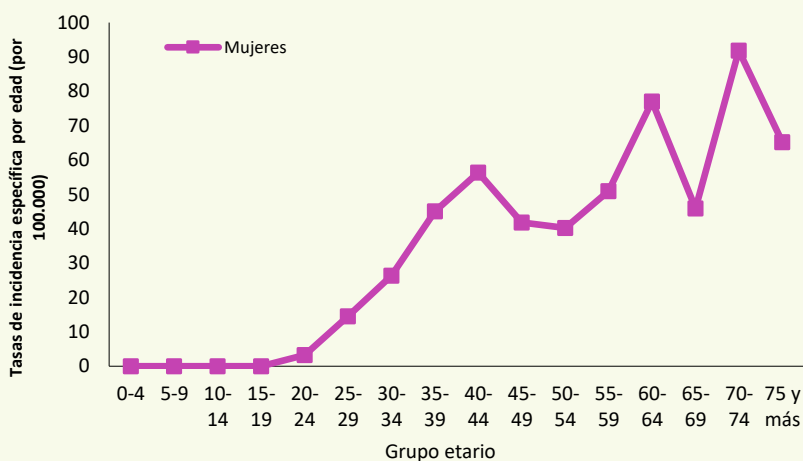


Gráfico de Tendencia de la Incidencia y Mortalidad

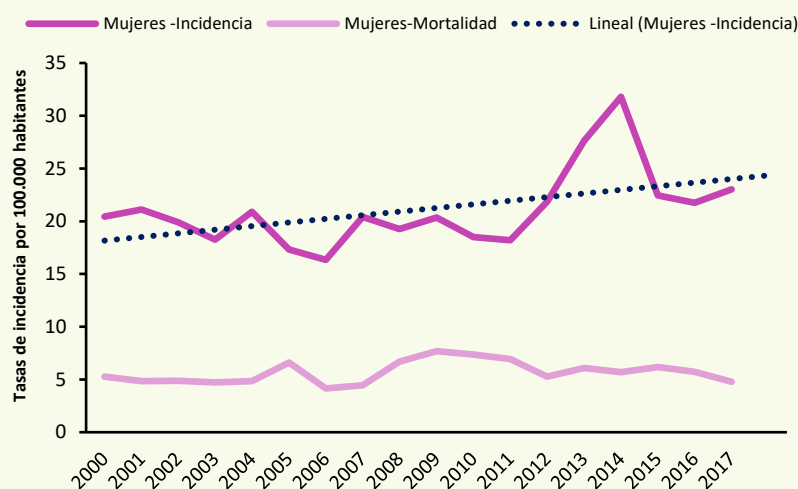
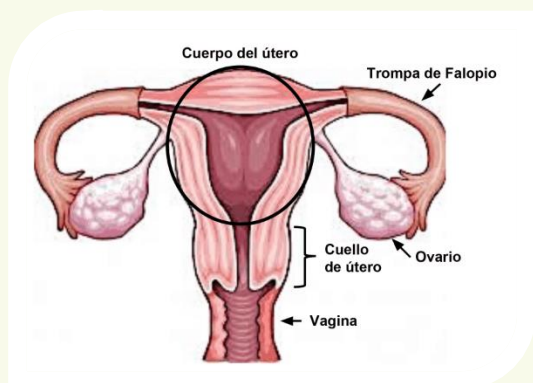


Tabla: Base de Diagnóstico

N° CASOS	MÉTODO	PORCENTAJE
309	HISTOLOGIA DEL TUMOR PRIMARIO	100,00%

CUERPO DEL ÚTERO

Guayaquil



Se diagnostican en este año **54** casos nuevos de cáncer de cuerpo del útero. La tasa cruda de incidencia fue **4,02** por cada 100.000 mujeres y la tasa cruda de mortalidad **1,27**.

El grupo etario con mayor afectación fue de 65 a 69 años. El **100%** de los casos fue con base de diagnóstico histológico de tumor primario. La tasa cruda de incidencia de cáncer de cuerpo del útero incrementó de **1,36** en el año 2000 a **4,02** en el año 2017 y la tasa cruda de mortalidad incrementó de **0,36** en el año 2000 a **1,27** en el año 2017.

Tabla: Síntesis de Incidencia y Mortalidad

	Incidencia	Mortalidad
	Mujer	Mujer
Número de casos	54	17
% del total de casos	2,16	1,66
Tasa cruda	4,02	1,27
Tasa estandarizada	4,54	1,43

Tasa por 100.000 hab.

Gráfico de tendencia por Grupos de Edad y Sexo

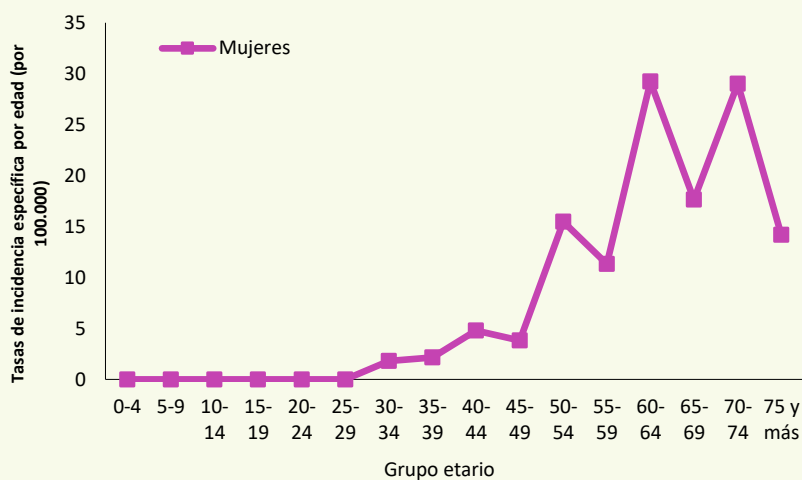


Gráfico de Tendencia de la Incidencia y Mortalidad

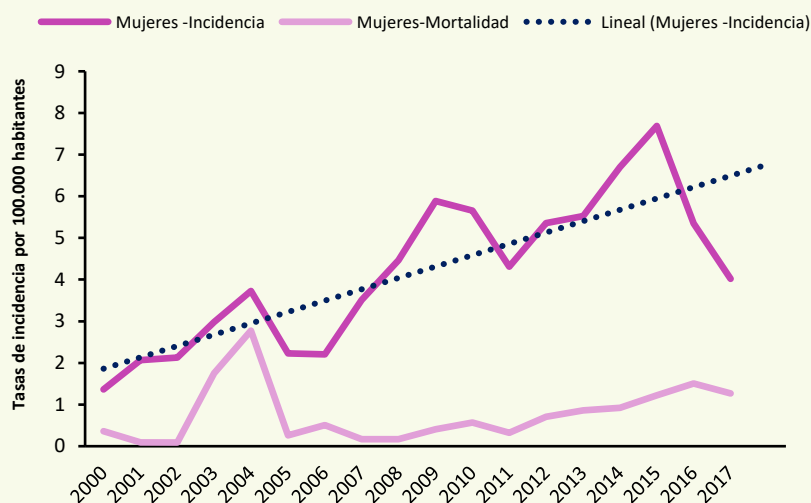
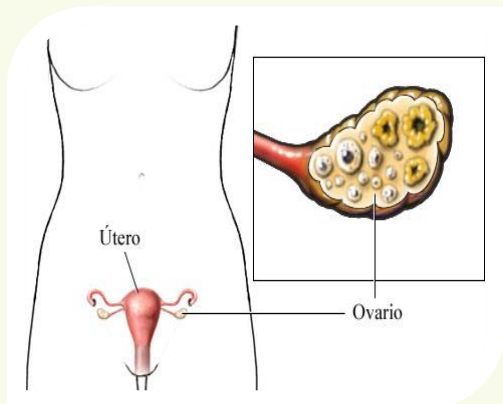


Tabla: Base de Diagnóstico

N° CASOS	MÉTODO	PORCENTAJE
54	HISTOLOGIA DEL TUMOR PRIMARIO	100,00%

OVARIO

Guayaquil



Se diagnostican en este año **79** casos nuevos de cáncer de ovario. La tasa cruda de incidencia fue **5,89** por cada 100.000 mujeres y la tasa cruda de mortalidad **3,13**.

El grupo etario con mayor afectación fue de 45 a 64 años. El **98,73%** de los casos fue con base de diagnóstico histológico del tumor primario. La tasa cruda de incidencia de cáncer de ovario incrementó de **2,55** en el año 2000 a **5,89** en el año 2017 y la tasa cruda de mortalidad decreció de **2,45** en el año 2000 a **3,13** en el año 2017.

Tabla: Síntesis de Incidencia y Mortalidad

	Incidencia	Mortalidad
	Mujer	Mujer
Número de casos	79	42
% del total de casos	3,17	4,09
Tasa cruda	5,89	3,13
Tasa estandarizada	6,24	3,32

Tasa por 100.000 hab.

Gráfico de tendencia por Grupos de Edad y Sexo

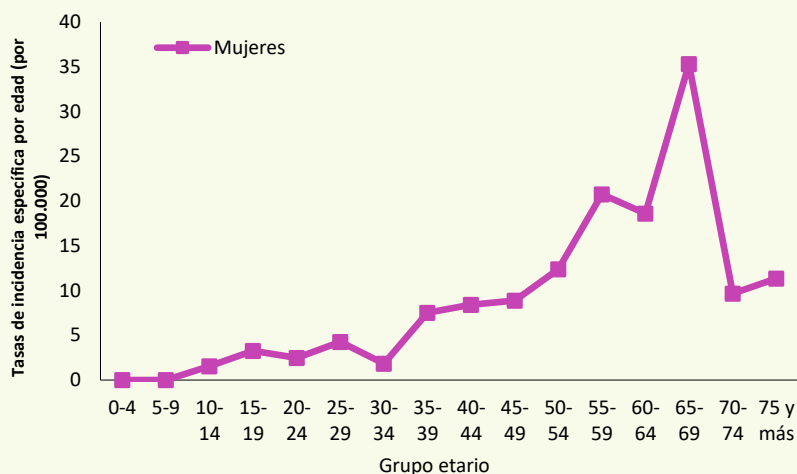


Gráfico de Tendencia de la Incidencia y Mortalidad

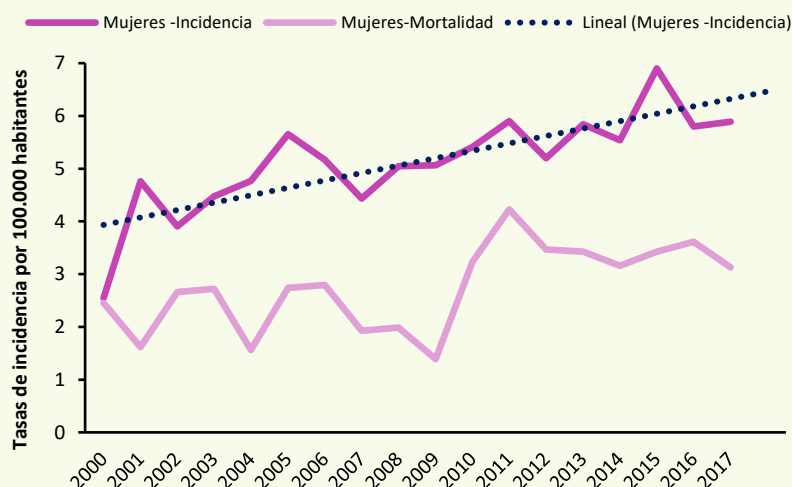
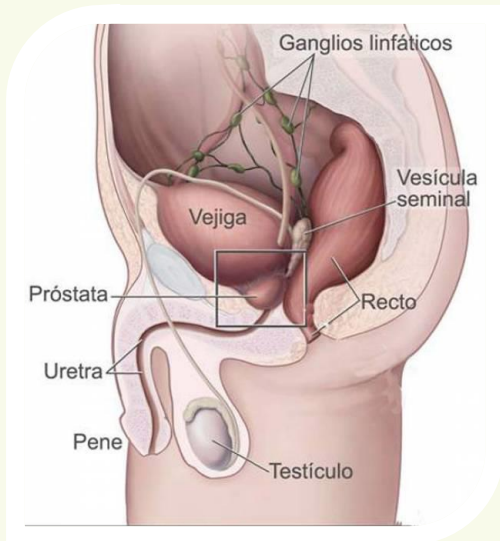


Tabla: Base de Diagnóstico

N° CASOS	MÉTODO	PORCENTAJE
79	HISTOLOGIA DEL TUMOR PRIMARIO	98,73%
	HISTOLOGIA DE METASTASIS	1,27%

PRÓSTATA

Guayaquil



Se diagnosticaron en este año **259** casos nuevos de cáncer de próstata. La tasa cruda de incidencia fue **19,88** por cada 100.000 hombres y la tasa cruda de mortalidad 9,44.

Los grupos etarios con mayor afectación fueron mayores de 75 años y de 60 a 74 años. El **100%** de los casos fue con base de diagnóstico histológico del tumor primario. Se observa una tendencia creciente en la incidencia del cáncer de próstata, incrementando de **14,23** en el año 2000 a **19,88** en el año 2017; de igual manera la mortalidad muestra un ligero incremento de **9,74** en el año 2000 a **9,44** en el año 2017.

Tabla: Síntesis de Incidencia y Mortalidad

	Incidencia	Mortalidad
	Hombre	Hombre
Número de casos	259	123
% del total de casos	14,43	12,87
Tasa cruda	19,88	9,44
Tasa estandarizada	25,33	12,03

Tasa por 100.000 hab.

Gráfico de tendencia por Grupos de Edad y Sexo

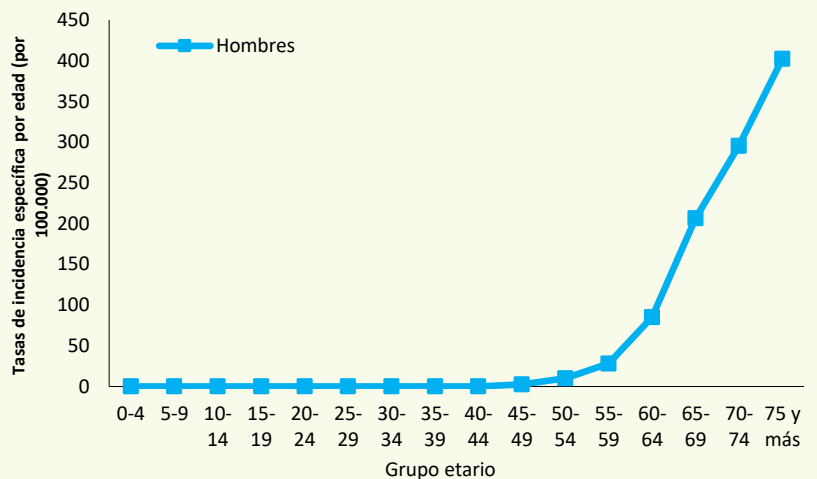


Gráfico de Tendencia de la Incidencia y Mortalidad

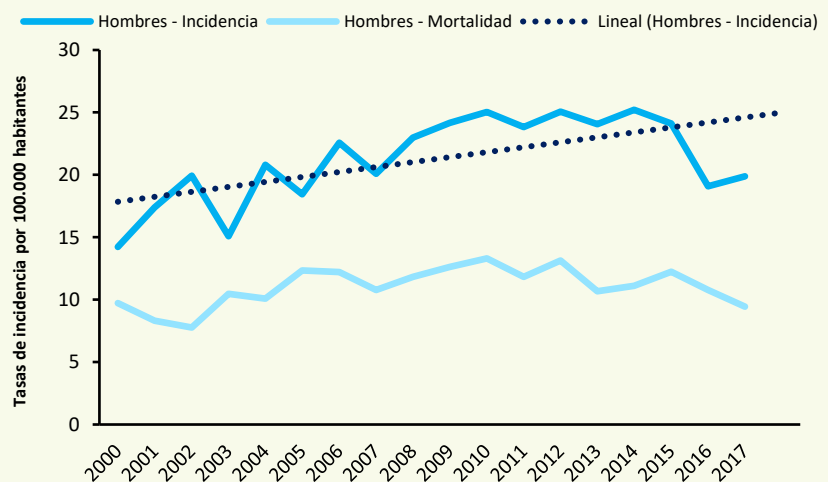
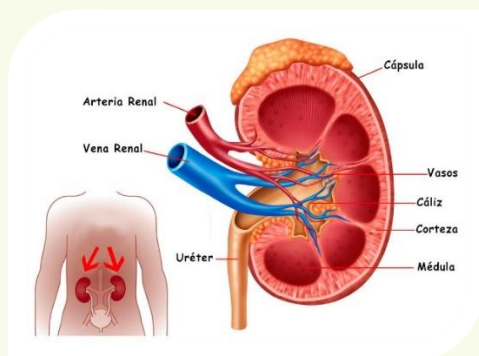


Tabla: Base de Diagnóstico

Nº CASOS	MÉTODO	PORCENTAJE
259	HISTOLOGIA DEL TUMOR PRIMARIO	100,00%



Se diagnosticaron en este año **101** casos nuevos de cáncer de riñón, siendo el **58,42%** en hombres y **41,58%** en mujeres. La tasa cruda de incidencia fue **4,53** en hombres y **3,13** en mujeres por cada 100.000 habitantes. La tasa cruda de mortalidad **1,61** en hombres y **0,89** en mujeres.

Los grupos etarios con mayor afectación tanto en mujeres como en hombres fueron los mayores de 60 años. El **99,01%** de los casos fue con base de diagnóstico histológico del tumor primario. Se observa una tendencia creciente en la incidencia del cáncer de riñón, incrementando en hombres de **1,12** en el año 2000 a **4,53** en el año 2017 y en mujeres de **1,00** en el año 2000 a **3,13** en el 2017; de igual manera la mortalidad muestra una ligera variabilidad en hombres de **0,94** en el año 2000 a **1,61** en el año 2017 y mujeres de **0,82** en el 2000 a **0,89** en el 2017.

Tabla: Síntesis de Incidencia y Mortalidad

	Incidencia		Mortalidad	
	Hombre	Mujer	Hombre	Mujer
Número de casos	59	42	21	12
% del total de casos	3,29	1,68	2,20	1,17
Tasa cruda	4,53	3,13	1,61	0,89
Tasa estandarizada	5,68	3,53	2,02	1,01

Tasa por 100.000 hab.

Gráfico de tendencia por Grupos de Edad y Sexo

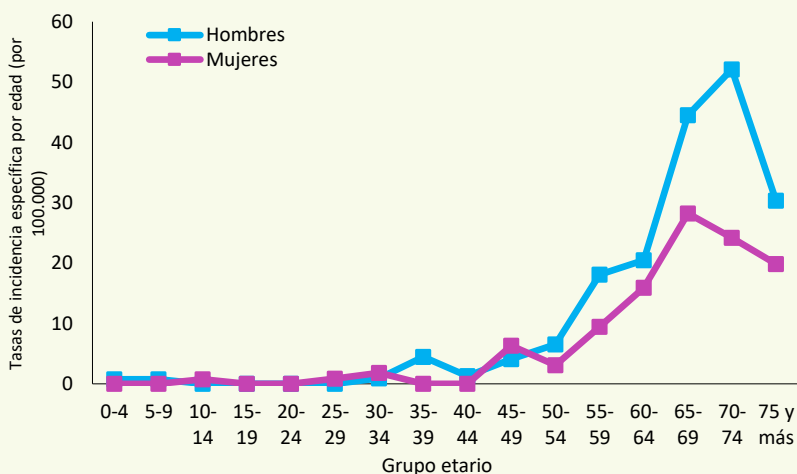


Gráfico de Tendencia de la Incidencia y Mortalidad

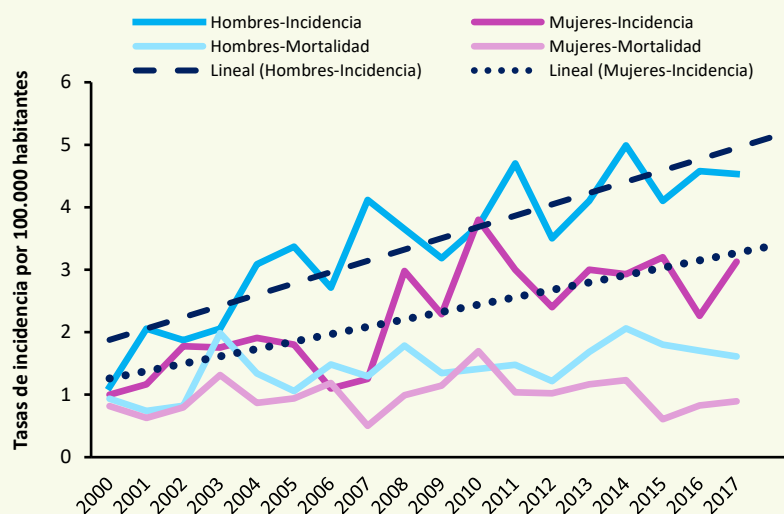
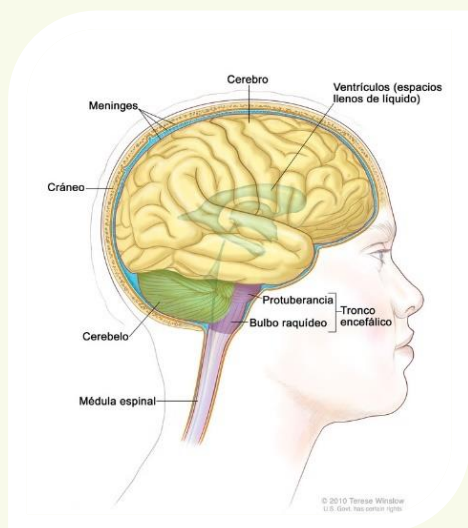


Tabla: Base de Diagnóstico

N° CASOS	MÉTODO	PORCENTAJE
101	HISTOLOGIA DEL TUMOR PRIMARIO	99,01%
	HISTOLOGIA DE METASTASIS	0,99%

ENCÉFALO

Guayaquil



Se diagnosticaron en este año **102** casos nuevos de cáncer de encéfalo, siendo el **52,94%** en hombres y **47,06%** mujeres. La tasa cruda de incidencia fue **4,14** en hombres y **3,50** en mujeres por cada 100.000 habitantes. La tasa cruda de mortalidad **2,61** en hombres y **2,83** en mujeres.

Los grupos etarios con mayor afectación en mujeres son de 70 a 74 años y en hombres fueron de 75 y más años. El **97,03%** de los casos fue con base de diagnóstico histológico del tumor primario. Se observa una tendencia creciente en hombres más que en mujeres, dando la incidencia en hombres de **0,84** en el 2000 a **4,14** en el 2017 y en mujeres de **1,45** en 2000 a **3,50** en el 2017. La mortalidad por cáncer de encéfalo tiene un comportamiento fluctuante a lo largo del periodo en ambos sexos, en hombre fue de **1,68** en el 2000 y **2,61** en el 2017 mientras que en mujeres fue de **1,09** en el 2000 y **2,83** en el 2017.

Tabla: Síntesis de Incidencia y Mortalidad

	Incidencia		Mortalidad	
	Hombre	Mujer	Hombre	Mujer
Número de casos	54	47	34	38
% del total de casos	3,01	1,88	3,56	3,70
Tasa cruda	4,14	3,50	2,61	2,83
Tasa estandarizada	4,34	3,40	2,74	2,75

Tasa por 100.000 hab.

Gráfico de tendencia por Grupos de Edad y Sexo

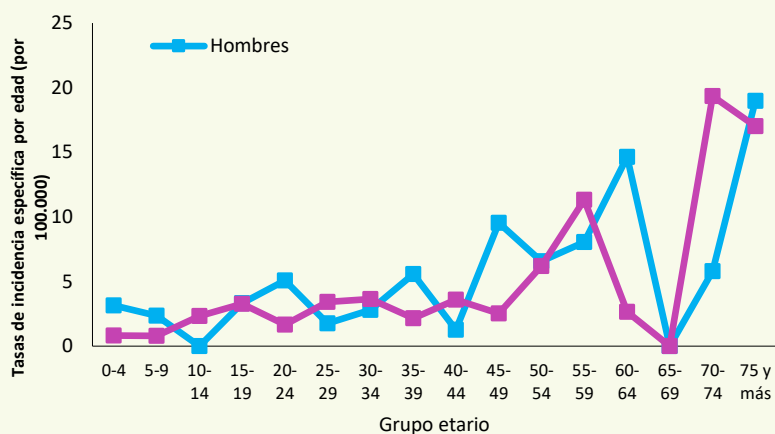


Gráfico de Tendencia de la Incidencia y Mortalidad

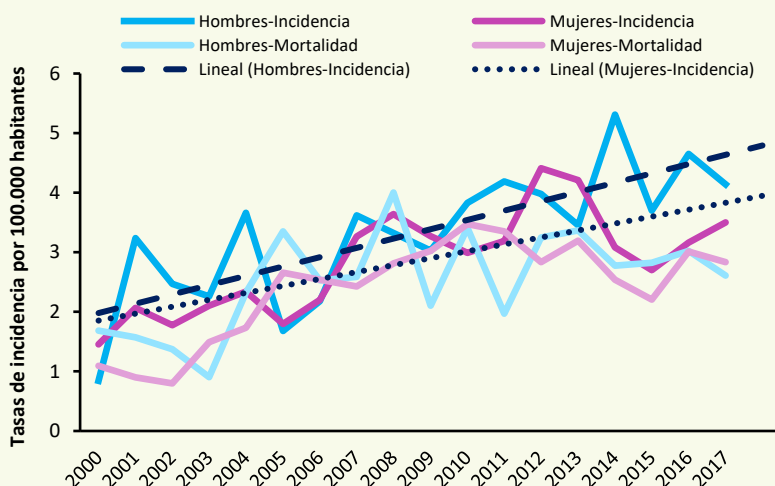
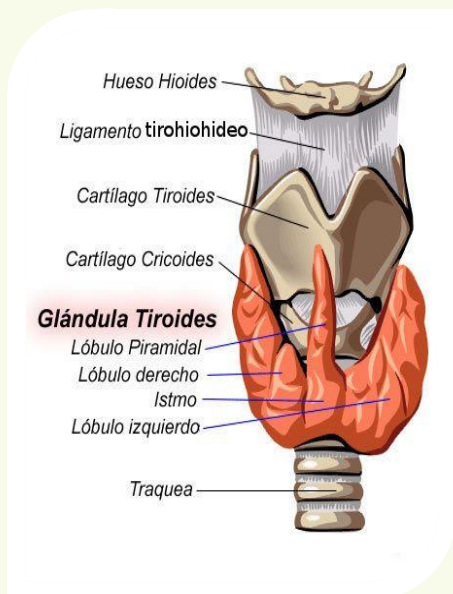


Tabla: Base de Diagnóstico

Nº CASOS	MÉTODO	PORCENTAJE
102	HISTOLOGIA DEL TUMOR PRIMARIO	97,03%
	HISTOLOGIA DE METASTASIS	1,98%
	RX Y OTROS	0,99%

TIROIDES

Guayaquil



Se diagnosticaron en este año **206** casos nuevos de cáncer de tiroides, siendo el **21,84%** en hombres y **78,16%** mujeres. La tasa cruda de incidencia fue **3,45** en hombres y **12,00** en mujeres por cada 100.000 habitantes. La tasa cruda de mortalidad **0,62** en hombres y **0,82** en mujeres.

Los grupos etarios con mayor afectación en mujeres fueron de 60 a 64 años y en hombres son de 65 a 69 años. El **86,84%** de los casos fue con base de diagnóstico histológico del tumor primario. Se observa una tendencia creciente en la incidencia del cáncer de tiroides en mujeres, de **1,91** en el año 2000 a **12,00** en el año 2017; en hombres la incidencia se mantiene estable en casi todo el periodo, en el año 2000 fue de **0,47** a **3,45** al año 2017. La mortalidad por cáncer de tiroides es menor a 1 y tiene el mismo comportamiento a lo largo del periodo en ambos sexos.

Tabla: Síntesis de Incidencia y Mortalidad

	Incidencia		Mortalidad	
	Hombre	Mujer	Hombre	Mujer
Número de casos	45	161	6	11
% del total de casos	6,45	2,51	0,63	1,07
Tasa cruda	3,45	12,00	0,46	0,82
Tasa estandarizada	4,00	12,19	0,53	0,83

Tasa por 100.000 hab.

Gráfico de tendencia por Grupos de Edad y Sexo

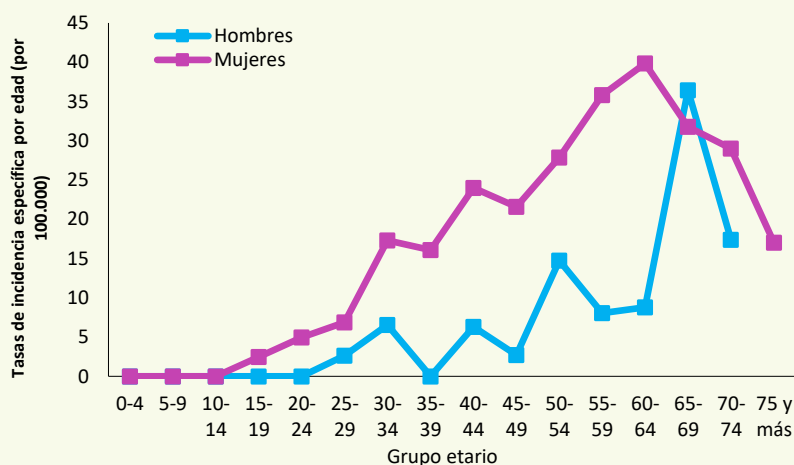


Gráfico de Tendencia de la Incidencia y Mortalidad

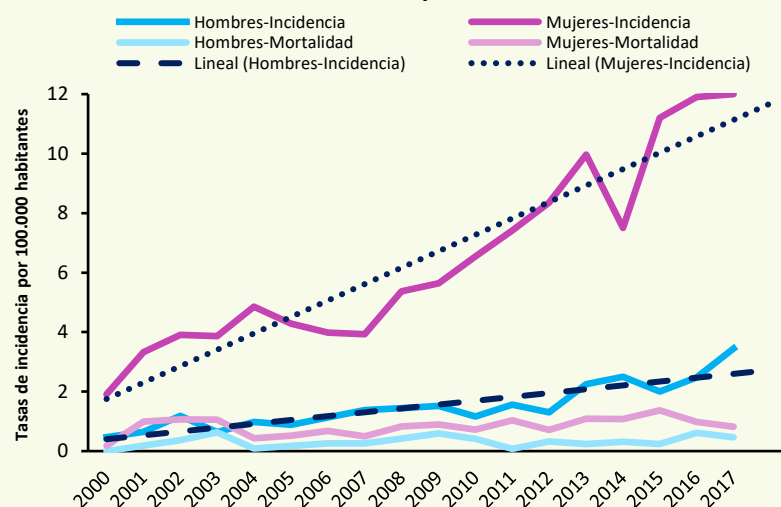
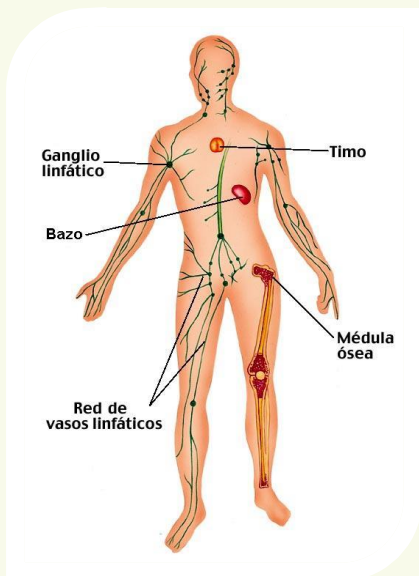


Tabla: Base de Diagnóstico

N° CASOS	MÉTODO	PORCENTAJE
206	HISTOLOGIA DEL TUMOR PRIMARIO	97,09%
	CITOLOGIA	2,43%
	HISTOLOGIA DE METASTASIS	0,49%

LINFOMA NO HODGKIN

Guayaquil



Se diagnosticaron en este año **167** casos nuevos de cáncer de linfoma no Hodgkin, siendo el **46,11%** en hombres y **53,89%** mujeres. La tasa cruda de incidencia fue **5,91** en hombres y **6,71** en mujeres por cada 100.000 habitantes. La tasa cruda de mortalidad **2,23** en hombres y **1,86** en mujeres.

Los grupos etarios con mayor afectación en hombres fueron de 70 a 74 años y en mujeres son de 75 y más años. El **94,61%** de los casos fue con base de diagnóstico histológico del tumor primario. Se observa una tendencia creciente en la incidencia del cáncer de Linfoma No Hodgkin en hombres de **3,84** en el año 2000 a **5,91** en el año 2017; en mujeres la incidencia incrementa de **0,18** en 2000 a **6,71** al 2017. La mortalidad en hombres de **2,15** en el año 2000 a **2,23** en el año 2017 y en mujeres de **2,27** en el año 2000 a **1,86** en el año 2017.

Tabla: Síntesis de Incidencia y Mortalidad

	Incidencia		Mortalidad	
	Hombre	Mujer	Hombre	Mujer
Número de casos	77	90	29	25
% del total de casos	4,29	3,61	3,03	2,43
Tasa cruda	5,91	6,71	2,23	1,86
Tasa estandarizada	6,68	7,00	2,52	1,94

Tasa por 100.000 hab.

Gráfico de tendencia por Grupos de Edad y Sexo

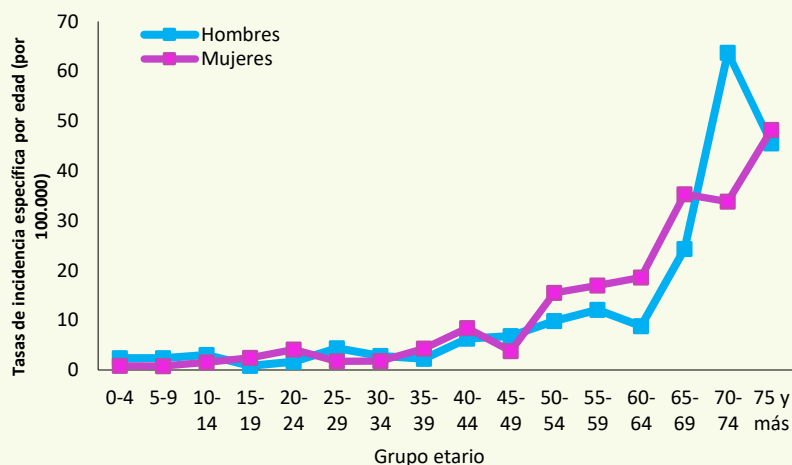


Gráfico de Tendencia de la Incidencia y Mortalidad

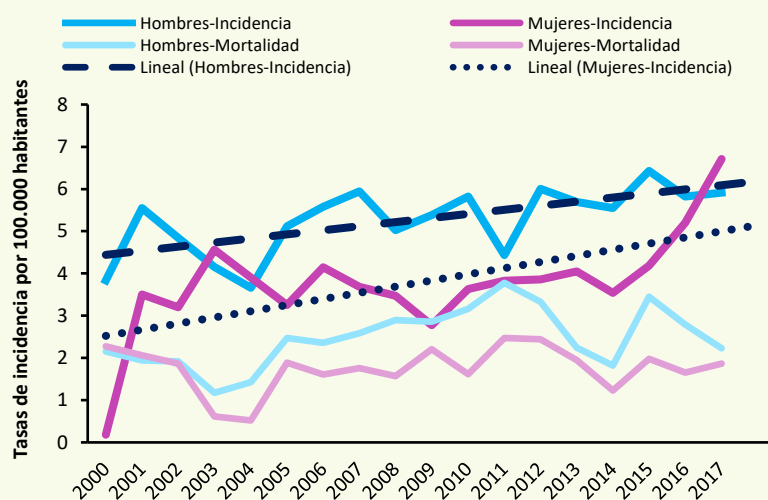
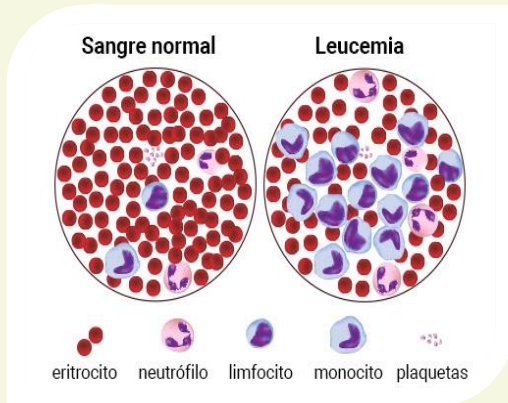


Tabla: Base de Diagnóstico

N° CASOS	MÉTODO	PORCENTAJE
167	HISTOLOGIA DEL TUMOR PRIMARIO	94,61%
	HISTOLOGIA DE METASTASIS	3,59%
	HEMATOLOGIA	1,20%
	RX Y OTROS	0,60%

LEUCEMIAS

Guayaquil



Se diagnosticaron en este año **260** casos nuevos de leucemias, **51,54%** en hombres y **48,46%** mujeres. La tasa cruda de incidencia fue **10,28** en hombres y **9,39** en mujeres por cada 100.000 habitantes. La tasa cruda de mortalidad **7,14** en hombres y **5,07** en mujeres.

Los grupos etarios con mayor afectación en ambos sexos fueron niños de 70 a 74 años. El **98,85%** de los casos fue con base hematológica y **1,15%** con base histológica. Se observa una tendencia creciente en la incidencia de las leucemias, en hombres de **3,56** en el año 2000 a **10,28** en el año 2017 y en mujeres de **3,91** en el año 2000 a **9,39** en el año 2017; la mortalidad presenta un ligero aumento, en mujeres de **3,09** en el 2000 a **7,14** en el 2017, y en hombres de **4,31** en el 2000 a **5,07** en el 2017.

Tabla: Síntesis de Incidencia y Mortalidad

	Incidencia		Mortalidad	
	Hombre	Mujer	Hombre	Mujer
Número de casos	134	126	95,00	68,00
% del total de casos	7,47	5,05	9,94	6,62
Tasa cruda	10,28	9,39	7,14	5,07
Tasa estandarizada	11,65	10,06	8,09	5,43

Tasa por 100.000 hab.

Gráfico de Distribución por Grupos de Edad y Sexo

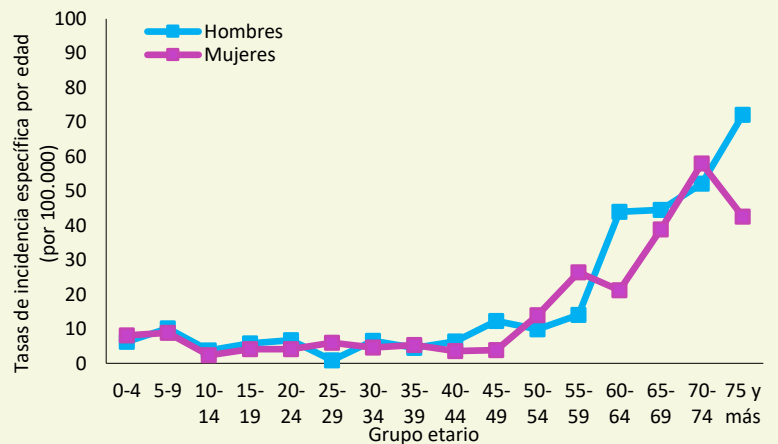


Gráfico de Tendencia de la Incidencia y Mortalidad

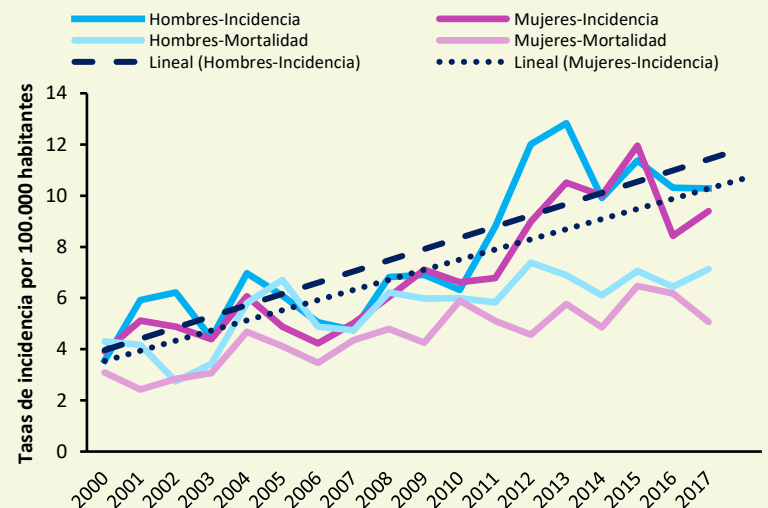


Tabla: Base de Diagnóstico

N° CASOS	MÉTODO	PORCENTAJE
260	HEMATOLOGIA	98,85%
	HISTOLOGIA DEL TUMOR PRIMARIO	1,15%

CÁNCER INFANTIL RESIDENTES EN LA CIUDAD DE GUAYAQUIL. 2017

Cáncer infantil de 0 a 19 años

Se diagnostican en este año **160** casos nuevos de cáncer infantil, siendo el **53,75%** en niños y **46,25%** en niñas. La tasa cruda de incidencia fue **169,30** en niños y **148,36** en niñas por cada 1.000.000 de habitantes. La tasa cruda de mortalidad **143,71** en niños y **80,20** en niñas.

Los grupos etarios con mayor afectación tanto en niños son de 04 a 4 años con **31,40%** y en niñas de 15 a 19 años con **37,84%**. Se observa una tendencia creciente en la incidencia de cáncer infantil en niñas y niños entre 0 a 19 años. En niños incrementó de **114,75** en el año 2000 a **169,30** en el 2017 y en niñas en mayor proporción de **73,72** en el 2000 a **148,36** en el 2017. La mortalidad por cáncer infantil presenta un ligero aumento en ambos sexos.

Tabla. Síntesis de Incidencia y Mortalidad

	Incidencia		Mortalidad	
	Hombre	Mujer	Hombre	Mujer
Número de casos	86	74	40	73
% del total de casos	53,75	46,25	35,40	64,60
Tasa cruda	169,30	148,36	143,71	80,20
Tasa estandarizada	174,12	147,04	140,36	80,21

Tasa por 1.000.000 de habitantes

Grupo de edad	Incidencia					
	Niños		Niñas		Total	
	No.	%	No.	%	No.	%
0-4	27	31,40	16	21,62	43	26,88
5-9	24	27,91	16	21,62	40	25,00
10-14	11	12,79	14	18,92	25	15,63
15-19	24	27,91	28	37,84	52	32,50
Total	86	100	74	100	160	100

Gráfico. Distribución por Sexo.

DISTRIBUCIÓN DEL CÁNCER INFANTIL POR SEXO. RESIDENTES EN GUAYAQUIL. 2017

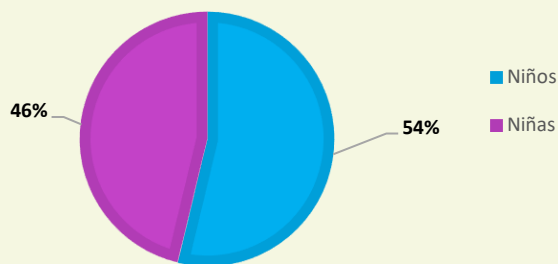


Gráfico. Distribución por Grupos Etarios y Sexo

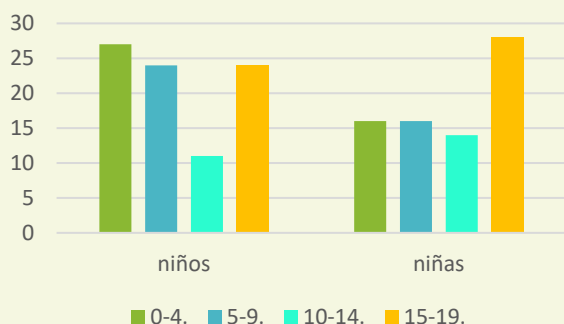
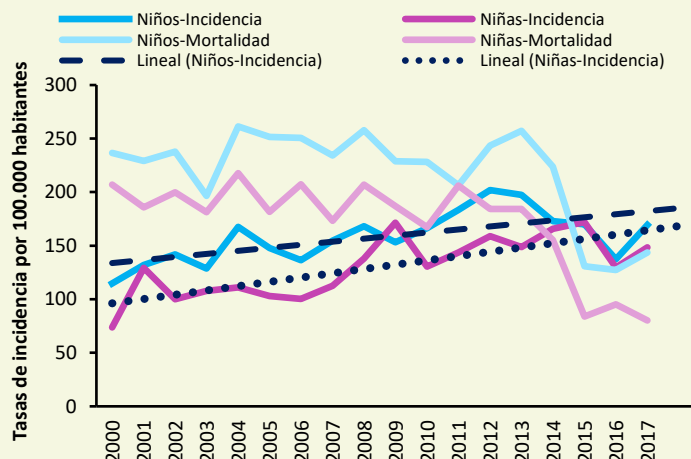


Gráfico. Tendencia de la Incidencia y Mortalidad



Cáncer infantil de 0 a 19 años: Gráficos según diagnóstico

Gráfico 1. Cáncer infantil de 0 a 19 años según diagnóstico. Ambos sexos

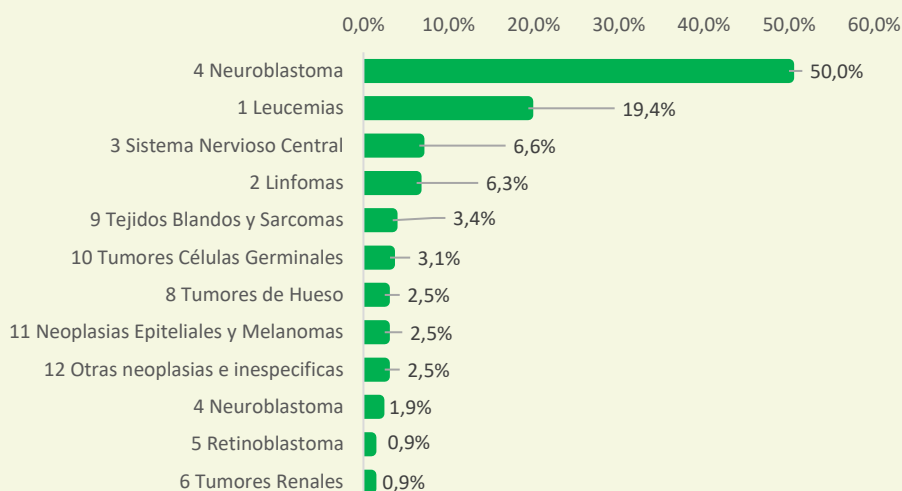


Gráfico 2. Cáncer infantil de 0 a 19 años según diagnóstico. Niños

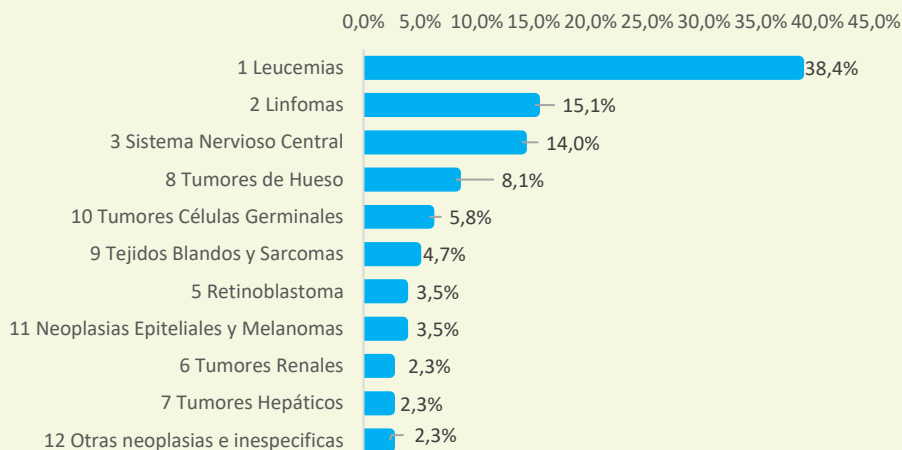
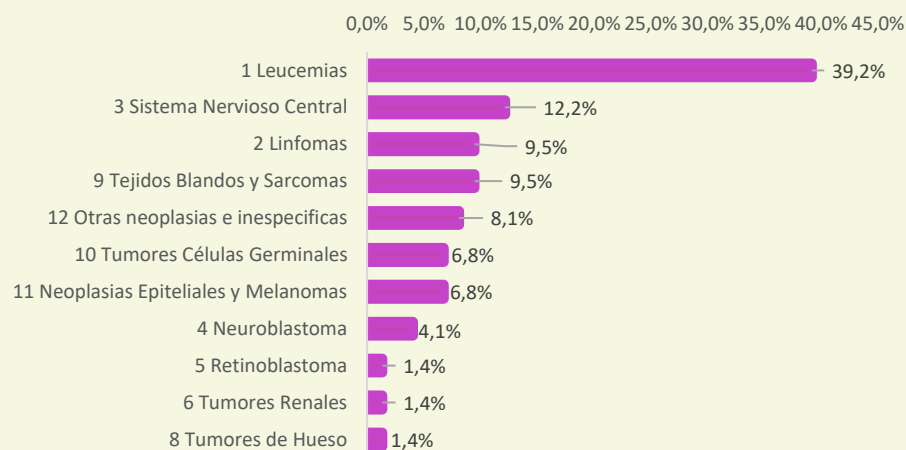


Gráfico 3. Cáncer infantil de 0 a 19 años según diagnóstico. Niñas



ANEXOS

TASAS DE INCIDENCIA DEL CÁNCER INFANTIL DE 0 A 19 AÑOS EN NIÑOS. RESIDENTES EN GUAYAQUIL

GRUPO DIAGNÓSTICO		GRUPOS DE EDAD				CASOS	TASA
		0-4	5-9	10-14	15-19		CRUDA
I.	Leucemias	62,79	101,77	37,72	58,2	33	64,96
II.	Linfomas	31,4	23,48	30,18	16,63	13	25,59
III.	Sistema Nervioso Central	39,25	23,48	7,54	24,94	12	23,62
V.	Retinoblastoma	23,55	0,00	0,00	0,00	3	5,91
VI.	Tumores Renales	7,85	7,83	0,00	0,00	2	3,94
VII.	Tumores Hepáticos	15,7	0,00	0,00	0,00	2	3,94
VIII.	Tumores de Hueso	0,00	23,48		33,26	7	13,78
IX.	Tejidos Blandos y Sarcomas	15,7	0,00	7,54	8,31	4	7,87
X.	Tumores Células Germinales	0,00	0,00	0,00	41,57	5	9,84
XI.	Neoplasias Epiteliales y Melanomas	15,7	7,83	0,00	0,00	3	5,91
XII.	Otras neoplasias e inespecíficas	0,00	0,00	0,00	16,63	2	3,94
Total		211,93	187,88	82,99	199,53	86	169,3

Tasa por 1.000.000 habitantes

TASAS DE INCIDENCIA DEL CÁNCER INFANTIL DE 0 A 19 AÑOS EN NIÑAS. RESIDENTES EN GUAYAQUIL

GRUPO DIAGNÓSTICO		GRUPOS DE EDAD				CASOS	TASA
		0-4	5-9	10-14	15-19		CRUDA
I.	Leucemias	81,32	88,15	23,33	40,83	29	58,14
II.	Linfomas	8,13	8,01	15,56	24,50	7	14,03
III.	Sistema Nervioso Central	8,13	8,01	23,33	32,67	9	18,04
V.	Retinoblastoma	16,26	8,01	0,00	0,00	3	6,01
VI.	Tumores Renales	0,00	0,00	7,78	0,00	1	2,00
VII.	Tumores Hepáticos	8,13	0,00	0,00	0,00	1	2,00
VIII.	Tumores de Hueso	0,00	0,00	0,00	8,17	1	2,00
IX.	Tejidos Blandos y Sarcomas	0,00	8,01	23,33	24,50	7	14,03
X.	Tumores Células Germinales	0,00	0,00	15,56	24,50	5	10,02
XI.	Neoplasias Epiteliales y Melanomas	0,00	0,00	0,00	40,83	5	10,02
XII.	Otras neoplasias e inespecíficas	8,13	8,01	0,00	32,67	6	12,03
Total		130,11	128,22	108,89	228,66	74	148,36

Tasa por 1.000.000 habitantes

NÚMERO DE CASOS SEGÚN TIPO DE CANCER Y GRUPO ETARIO EN HOMBRES RESIDENTES DE GUAYAQUIL. AÑO 2017

CIE-O	LOCALIZACIÓN TOPOGRÁFICA	GRUPO DE EDAD															TOTAL CASOS	
		0-4	5-9	10-14	15-19	20-24	25-29	30-34	35-39	40-44	45-49	50-54	55-59	60-64	65-69	70-74		75 y más
C00	Labio	0	0	0	0	0	0	0	0	0	0	0	1	0	0	0	0	1
C02	Otras Partes Y Las No Especificadas De La Lengua	0	0	0	0	0	0	0	0	0	0	0	1	1	1	2	2	7
C03	Encía	0	0	0	0	0	0	0	0	0	0	0	0	1	1	0	0	2
C04	Piso De La Boca	0	0	0	0	0	0	0	0	0	1	0	0	0	0	0	0	1
C05	Paladar	0	0	0	0	0	0	0	1	0	0	0	1	0	0	2	2	6
C06	Otras Partes Y Las No Especificadas De La Boca	0	0	0	0	0	0	0	0	0	1	0	0	0	0	0	0	1
C07	Glándula Parótida	0	0	0	0	0	0	0	0	0	1	0	0	0	0	0	2	3
C08	Otras Glándulas Salivales Mayores Y Las No Especificadas	0	0	0	0	0	0	0	0	0	0	0	0	0	1	0	0	1
C09	Amígdala	0	0	0	0	0	0	0	0	0	1	4	6	2	2	2	0	17
C10	Orofaringe	0	0	0	0	0	0	0	0	0	0	0	1	0	0	0	0	1
C11	Nasofaringe	0	0	0	0	0	0	0	0	1	0	0	1	0	0	0	0	2
C13	Hipofaringe	0	0	0	0	0	0	0	0	0	0	0	0	0	1	0	0	1
C15	Esófago	0	0	0	0	0	0	0	0	0	4	3	2	3	3	5	6	26
C16	Estomago	0	0	0	1	1	1	2	2	5	5	16	14	21	16	20	41	145
C17	Intestino Delgado	0	0	0	0	0	0	0	0	0	1	0	0	1	2	0	4	8
C18	Colon	0	0	0	0	1	2	1	4	4	7	15	11	6	8	9	25	93
C19	Unión Rectosigmoidea	0	0	0	0	0	0	0	0	0	0	0	1	1	0	0	0	2
C20	Recto	0	0	0	0	0	1	1	0	1	0	2	7	8	7	5	12	44
C21	Ano Y Conducto Anal	0	0	0	0	0	0	0	0	2	0	0	1	1	0	2	2	8
C22	Hígado Y Conductos Biliares	2	0	0	0	0	0	0	0	6	4	2	6	11	16	13	18	78
C23	Vesícula Biliar	0	0	0	0	0	0	0	1	0	2	1	1	2	2	1	3	13
C24	Otras Partes Y Las No Especificadas De Las Vías Biliares	0	0	0	0	0	1	0	0	1	1	2	3	1	0	0	3	12
C25	Páncreas	0	0	0	0	0	0	0	1	2	4	3	4	7	6	4	5	36
C26	Otros Sitios Y Mal Definidos De Los Órganos Digestivos	0	0	0	0	0	0	0	0	0	0	2	0	0	1	0	0	3
C30	Cavidad Nasal Y Oído Medio	0	0	0	0	0	1	0	0	0	0	1	0	0	1	0	1	4
C31	Senos Paranasales	0	0	0	0	0	0	0	0	1	0	0	0	0	1	0	2	4
C32	Laringe	0	0	0	0	1	0	0	0	1	0	0	2	2	4	4	5	19
C34	Bronquios Y Pulmón	0	0	0	0	0	0	1	0	1	4	2	5	8	13	14	22	70

NÚMERO DE CASOS SEGÚN TIPO DE CANCER Y GRUPO ETARIO EN HOMBRES RESIDENTES DE GUAYAQUIL. AÑO 2017

CIE-O	LOCALIZACIÓN TOPOGRÁFICA	GRUPO DE EDAD															TOTAL CASOS
		0-4	5-9	10-14	15-19	20-24	25-29	30-34	35-39	40-44	45-49	50-54	55-59	60-64	65-69	70-74	
C38	Corazón, Mediastino Y Pleura	0	1	0	2	0	0	1	0	0	0	0	0	2	2	1	9
C39	Otros Sitios Y De Los Mal Definidos Del Sistema Respiratorio Y De Los Órganos Intratorácicos	0	0	0	0	0	0	0	0	0	0	1	0	0	0	0	1
C40	Huesos, Articulaciones Y Cartílagos Articulares De Los Miembros	0	3	0	3	0	3	0	0	2	0	1	0	1	0	0	13
C41	Huesos, Articulaciones Y Cartílagos Articulares De Otros Sitios Y De Los No Especificados	2	0	1	1	0	1	0	1	0	1	0	0	1	3	0	12
C42	Sistema Hematopoyético Y Reticuloendotelial	8	13	5	7	8	1	7	4	5	9	6	7	15	11	9	134
C44	Piel	1	0	0	1	2	4	5	11	5	12	17	35	42	45	39	335
C47	Nervios Periféricos Y Sistema Nervioso Autónomo	0	0	0	0	0	0	1	0	0	0	0	0	0	1	0	2
C48	Peritoneo Y Retroperitoneo	1	0	0	1	0	0	2	1	1	0	1	3	2	2	4	18
C49	Tejido Conjuntivo, Subcutáneo Y De Otros Tejidos Blandos	1	0	0	0	2	2	0	0	2	1	2	3	0	1	2	19
C60	Pene	0	0	0	0	0	0	0	0	4	1	3	6	1	4	0	20
C61	Glándula Prostática	0	0	0	0	0	0	0	0	0	2	6	14	29	51	51	259
C62	Testículos	1	0	0	2	3	2	6	3	1	1	2	1	0	1	0	24
C64	Riñón	1	1	0	0	0	0	1	4	1	3	4	9	7	11	9	59
C65	Pelvis Renal	0	0	0	0	0	0	0	0	0	0	0	0	0	1	0	1
C67	Vejiga Urinaria	0	0	0	0	1	0	0	1	0	0	2	3	7	3	6	37
C69	Ojo Y Anexos	3	0	0	0	0	1	0	1	0	0	0	0	0	1	0	8
C71	Encéfalo	4	3	0	4	6	2	3	5	1	7	4	4	5	0	1	54
C72	Medula Espinal, Nervios Craneales Y De Otras Partes Del Sistema Nervioso Central	0	0	1	0	0	0	0	0	0	1	0	0	1	0	0	4
C73	Glándula Tiroides	0	0	0	0	0	3	7	0	5	2	9	4	3	9	3	45
C74	Glándula Suprarrenal (Adrenal)	0	0	0	0	0	0	0	0	0	0	0	0	0	0	0	1
C76	Sitios Mal Definidos Y Otros	0	0	0	1	0	3	4	1	1	1	3	1	3	4	3	32
C77	Ganglios Linfáticos	3	3	4	1	2	5	3	2	5	5	6	6	3	6	11	77
C80	Sitio Primario Desconocido	0	0	0	0	1	0	0	0	1	1	0	2	1	6	2	23
Todos los sitios		27	24	11	24	28	33	45	43	59	83	120	166	197	247	226	1795
Todos los sitios menos piel (C44)		26	24	11	23	26	29	40	32	54	71	103	131	155	202	187	1460

NÚMERO DE CASOS SEGÚN TIPO DE CANCER Y GRUPO ETARIO EN MUJERES RESIDENTES DE GUAYAQUIL. AÑO 2017

CIE-O	LOCALIZACIÓN TOPOGRÁFICA	GRUPO DE EDAD															TOTAL CASOS	
		0-4	5-9	10-14	15-19	20-24	25-29	30-34	35-39	40-44	45-49	50-54	55-59	60-64	65-69	70-74		75 y más
C02	Otras Partes Y Las No Especificadas De La Lengua	0	0	0	0	0	1	0	1	1	0	2	2	0	2	0	1	10
C03	Encía	0	0	0	0	0	0	0	0	1	1	0	0	0	0	0	0	2
C05	Paladar	0	0	0	0	0	0	0	0	0	0	0	0	0	1	0	1	
C06	Otras Partes Y Las No Especificadas De La Boca	0	0	0	0	0	0	0	0	0	0	0	0	0	0	0	1	1
C07	Glándula Parótida	0	0	0	0	0	1	0	0	0	0	0	0	1	0	1	0	3
C08	Otras Glándulas Salivales Mayores Y Las No Especificadas	0	0	0	0	0	0	0	0	0	0	0	0	1	0	0	0	1
C09	Amígdala	0	0	0	0	0	0	0	0	0	0	1	0	1	1	0	0	3
C10	Orofaringe	0	0	0	0	0	0	0	0	0	0	0	0	1	0	0	0	1
C11	Nasofaringe	1	0	0	0	0	0	0	0	0	0	0	0	0	0	0	0	1
C14	Otros Sitios Y Mal Definidos Del Labio, La Cavidad Bucal Y La Faringe	0	0	0	0	0	0	0	0	0	0	0	0	0	1	1	1	3
C15	Esófago	0	0	0	0	0	0	0	0	0	0	0	0	5	0	2	2	9
C16	Estomago	0	0	0	0	1	1	1	8	1	13	9	14	13	16	15	43	135
C17	Intestino Delgado	0	0	0	0	1	0	0	1	0	0	1	0	1	0	1	5	10
C18	Colon	0	0	0	2	0	0	0	3	2	5	7	11	17	18	15	37	117
C19	Unión Rectosigmoidea	0	0	0	0	0	0	0	0	0	0	0	1	1	1	0	2	5
C20	Recto	0	0	0	0	0	1	0	1	1	3	1	3	5	8	3	7	33
C21	Ano Y Conducto Anal	0	0	0	0	0	0	0	0	0	2	0	3	6	5	2	4	22
C22	Hígado Y Conductos Biliares	1	0	0	0	0	0	0	2	1	1	4	6	11	8	10	9	53
C23	Vesícula Biliar	0	0	0	0	2	1	1	1	1	2	2	0	0	3	1	4	18
C24	Otras Partes Y Las No Especificadas De Las Vías Biliares	0	0	0	0	1	0	0	0	0	2	1	0	1	0	2	3	10
C25	Páncreas	0	0	0	1	0	0	2	0	1	1	3	4	3	3	5	14	37
C26	Otros Sitios Y Mal Definidos De Los Órganos Digestivos	0	0	0	0	0	0	0	0	0	0	1	0	1	0	0	0	2
C30	Cavidad Nasal Y Oído Medio	0	0	0	0	0	0	0	0	0	0	0	0	0	0	0	1	1
C31	Senos Paranasales	0	0	0	0	0	0	0	0	0	0	0	0	0	1	0	0	1
C32	Laringe	0	0	0	0	0	0	0	0	0	0	1	0	0	0	1	1	3
C33	Tráquea	0	0	0	0	0	0	0	0	0	0	0	0	1	0	0	0	1
C34	Bronquios Y Pulmón	0	0	0	0	0	0	0	1	1	2	6	3	10	8	13	15	59
C38	Corazón, Mediastino Y Pleura	0	0	0	0	0	1	0	0	0	0	1	0	1	1	0	3	7
C40	Huesos, Articulaciones Y Cartílagos Articulares De Los Miembros	0	0	0	2	0	1	1	0	0	0	0	0	1	0	0	0	5

NÚMERO DE CASOS SEGÚN TIPO DE CANCER Y GRUPO ETARIO EN MUJERES RESIDENTES DE GUAYAQUIL. AÑO 2017

CIE-O	LOCALIZACIÓN TOPOGRÁFICA	GRUPO DE EDAD																TOTAL CASOS
		0-4	5-9	10-14	15-19	20-24	25-29	30-34	35-39	40-44	45-49	50-54	55-59	60-64	65-69	70-74	75 y más	
C41	Huesos, Articulaciones Y Cartílagos Articulares De Otros Sitios Y De Los No Especificados	0	0	3	0	1	0	0	2	0	1	0	1	1	3	2	3	17
C42	Sistema Hematopoyético Y Reticuloendotelial	10	11	3	5	5	7	5	5	3	3	9	14	8	11	12	15	126
C44	Piel	0	0	0	1	4	5	3	14	19	15	14	25	30	43	32	114	319
C47	Nervios Periféricos Y Sistema Nervioso Autónomo	0	0	0	0	0	0	0	0	0	0	0	0	0	1	0	0	1
C48	Peritoneo Y Retroperitoneo	0	0	0	0	1	0	0	1	2	1	2	2	4	3	3	2	21
C49	Tejido Conjuntivo, Subcutáneo Y De Otros Tejidos Blandos	0	1	0	2	1	2	1	1	0	6	1	0	1	3	2	1	22
C50	Mama	0	1	0	1	0	5	20	32	54	72	60	64	53	49	39	67	517
C51	Vulva	0	0	0	0	0	0	0	0	0	2	1	1	1	4	0	5	14
C52	Vagina	0	0	0	0	0	0	0	1	2	0	2	0	1	4	1	5	16
C53	Cuello Uterino	0	0	0	0	4	17	29	42	47	33	26	27	29	13	19	23	309
C54	Cuerpo Uterino	0	0	0	0	0	0	2	2	4	3	10	6	11	5	6	5	54
C55	Útero	0	0	0	0	0	0	1	4	3	5	1	2	4	2	5	4	31
C56	Ovario	0	0	2	4	3	5	2	7	7	7	8	11	7	10	2	4	79
C57	Otros Órganos Genitales Femeninos Y Los No Especificados	0	0	0	0	0	0	0	1	0	0	0	0	0	0	0	0	1
C58	Placenta	0	0	0	0	1	0	1	0	0	0	0	0	0	0	0	0	2
C64	Riñón	0	0	1	0	0	1	2	0	0	5	2	5	6	8	5	7	42
C65	Pelvis Renal	0	0	0	0	0	0	0	0	0	0	0	1	0	0	0	0	1
C66	Uréter	0	0	0	0	0	0	0	0	0	0	0	0	0	0	0	1	1
C67	Vejiga Urinaria	0	0	0	0	0	0	1	1	0	1	1	2	1	2	3	3	15
C68	Otros Órganos Urinarios Y Los No Especificados	0	0	0	0	0	0	0	0	0	1	0	0	0	0	0	0	1
C69	Ojo Y Anexos	2	1	0	0	1	0	0	0	0	0	0	0	0	1	2	0	7
C70	Meninges	0	0	0	0	0	0	0	0	0	0	0	2	0	0	0	0	2
C71	Encéfalo	1	1	3	4	2	4	4	2	3	2	4	6	1	0	4	6	47
C73	Glándula Tiroides	0	0	0	3	6	8	19	15	20	17	18	19	15	9	6	6	161
C76	Sitios Mal Definidos Y Otros	0	0	0	0	0	1	1	2	0	0	3	1	3	3	3	4	21
C77	Ganglios Linfáticos	1	1	2	3	5	2	2	4	7	3	10	9	7	10	7	17	90
C80	Sitio Primario Desconocido	0	0	0	0	0	0	0	0	0	2	5	1	0	7	4	6	25
Todos los sitios		16	16	14	28	39	64	98	154	181	211	217	246	264	268	229	451	2496
Todos los sitios menos piel (C44)		16	16	14	27	35	59	95	140	162	196	203	221	234	225	197	337	2177

TASAS DE INCIDENCIA SEGÚN TIPO DE CÁNCER Y GRUPO ETARIO EN HOMBRES RESIDENTES DE GUAYAQUIL. AÑO 2017

CIE-O	LOCALIZACIÓN TOPOGRÁFICA	GRUPO DE EDAD															TASA CRUDA	TASA ESTÁNDAR ASR	
		0-4	5-9	10-14	15-19	20-24	25-29	30-34	35-39	40-44	45-49	50-54	55-59	60-64	65-69	70-74			75 y más
C00	Labio	0,00	0,00	0,00	0,00	0,00	0,00	0,00	0,00	0,00	0,00	0,00	2,01	0,00	0,00	0,00	0,00	0,08	0,08
C02	Otras Partes Y Las No Especificadas De La Lengua	0,00	0,00	0,00	0,00	0,00	0,00	0,00	0,00	0,00	0,00	0,00	2,01	2,93	4,05	11,58	7,59	0,54	0,70
C03	Encía	0,00	0,00	0,00	0,00	0,00	0,00	0,00	0,00	0,00	0,00	0,00	2,93	4,05	0,00	0,00	0,00	0,15	0,24
C04	Piso De La Boca	0,00	0,00	0,00	0,00	0,00	0,00	0,00	0,00	0,00	1,36	0,00	0,00	0,00	0,00	0,00	0,00	0,08	0,08
C05	Paladar	0,00	0,00	0,00	0,00	0,00	0,00	0,00	1,11	0,00	0,00	0,00	2,01	0,00	0,00	11,58	7,59	0,46	0,53
C06	Otras Partes Y Las No Especificadas De La Boca	0,00	0,00	0,00	0,00	0,00	0,00	0,00	0,00	0,00	1,36	0,00	0,00	0,00	0,00	0,00	0,00	0,08	0,08
C07	Glándula Parótida	0,00	0,00	0,00	0,00	0,00	0,00	0,00	0,00	0,00	1,36	0,00	0,00	0,00	0,00	0,00	7,59	0,23	0,23
C08	Otras Glándulas Salivales Mayores Y Las No Especificadas	0,00	0,00	0,00	0,00	0,00	0,00	0,00	0,00	0,00	0,00	0,00	0,00	0,00	4,05	0,00	0,00	0,08	0,12
C09	Amígdala	0,00	0,00	0,00	0,00	0,00	0,00	0,00	0,00	0,00	1,36	6,56	12,08	5,86	8,10	11,58	0,00	1,30	1,60
C10	Orofaringe	0,00	0,00	0,00	0,00	0,00	0,00	0,00	0,00	0,00	0,00	0,00	2,01	0,00	0,00	0,00	0,00	0,08	0,08
C11	Nasofaringe	0,00	0,00	0,00	0,00	0,00	0,00	0,00	0,00	1,26	0,00	0,00	2,01	0,00	0,00	0,00	0,00	0,15	0,16
C13	Hipofaringe	0,00	0,00	0,00	0,00	0,00	0,00	0,00	0,00	0,00	0,00	0,00	0,00	0,00	4,05	0,00	0,00	0,08	0,12
C15	Esófago	0,00	0,00	0,00	0,00	0,00	0,00	0,00	0,00	0,00	5,45	4,92	4,03	8,79	12,15	28,96	22,77	2,00	2,48
C16	Estomago	0,00	0,00	0,00	0,83	0,84	0,88	1,87	2,23	6,30	6,82	26,22	28,19	61,53	64,78	115,82	155,60	11,13	13,52
C17	Intestino Delgado	0,00	0,00	0,00	0,00	0,00	0,00	0,00	0,00	0,00	1,36	0,00	0,00	2,93	8,10	0,00	15,18	0,61	0,75
C18	Colon	0,00	0,00	0,00	0,00	0,84	1,76	0,93	4,46	5,04	9,54	24,58	22,15	17,58	32,39	52,12	94,88	7,14	8,14
C19	Unión Rectosigmoidea	0,00	0,00	0,00	0,00	0,00	0,00	0,00	0,00	0,00	0,00	0,00	2,01	2,93	0,00	0,00	0,00	0,15	0,20
C20	Recto	0,00	0,00	0,00	0,00	0,00	0,88	0,93	0,00	1,26	0,00	3,28	14,10	23,44	28,34	28,96	45,54	3,38	4,21
C21	Ano Y Conducto Anal	0,00	0,00	0,00	0,00	0,00	0,00	0,00	0,00	2,52	0,00	0,00	2,01	2,93	0,00	11,58	7,59	0,61	0,73
C22	Hígado Y Conductos Biliares	1,57	0,00	0,00	0,00	0,00	0,00	0,00	0,00	7,56	5,45	3,28	12,08	32,23	64,78	75,28	68,31	5,99	7,72
C23	Vesícula Biliar	0,00	0,00	0,00	0,00	0,00	0,00	0,00	1,11	0,00	2,73	1,64	2,01	5,86	8,10	5,79	11,39	1,00	1,21
C24	Otras Partes Y Las No Especificadas De Las Vías Biliares	0,00	0,00	0,00	0,00	0,00	0,88	0,00	0,00	1,26	1,36	3,28	6,04	2,93	0,00	0,00	11,39	0,92	0,98
C25	Páncreas	0,00	0,00	0,00	0,00	0,00	0,00	0,00	1,11	2,52	5,45	4,92	8,06	20,51	24,29	23,16	18,98	2,76	3,51
C26	Otros Sitios Y Mal Definidos De Los Órganos Digestivos	0,00	0,00	0,00	0,00	0,00	0,00	0,00	0,00	0,00	0,00	3,28	0,00	0,00	4,05	0,00	0,00	0,23	0,29
C30	Cavidad Nasal Y Oído Medio	0,00	0,00	0,00	0,00	0,00	0,88	0,00	0,00	0,00	0,00	1,64	0,00	0,00	4,05	0,00	3,80	0,31	0,35
C31	Senos Paranasales	0,00	0,00	0,00	0,00	0,00	0,00	0,00	0,00	1,26	0,00	0,00	0,00	0,00	4,05	0,00	7,59	0,31	0,35
C32	Laringe	0,00	0,00	0,00	0,00	0,84	0,00	0,00	0,00	1,26	0,00	0,00	4,03	5,86	16,20	23,16	18,98	1,46	1,87
C34	Bronquios Y Pulmón	0,00	0,00	0,00	0,00	0,00	0,00	0,93	0,00	1,26	5,45	3,28	10,07	23,44	52,64	81,07	83,49	5,37	6,83
C38	Corazón, Mediastino Y Pleura	0,00	0,78	0,00	1,66	0,00	0,00	0,93	0,00	0,00	0,00	0,00	0,00	0,00	8,10	11,58	3,80	0,69	0,83

Tasas por cada 100.000 habitantes

TASAS DE INCIDENCIA SEGÚN TIPO DE CÁNCER Y GRUPO ETARIO EN HOMBRES RESIDENTES DE GUAYAQUIL. AÑO 2017

CIE-O	LOCALIZACIÓN TOPOGRÁFICA	GRUPO DE EDAD																TASA CRUDA	TASA ESTÁNDAR ASR
		0-4	5-9	10-14	15-19	20-24	25-29	30-34	35-39	40-44	45-49	50-54	55-59	60-64	65-69	70-74	75 y más		
C39	Otros Sitios Y De Los Mal Definidos Del Sistema Respiratorio Y De Los Órganos Intratorácicos	0,00	0,00	0,00	0,00	0,00	0,00	0,00	0,00	0,00	0,00	1,64	0,00	0,00	0,00	0,00	0,00	0,08	0,08
C40	Huesos, Articulaciones Y Cartílagos Articulares De Los Miembros	0,00	2,35	0,00	2,49	0,00	2,63	0,00	0,00	2,52	0,00	1,64	0,00	2,93	0,00	0,00	0,00	1,00	1,02
C41	Huesos, Articulaciones Y Cartílagos Articulares De Otros Sitios Y De Los No Especificados	1,57	0,00	0,75	0,83	0,00	0,88	0,00	1,11	0,00	1,36	0,00	0,00	2,93	12,15	0,00	3,80	0,92	1,11
C42	Sistema Hematopoyético Y Reticuloendotelial	6,28	10,18	3,77	5,82	6,75	0,88	6,54	4,46	6,30	12,27	9,83	14,10	43,95	44,54	52,12	72,11	10,28	11,65
C44	Piel	0,78	0,00	0,00	0,83	1,69	3,51	4,67	12,25	6,30	16,36	27,86	70,48	123,06	182,20	225,85	440,23	25,71	30,88
C47	Nervios Periféricos Y Sistema Nervioso Autónomo	0,00	0,00	0,00	0,00	0,00	0,00	0,93	0,00	0,00	0,00	0,00	0,00	0,00	4,05	0,00	0,00	0,15	0,18
C48	Peritoneo Y Retroperitoneo	0,78	0,00	0,00	0,83	0,00	0,00	1,87	1,11	1,26	0,00	1,64	6,04	5,86	8,10	23,16	0,00	1,38	1,69
C49	Tejido Conjuntivo, Subcutáneo Y De Otros Tejidos Blandos	0,78	0,00	0,00	0,00	1,69	1,76	0,00	0,00	2,52	1,36	3,28	6,04	0,00	4,05	11,58	11,39	1,46	1,59
C60	Pene	0,00	0,00	0,00	0,00	0,00	0,00	0,00	0,00	5,04	1,36	4,92	12,08	2,93	16,20	0,00	3,80	1,53	1,79
C61	Glándula Prostática	0,00	0,00	0,00	0,00	0,00	0,00	0,00	0,00	0,00	2,73	9,83	28,19	84,97	206,49	295,34	402,28	19,88	25,33
C62	Testículos	0,78	0,00	0,00	1,66	2,53	1,76	5,60	3,34	1,26	1,36	3,28	2,01	0,00	4,05	0,00	3,80	1,84	1,72
C64	Riñón	0,78	0,78	0,00	0,00	0,00	0,00	0,93	4,46	1,26	4,09	6,56	18,12	20,51	44,54	52,12	30,36	4,53	5,68
C65	Pelvis Renal	0,00	0,00	0,00	0,00	0,00	0,00	0,00	0,00	0,00	0,00	0,00	0,00	0,00	0,00	5,79	0,00	0,08	0,12
C67	Vejiga Urinaria	0,00	0,00	0,00	0,00	0,84	0,00	0,00	1,11	0,00	0,00	3,28	6,04	20,51	12,15	34,75	53,13	2,84	3,48
C69	Ojo Y Anexos	2,35	0,00	0,00	0,00	0,00	0,88	0,00	1,11	0,00	0,00	0,00	0,00	0,00	4,05	0,00	7,59	0,61	0,69
C71	Encéfalo	3,14	2,35	0,00	3,33	5,07	1,76	2,80	5,57	1,26	9,54	6,56	8,06	14,65	0,00	5,79	18,98	4,14	4,34
C72	Medula Espinal, Nervios Craneales Y De Otras Partes Del Sistema Nervioso Central	0,00	0,00	0,75	0,00	0,00	0,00	0,00	0,00	0,00	1,36	0,00	0,00	2,93	0,00	0,00	3,80	0,31	0,34
C73	Glándula Tiroides	0,00	0,00	0,00	0,00	0,00	2,63	6,54	0,00	6,30	2,73	14,75	8,06	8,79	36,44	17,37	0,00	3,45	4,00
C74	Glándula Suprarrenal (Adrenal)	0,00	0,00	0,00	0,00	0,00	0,00	0,00	0,00	0,00	0,00	0,00	0,00	0,00	0,00	0,00	3,80	0,08	0,08
C76	Sitios Mal Definidos Y Otros	0,00	0,00	0,00	0,83	0,00	2,63	3,74	1,11	1,26	1,36	4,92	2,01	8,79	16,20	17,37	26,57	2,46	2,78
C77	Ganglios Linfáticos	2,35	2,35	3,02	0,83	1,69	4,39	2,80	2,23	6,30	6,82	9,83	12,08	8,79	24,29	63,70	45,54	5,91	6,68
C80	Sitio Primario Desconocido	0,00	0,00	0,00	0,00	0,84	0,00	0,00	0,00	1,26	1,36	0,00	4,03	2,93	24,29	11,58	34,16	1,77	2,15
Todos los sitios		21,19	18,79	8,30	19,95	23,64	28,97	42,03	47,89	74,31	113,14	196,65	334,29	577,19	1000,08	1308,78	1753,32	137,75	165,35
Todos los sitios menos piel (C44)		20,41	18,79	8,30	19,12	21,95	25,46	37,36	35,64	68,01	96,79	168,79	263,81	454,13	817,88	1082,93	1313,09	112,04	134,47

Tasas por cada 100.000 habitantes

TASAS DE INCIDENCIA SEGÚN TIPO DE CÁNCER Y GRUPO ETARIO EN MUJERES RESIDENTES DE GUAYAQUIL. AÑO 2017

CIE-O	LOCALIZACIÓN TOPOGRÁFICA	GRUPO DE EDAD																TASA CRUDA	TASA ESTÁNDAR ASR
		0-4	5-9	10-14	15-19	20-24	25-29	30-34	35-39	40-44	45-49	50-54	55-59	60-64	65-69	70-74	75 y más		
C02	Otras Partes Y Las No Especificadas De La Lengua	0,00	0,00	0,00	0,00	0,00	0,86	0,00	1,07	1,20	0,00	3,10	3,77	0,00	7,06	0,00	2,84	0,75	0,78
C03	Encía	0,00	0,00	0,00	0,00	0,00	0,00	0,00	0,00	1,20	1,27	0,00	0,00	0,00	0,00	0,00	0,00	0,15	0,15
C05	Paladar	0,00	0,00	0,00	0,00	0,00	0,00	0,00	0,00	0,00	0,00	0,00	0,00	0,00	3,53	0,00	0,00	0,07	0,11
C06	Otras Partes Y Las No Especificadas De La Boca	0,00	0,00	0,00	0,00	0,00	0,00	0,00	0,00	0,00	0,00	0,00	0,00	0,00	0,00	0,00	2,84	0,07	0,06
C07	Glándula Parótida	0,00	0,00	0,00	0,00	0,00	0,86	0,00	0,00	0,00	0,00	0,00	0,00	2,66	0,00	4,84	0,00	0,22	0,27
C08	Otras Glándulas Salivales Mayores Y Las No Especificadas	0,00	0,00	0,00	0,00	0,00	0,00	0,00	0,00	0,00	0,00	0,00	0,00	2,66	0,00	0,00	0,00	0,07	0,11
C09	Amígdala	0,00	0,00	0,00	0,00	0,00	0,00	0,00	0,00	0,00	0,00	1,55	0,00	2,66	3,53	0,00	0,00	0,22	0,29
C10	Orofaringe	0,00	0,00	0,00	0,00	0,00	0,00	0,00	0,00	0,00	0,00	0,00	0,00	2,66	0,00	0,00	0,00	0,07	0,11
C11	Nasofaringe	0,81	0,00	0,00	0,00	0,00	0,00	0,00	0,00	0,00	0,00	0,00	0,00	0,00	0,00	0,00	0,00	0,07	0,10
C14	Otros Sitios Y Mal Definidos Del Labio, La Cavidad Bucal Y La Faringe	0,00	0,00	0,00	0,00	0,00	0,00	0,00	0,00	0,00	0,00	0,00	0,00	0,00	3,53	4,84	2,84	0,22	0,26
C15	Esófago	0,00	0,00	0,00	0,00	0,00	0,00	0,00	0,00	0,00	0,00	0,00	0,00	13,28	0,00	9,67	5,67	0,67	0,84
C16	Estomago	0,00	0,00	0,00	0,00	0,82	0,86	0,91	8,58	1,20	16,49	13,93	26,40	34,53	56,48	72,53	121,95	10,06	10,48
C17	Intestino Delgado	0,00	0,00	0,00	0,00	0,82	0,00	0,00	1,07	0,00	0,00	1,55	0,00	2,66	0,00	4,84	14,18	0,75	0,70
C18	Colon	0,00	0,00	0,00	1,63	0,00	0,00	0,00	3,22	2,40	6,34	10,84	20,74	45,15	63,54	72,53	104,93	8,72	9,50
C19	Unión Rectosigmoidea	0,00	0,00	0,00	0,00	0,00	0,00	0,00	0,00	0,00	0,00	1,89	2,66	3,53	0,00	5,67	0,37	0,40	
C20	Recto	0,00	0,00	0,00	0,00	0,00	0,86	0,00	1,07	1,20	3,81	1,55	5,66	13,28	28,24	14,51	19,85	2,46	2,80
C21	Ano Y Conducto Anal	0,00	0,00	0,00	0,00	0,00	0,00	0,00	0,00	0,00	2,54	0,00	5,66	15,94	17,65	9,67	11,34	1,64	1,97
C22	Hígado Y Conductos Biliares	0,81	0,00	0,00	0,00	0,00	0,00	0,00	2,15	1,20	1,27	6,19	11,31	29,22	28,24	48,35	25,52	3,95	4,63
C23	Vesícula Biliar	0,00	0,00	0,00	0,00	1,65	0,86	0,91	1,07	1,20	2,54	3,10	0,00	0,00	10,59	4,84	11,34	1,34	1,34
C24	Otras Partes Y Las No Especificadas De Las vías Biliares	0,00	0,00	0,00	0,00	0,82	0,00	0,00	0,00	0,00	2,54	1,55	0,00	2,66	0,00	9,67	8,51	0,75	0,77
C25	Páncreas	0,00	0,00	0,00	0,82	0,00	0,00	1,82	0,00	1,20	1,27	4,64	7,54	7,97	10,59	24,18	39,71	2,76	2,78
C26	Otros Sitios Y Mal Definidos De Los órganos Digestivos	0,00	0,00	0,00	0,00	0,00	0,00	0,00	0,00	0,00	0,00	1,55	0,00	2,66	0,00	0,00	0,00	0,15	0,18
C30	Cavidad Nasal Y oído Medio	0,00	0,00	0,00	0,00	0,00	0,00	0,00	0,00	0,00	0,00	0,00	0,00	0,00	0,00	0,00	2,84	0,07	0,06
C31	Senos Paranasales	0,00	0,00	0,00	0,00	0,00	0,00	0,00	0,00	0,00	0,00	0,00	0,00	0,00	3,53	0,00	0,00	0,07	0,11
C32	Laringe	0,00	0,00	0,00	0,00	0,00	0,00	0,00	0,00	0,00	0,00	1,55	0,00	0,00	0,00	4,84	2,84	0,22	0,23
C33	Tráquea	0,00	0,00	0,00	0,00	0,00	0,00	0,00	0,00	0,00	0,00	0,00	0,00	2,66	0,00	0,00	0,00	0,07	0,11
C34	Bronquios Y Pulmón	0,00	0,00	0,00	0,00	0,00	0,00	0,00	1,07	1,20	2,54	9,29	5,66	26,56	28,24	62,86	42,54	4,40	5,00
C38	Corazón, Mediastino Y Pleura	0,00	0,00	0,00	0,00	0,00	0,86	0,00	0,00	0,00	0,00	1,55	0,00	2,66	3,53	0,00	8,51	0,52	0,53

Tasas por cada 100.000 habitantes

TASAS DE INCIDENCIA SEGÚN TIPO DE CÁNCER Y GRUPO ETARIO EN MUJERES RESIDENTES DE GUAYAQUIL. AÑO 2017

CIE-O	LOCALIZACIÓN TOPOGRÁFICA	GRUPO DE EDAD															TASA CRUDA	TASA ESTÁNDAR ASR	
		0-4	5-9	10-14	15-19	20-24	25-29	30-34	35-39	40-44	45-49	50-54	55-59	60-64	65-69	70-74			75 y más
C40	Huesos, Articulaciones Y Cartílagos Articulares De Los Miembros	0,00	0,00	0,00	1,63	0,00	0,86	0,91	0,00	0,00	0,00	0,00	0,00	2,66	0,00	0,00	0,00	0,37	0,38
C41	Huesos, Articulaciones Y Cartílagos Articulares De Otros Sitios Y De Los No Especificados	0,00	0,00	2,33	0,00	0,82	0,00	0,00	2,15	0,00	1,27	0,00	1,89	2,66	10,59	9,67	8,51	1,27	1,34
C42	Sistema Hematopoyético Y Reticuloendotelial	8,13	8,82	2,33	4,08	4,12	5,99	4,55	5,36	3,60	3,81	13,93	26,40	21,25	38,83	58,02	42,54	9,39	10,06
C44	Piel	0,00	0,00	0,00	0,82	3,30	4,28	2,73	15,02	22,79	19,03	21,68	47,14	79,68	151,79	154,72	323,31	23,77	24,53
C47	Nervios Periféricos Y Sistema Nervioso Autónomo	0,00	0,00	0,00	0,00	0,00	0,00	0,00	0,00	0,00	0,00	0,00	0,00	0,00	3,53	0,00	0,00	0,07	0,11
C48	Peritoneo Y Retroperitoneo	0,00	0,00	0,00	0,00	0,82	0,00	0,00	1,07	2,40	1,27	3,10	3,77	10,62	10,59	14,51	5,67	1,57	1,80
C49	Tejido Conjuntivo, Subcutáneo Y De Otros Tejidos Blandos	0,00	0,80	0,00	1,63	0,82	1,71	0,91	1,07	0,00	7,61	1,55	0,00	2,66	10,59	9,67	2,84	1,64	1,76
C50	Mama	0,00	0,80	0,00	0,82	0,00	4,28	18,20	34,33	64,77	91,35	92,90	120,69	140,77	172,97	188,57	190,02	38,53	40,88
C51	Vulva	0,00	0,00	0,00	0,00	0,00	0,00	0,00	0,00	0,00	2,54	1,55	1,89	2,66	14,12	0,00	14,18	1,04	1,12
C52	Vagina	0,00	0,00	0,00	0,00	0,00	0,00	0,00	1,07	2,40	0,00	3,10	0,00	2,66	14,12	4,84	14,18	1,19	1,27
C53	Cuello Uterino	0,00	0,00	0,00	0,00	3,30	14,55	26,39	45,06	56,38	41,87	40,26	50,92	77,03	45,89	91,87	65,23	23,03	23,26
C54	Cuerpo Uterino	0,00	0,00	0,00	0,00	0,00	0,00	1,82	2,15	4,80	3,81	15,48	11,31	29,22	17,65	29,01	14,18	4,02	4,54
C55	Útero	0,00	0,00	0,00	0,00	0,00	0,00	0,91	4,29	3,60	6,34	1,55	3,77	10,62	7,06	24,18	11,34	2,31	2,49
C56	Ovario	0,00	0,00	1,56	3,27	2,47	4,28	1,82	7,51	8,40	8,88	12,39	20,74	18,59	35,30	9,67	11,34	5,89	6,24
C57	Otros órganos Genitales Femeninos Y Los No Especificados	0,00	0,00	0,00	0,00	0,00	0,00	0,00	1,07	0,00	0,00	0,00	0,00	0,00	0,00	0,00	0,00	0,07	0,06
C58	Placenta	0,00	0,00	0,00	0,00	0,82	0,00	0,91	0,00	0,00	0,00	0,00	0,00	0,00	0,00	0,00	0,00	0,15	0,12
C64	Riñón	0,00	0,00	0,78	0,00	0,00	0,86	1,82	0,00	0,00	6,34	3,10	9,43	15,94	28,24	24,18	19,85	3,13	3,53
C65	Pelvis Renal	0,00	0,00	0,00	0,00	0,00	0,00	0,00	0,00	0,00	0,00	0,00	1,89	0,00	0,00	0,00	0,00	0,07	0,08
C66	Uréter	0,00	0,00	0,00	0,00	0,00	0,00	0,00	0,00	0,00	0,00	0,00	0,00	0,00	0,00	0,00	2,84	0,07	0,06
C67	Vejiga Urinaria	0,00	0,00	0,00	0,00	0,00	0,00	0,91	1,07	0,00	1,27	1,55	3,77	2,66	7,06	14,51	8,51	1,12	1,20
C68	Otros órganos Urinarios Y Los No Especificados	0,00	0,00	0,00	0,00	0,00	0,00	0,00	0,00	0,00	1,27	0,00	0,00	0,00	0,00	0,00	0,00	0,07	0,08
C69	Ojo Y Anexos	1,63	0,80	0,00	0,00	0,82	0,00	0,00	0,00	0,00	0,00	0,00	0,00	0,00	3,53	9,67	0,00	0,52	0,64
C70	Meninges	0,00	0,00	0,00	0,00	0,00	0,00	0,00	0,00	0,00	0,00	0,00	3,77	0,00	0,00	0,00	0,00	0,15	0,15
C71	Encéfalo	0,81	0,80	2,33	3,27	1,65	3,42	3,64	2,15	3,60	2,54	6,19	11,31	2,66	0,00	19,34	17,02	3,50	3,40
C73	Glándula Tiroides	0,00	0,00	0,00	2,45	4,94	6,85	17,29	16,09	23,99	21,57	27,87	35,83	39,84	31,77	29,01	17,02	12,00	12,19
C76	Sitios Mal Definidos Y Otros	0,00	0,00	0,00	0,00	0,00	0,86	0,91	2,15	0,00	0,00	4,64	1,89	7,97	10,59	14,51	11,34	1,57	1,72
C77	Ganglios Linfáticos	0,81	0,80	1,56	2,45	4,12	1,71	1,82	4,29	8,40	3,81	15,48	16,97	18,59	35,30	33,85	48,21	6,71	7,00
C80	Sitio Primario Desconocido	0,00	0,00	0,00	0,00	0,00	0,00	0,00	0,00	0,00	2,54	7,74	1,89	0,00	24,71	19,34	17,02	1,86	2,08
Todos los sitios		13,01	12,82	10,89	22,87	32,13	54,77	89,17	165,22	217,11	267,69	335,98	463,90	701,21	946,06	1107,24	1279,07	186,01	196,70
Todos los sitios menos piel (C44)		13,01	12,82	10,89	22,05	28,83	50,50	86,44	150,20	194,32	248,66	314,30	416,75	621,53	794,27	952,52	955,76	162,24	172,17

Tasas por cada 100.000 habitantes

LOCALIZACIÓN TOPOGRÁFICA SEGÚN DIAGNÓSTICO HISTOLÓGICO Y SEXO. RESIDENTES EN GUAYAQUIL 2017

LOCALIZACIÓN TOPOGRÁFICA SEGÚN DIAGNÓSTICO HISTOLÓGICO Y SEXO. RESIDENTES EN GUAYAQUIL 2017

CIE Topografico	Cie			Descripción	Hombre		Mujer		Total		
					No	%	No	%	No	%	
C00	Labio	807	0	3	Carcinoma epidermoide, SAI	1	100%			1	100%
	Total					1	100%			1	100%
C02	Otras partes y las no especificadas de la lengua	807	0	3	Carcinoma epidermoide, SAI	3	43%	7	70%	10	59%
		807	1	3	Carcinoma epidermoide, tipo queratinizante, SAI	3	43%	2	20%	5	29%
		807	6	3	Carcinoma epidermoide microinvasor	1	14%	1	10%	2	12%
	Total					7	100%	10	100%	17	100%
C03	Encía	807	0	3	Carcinoma epidermoide, SAI	2	100%	2	100%	4	100%
	Total					2	100%	2	100%	4	100%
C04	Piso de la boca	807	0	3	Carcinoma epidermoide, SAI	1	100%			1	100%
	Total					1	100%			1	100%
C05	Paladar	801	0	3	Carcinoma, SAI	1	17%			1	14%
		807	0	3	Carcinoma epidermoide, SAI	2	33%			2	29%
		807	1	3	Carcinoma epidermoide, tipo queratinizante, SAI			1	100%	1	14%
		807	2	3	Carcinoma epidermoide de células grandes, tipo no queratinizante, SAI	1	17%			1	14%
		820	0	3	Carcinoma adenoide quístico	1	17%			1	14%
		968	0	3	Linfoma maligno difuso tipo B de células grandes, SAI	1	17%			1	14%
	Total					6	100%	1	100%	7	100%
	Otras partes y las no especificadas de la boca	807	0	3	Carcinoma epidermoide, SAI	1	100%			1	50%
C06		807	1	3	Carcinoma epidermoide, tipo queratinizante, SAI			1	100%	1	50%
	Total					1	100%	1	100%	2	100%
C07	Glándula Parótida	807	0	3	Carcinoma epidermoide, SAI	2	67%	2	67%	4	67%
		843	0	3	Carcinoma mucoepidermoide	1	33%	1	33%	2	33%
	Total					1	100%			1	100%
C08	Otras glándulas salivales mayores y las no especificadas	820	0	3	Carcinoma adenoide quístico			1	100%	1	50%
		843	0	3	Carcinoma mucoepidermoide	1	100%			1	50%
	Total					1	100%	1	100%	2	100%
C09	Amígdala	807	0	3	Carcinoma epidermoide, SAI	12	71%	3	100%	15	75%

C10		807	1	3	Carcinoma epidermoide, tipo queratinizante, SAI	2	12%			2	10%
		959	1	3	Linfoma maligno no Hodgkin, SAI	1	6%			1	5%
		968	0	3	Linfoma maligno difuso tipo B de células grandes, SAI	2	12%			2	10%
	Total					17	100%	3	100%	20	100%
C11	Orofaringe	807	1	3	Carcinoma epidermoide, tipo queratinizante, SAI	1	100%	1	100%	2	100%
	Total					1	100%	1	100%	2	100%
C13	Nasofaringe	800	0	3	Neoplasia maligna			1	100%	1	33%
		801	0	6	Carcinoma metastásico, SAI	1	50%			1	33%
	Total	807	2	3	Carcinoma epidermoide de células grandes, tipo no queratinizante, SAI	1	50%			1	33%
C13	Hipofaringe	807	0	3	Carcinoma epidermoide, SAI	1	100%			1	100%
	Total					1	100%			1	100%
C14	Otros sitios y mal definidos del labio, la cavidad bucal y la faringe	807	1	3	Carcinoma epidermoide, tipo queratinizante, SAI			3	100%	3	100%
	Total							3	100%	3	100%
C15	Esófago	800	0	3	Neoplasia maligna	1	4%			1	3%
		807	0	3	Carcinoma epidermoide, SAI	18	69%	4	44%	22	63%
		807	1	3	Carcinoma epidermoide, tipo queratinizante, SAI	2	8%			2	6%
		814	0	3	Adenocarcinoma, SAI	2	8%	4	44%	6	17%
		814	4	3	Adenocarcinoma, tipo intestinal	2	8%			2	6%
		849	0	3	Carcinoma de células en anillo de sello	1	4%	1	11%	2	6%
	Total					26	100%	9	100%	35	100%
C16	Estómago	800	0	3	Neoplasia maligna	1	1%			1	0%
		801	0	3	Carcinoma, SAI	1	1%	4	3%	5	2%
		801	0	6	Carcinoma metastásico, SAI	1	1%			1	0%
		802	0	3	Carcinoma indiferenciado, SAI	1	1%			1	0%
		807	0	3	Carcinoma epidermoide, SAI	1	1%			1	0%
		807	1	3	Carcinoma epidermoide, tipo queratinizante, SAI			1	1%	1	0%
		814	0	3	Adenocarcinoma, SAI	17	12%	16	12%	33	12%
		814	4	3	Adenocarcinoma, tipo intestinal	81	56%	70	52%	151	54%
		814	5	3	Carcinoma, tipo difuso	13	9%	5	4%	18	6%
		815	3	3	Gastrinoma maligno			1	1%	1	0%
		821	1	3	Adenocarcinoma tubular	3	2%	2	1%	5	2%
		824	0	3	Tumor carcinoide, SAI	1	1%	1	1%	2	1%
		848	0	3	Adenocarcinoma mucinoso			1	1%	1	0%
		848	1	3	Adenocarcinoma productor de mucina	1	1%			1	0%
	849	0	3	Carcinoma de células en anillo de sello	18	12%	26	19%	44	16%	

C17		850	0	3	Carcinoma ductal infiltrante, SAI			1	1%	1	0%	
		856	0	3	Carcinoma adenoescamoso	2	1%			2	1%	
		893	6	3	Sarcoma del estroma gastrointestinal	1	1%	3	2%	4	1%	
		893	6	1	Tumor del estroma gastrointestinal, SAI			1	1%	1	0%	
		959	0	3	Linfoma maligno, SAI	1	1%			1	0%	
		959	1	3	Linfoma maligno no Hodgkin, SAI	1	1%			1	0%	
		969	9	3	Linfoma de células B de zona marginal, SAI	1	1%	2	1%	3	1%	
		970	2	3	Linfoma de células T maduras, SAI			1	1%	1	0%	
		Total				145	100%	135	100%	280	100%	
	C18	Intestino Delgado	814	0	3	Adenocarcinoma, SAI	7	88%	9	90%	16	89%
		959	1	3	Linfoma maligno no Hodgkin, SAI	1	13%	1	10%	2	11%	
Total					8	100%	10	100%	18	100%		
C19	Colon	800	0	3	Neoplasia maligna	2	2%			2	1%	
		801	0	3	Carcinoma, SAI	2	2%			2	1%	
		801	0	6	Carcinoma metastásico, SAI			1	1%	1	0%	
		807	2	3	Carcinoma epidermoide de células grandes, tipo no queratinizante, SAI			1	1%	1	0%	
		814	0	3	Adenocarcinoma, SAI	73	78%	83	71%	156	74%	
		814	4	3	Adenocarcinoma, tipo intestinal	5	5%	11	9%	16	8%	
		814	5	3	Carcinoma, tipo difuso	1	1%		0%	1	0%	
		821	0	3	Adenocarcinoma en pólipo adenomatoso			1	1%	1	0%	
		824	0	3	Tumor carcinoide, SAI			2	2%	2	1%	
		824	6	3	Carcinoma neuroendocrino, SAI			1	1%	1	0%	
		826	0	3	Adenocarcinoma papilar, SAI			1	1%	1	0%	
		826	3	3	Adenocarcinoma en adenoma tubulovelloso			1	1%	1	0%	
		847	0	3	Cistadenocarcinoma mucinoso, SAI	1	1%			1	0%	
		848	0	3	Adenocarcinoma mucinoso	5	5%	9	8%	14	7%	
		848	1	3	Adenocarcinoma productor de mucina	1	1%	1	1%	2	1%	
		850	0	3	Carcinoma ductal infiltrante, SAI	1	1%	2	2%	3	1%	
		889	0	3	Leiomiomasarcoma, SAI			1	1%	1	0%	
		959	1	3	Linfoma maligno no Hodgkin, SAI	1	1%			1	0%	
		968	0	3	Linfoma maligno difuso tipo B de células grandes, SAI	1	1%	1	1%	2	1%	
		973	4	3	Plasmocitoma extramedular (no originado en el hueso)			1	1%	1	0%	
		Total				93	100%	117	100%	210	100%	
	C19	Unión rectosigmoidea	814	0	3	Adenocarcinoma, SAI	2	100%	4	80%	6	86%
			849	0	3	Carcinoma de células en anillo de sello			1	20%	1	14%
		Total				2	100%	5	100%	7	100%	

C20	Recto	801	0	3	Carcinoma, SAI	2	5%		0%	2	3%
		807	0	3	Carcinoma epidermoide, SAI		0%	2	6%	2	3%
		807	2	3	Carcinoma epidermoide de células grandes, tipo no queratinizante, SAI		0%	1	3%	1	1%
		814	0	3	Adenocarcinoma, SAI	34	77%	21	64%	55	71%
		814	4	3	Adenocarcinoma, tipo intestinal	3	7%	3	9%	6	8%
		821	1	3	Adenocarcinoma tubular	1	2%			1	1%
		824	0	3	Tumor carcinoide, SAI	1	2%	2	6%	3	4%
		824	6	3	Carcinoma neuroendocrino, SAI	1	2%	1	3%	2	3%
		826	3	3	Adenocarcinoma en adenoma tubulovelloso			1	3%	1	1%
		848	0	3	Adenocarcinoma mucinoso	2	5%			2	3%
		849	0	3	Carcinoma de células en anillo de sello			1	3%	1	1%
		850	0	3	Carcinoma ductal infiltrante, SAI			1	3%	1	1%
		Total				44	100%	33	100%	77	100%
	C21	Ano y conducto anal	802	0	3	Carcinoma indiferenciado, SAI	1	13%			1
		807	0	3	Carcinoma epidermoide, SAI	3	38%	10	45%	13	43%
		807	1	3	Carcinoma epidermoide, tipo queratinizante, SAI	1	13%	1	5%	2	7%
		812	3	3	Carcinoma basaloide			1	5%	1	3%
		812	4	3	Carcinoma cloacogénico			1	5%	1	3%
		814	0	3	Adenocarcinoma, SAI	3	38%	8	36%	11	37%
		850	0	3	Carcinoma ductal infiltrante, SAI			1	5%	1	3%
		Total				8	100%	22	100%	30	100%
C22	Hígado y conductos biliares	800	0	3	Neoplasia maligna	2	3%	2	4%	4	3%
		801	0	3	Carcinoma, SAI			2	4%	2	2%
		814	0	3	Adenocarcinoma, SAI	4	5%	1	2%	5	4%
		814	0	6	Adenocarcinoma metastásico, SAI	1	1%	3	6%	4	3%
		816	0	3	Colangiocarcinoma	1	1%			1	1%
		817	0	3	Carcinoma hepatocelular, SAI	65	83%	45	85%	110	84%
		817	3	3	Carcinoma hepatocelular, variante fusocelular	1	1%			1	1%
		848	0	3	Adenocarcinoma mucinoso	2	3%			2	2%
		897	0	3	Hepatoblastoma	1	1%			1	1%
		968	0	3	Linfoma maligno difuso tipo B de células grandes, SAI	1	1%			1	1%
		Total				78	100%	53	100%	131	100%
	C23	Vesícula biliar	801	0	2	Carcinoma in situ, SAI			1	6%	1
		801	0	3	Carcinoma, SAI	1	8%	1	6%	2	6%
		801	3	3	Carcinoma neuroendocrino de células grandes			1	6%	1	3%
		814	0	3	Adenocarcinoma, SAI	12	92%	15	83%	27	87%
		Total				13	100%	18	100%	31	100%

C24	Otras partes y las no especificadas de las vías biliares	814	0	3	Adenocarcinoma, SAI	9	75%	9	90%	18	82%
		816	0	3	Colangiocarcinoma	2	17%			2	9%
		826	3	3	Adenocarcinoma en adenoma tubulovelloso			1	10%	1	5%
		855	0	3	Carcinoma de células acinosas	1	8%			1	5%
	Total					12	100%	10	100%	22	100%
C25	Páncreas	800	0	3	Neoplasia maligna	1	3%			1	1%
		801	0	3	Carcinoma, SAI	1	3%			1	1%
		814	0	3	Adenocarcinoma, SAI	29	81%	29	78%	58	79%
		848	1	3	Adenocarcinoma productor de mucina			1	3%	1	1%
		850	0	3	Carcinoma ductal infiltrante, SAI	5	14%	3	8%	8	11%
		855	0	3	Carcinoma de células acinosas			1	3%	1	1%
		897	1	3	Pancreatoblastoma			2	5%	2	3%
		968	0	3	Linfoma maligno difuso tipo B de células grandes, SAI			1	3%	1	1%
	Total					36	100%	37	100%	73	100%
C26	Otros sitios y mal definidos de los órganos digestivos	824	6	3	Carcinoma neuroendocrino, SAI	2	67%	2	100%	4	80%
		893	6	3	Sarcoma del estroma gastrointestinal	1	33%		0%	1	20%
	Total					3	100%	2	100%	5	100%
C30	Cavidad nasal y oído medio	807	1	3	Carcinoma epidermoide, tipo queratinizante, SAI			1	100%	1	20%
		831	0	3	Adenocarcinoma de células claras, SAI	1	25%			1	20%
		872	0	3	Melanoma maligno, SAI	1	25%			1	20%
		959	1	3	Linfoma maligno no Hodgkin, SAI	1	25%			1	20%
		952	2	3	Neuroblastoma olfatorio	1	25%			1	20%
	Total					4	100%	1	100%	5	100%
C31	Senos Paranasales	804	1	3	Carcinoma de células pequeñas, SAI			1	100%	1	20%
		807	0	3	Carcinoma epidermoide, SAI	2	50%			2	40%
		820	0	3	Carcinoma adenoide quístico	1	25%			1	20%
	Total	968	0	3	Linfoma maligno difuso tipo B de células grandes, SAI	1	25%			1	20%
C32	Laringe	801	0	3	Carcinoma, SAI	1	5%			1	5%
		807	0	3	Carcinoma epidermoide, SAI	9	47%	1	33%	10	45%
		807	1	3	Carcinoma epidermoide, tipo queratinizante, SAI	7	37%	2	67%	9	41%
		807	2	3	Carcinoma epidermoide de células grandes, tipo no queratinizante, SAI	1	5%			1	5%
		880	0	3	Sarcoma, SAI	1	5%			1	5%

C33	Total					19	100%	3	100%	22	100%
	Tráquea	814	7	3	Adenocarcinoma basocelular			1	100%	1	100%
C34	Total							1	100%	1	100%
	Bronquios y Pulmón	800	0	3	Neoplasia maligna	1	1.43%	1	1.69%	2	1.55%
		801	0	3	Carcinoma, SAI	2	3%	1	2%	3	2%
		801	3	3	Carcinoma neuroendocrino de células grandes	1	1%			1	1%
		804	6	3	Carcinoma, no de células pequeñas			1	2%	1	1%
		805	0	3	Carcinoma papilar, SAI	1	1%			1	1%
		807	0	3	Carcinoma epidermoide, SAI	1	1%	1	2%	2	2%
		807	2	3	Carcinoma epidermoide de células grandes, tipo no queratinizante, SAI	1	1%			1	1%
		814	0	3	Adenocarcinoma, SAI	59	84%	52	88%	111	86%
		814	0	6	Adenocarcinoma metastásico, SAI			1	2%	1	1%
		820	0	3	Carcinoma adenoide quístico	1	1%			1	1%
		825	0	3	Adenocarcinoma bronquiolo-alveolar, SAI	1	1%			1	1%
		831	0	3	Adenocarcinoma de células claras, SAI	1	1%			1	1%
		855	0	3	Carcinoma de células acinosas	1	1%			1	1%
		889	0	3	Leiomioma, SAI			1	2%	1	1%
		959	1	3	Linfoma maligno no Hodgkin, SAI			1	2%	1	1%
	C38	Total					70	100%	59	100%	129
Corazón, mediastino y pleura		801	0	3	Carcinoma, SAI	1	11%		0%	1	6%
		805	0	3	Carcinoma papilar, SAI			1	14%	1	6%
		807	0	3	Carcinoma epidermoide, SAI	1	11%			1	6%
		814	0	3	Adenocarcinoma, SAI	3	33%	3	43%	6	38%
		889	0	3	Leiomioma, SAI		0%	1	14%	1	6%
		905	0	3	Mesotelioma maligno	1	11%	2	29%	3	19%
		906	4	3	Germinoma	2	22%			2	13%
		968	0	3	Linfoma maligno difuso tipo B de células grandes, SAI	1	11%			1	6%
		Total				9	100%	7	100%	16	100%
C39	Otros sitios y de los mal definidos del sistema respiratorio y de los órganos intratorácicos	814	0	3	Adenocarcinoma, SAI	1	100%			1	100%
	Total					1	100%			1	100%
C40	Huesos, articulaciones y cartílagos articulares de los miembros	814	0	6	Adenocarcinoma metastásico, SAI	1	8%			1	6%
		831	0	3	Adenocarcinoma de células claras, SAI	1	8%			1	6%
		918	0	3	Osteosarcoma, SAI	8	62%	1	20%	9	50%

C42		922	0	3	Condrosarcoma, SAI			3	60%	3	17%	
		925	0	3	Tumor maligno de células gigantes del hueso	2	15%			2	11%	
		925	0	1	Tumor de células gigantes del hueso, SAI	1	8%	1	20%	2	11%	
		800	0	3	Neoplasia maligna	1	8%			1	3%	
		800	0	6	Neoplasia metastásica			1	6%	1	3%	
		880	1	3	Sarcoma fusocelular, SAI			1	6%	1	3%	
		918	0	3	Osteosarcoma, SAI	2	17%			2	7%	
		926	0	3	Sarcoma de Ewing	4	33%	13	76%	17	59%	
		945	1	3	Oligodendroglioma anaplásico	1	8%			1	3%	
		947	3	3	Tumor neuroectodérmico primitivo, SAI			1	6%	1	3%	
		973	1	3	Plasmocitoma, SAI			1	6%	1	3%	
		973	2	3	Mieloma múltiple	1	8%			1	3%	
		975	0	3	Histiocitosis maligna	1	8%			1	3%	
		924	0	3	Condrosarcoma mesenquimal	1	8%			1	3%	
		931	0	3	Ameloblastoma maligno	1	8%			1	3%	
		Total				25	100%	22	100%	47	100%	
		Sistema hematopoyético y reticuloendotelial										
			800	0	3	Neoplasia maligna			1	1%	1	0%
			912	0	3	Hemangiosarcoma			1	1%	1	0%
			959	1	3	Linfoma maligno no Hodgkin, SAI			1	1%	1	0%
			968	0	3	Linfoma maligno difuso tipo B de células grandes, SAI			2	2%	2	1%
			973	1	3	Plasmocitoma, SAI	2	1%			2	1%
			973	2	3	Mieloma múltiple	35	26%	27	21%	62	24%
			980	0	3	Leucemia, SAI	1	1%			1	0%
			980	1	3	Leucemia aguda, SAI	10	7%	5	4%	15	6%
			980	5	3	Leucemia aguda bifenotípica	1	1%			1	0%
			982	0	3	Leucemia linfoide, SAI			1	1%	1	0%
			982	3	3	Leucemia linfocítica crónica de células B / linfoma linfocítico de células pequeñas	3	2%	1	1%	4	2%
			982	6	3	Leucemia de células de Burkitt		0%	1	1%	1	0%
		983	5	3	Leucemia linfoblástica de células precursoras, SAI	19	14%	14	11%	33	13%	
		983	6	3	Leucemia linfoblástica de células B precursoras	27	20%	26	21%	53	20%	
		984	0	3	Leucemia mieloide aguda tipo M6			1	1%	1	0%	
		986	1	3	Leucemia mieloide aguda, SAI	18	13%	26	21%	44	17%	
		986	3	3	Leucemia mieloide crónica, SAI	5	4%	5	4%	10	4%	

C44		986	6	3	Leucemia promielocítica aguda t(15;17)(q22;q11-12)	1	1%	2	2%	3	1%	
		987	4	3	Leucemia mieloide aguda con maduración	1	1%			1	0%	
		996	0	3	Neoplasia mieloproliferativa, SAI	2	1%			2	1%	
		996	2	3	Trombocitemia esencial	1	1%			1	0%	
		998	9	3	Síndrome mielodisplásico, SAI	7	5%	10	8%	17	7%	
		976	0	3	Enfermedad inmunoproliferativa, SAI			1	1%	1	0%	
		995	0	3	Policitemia vera			1	1%	1	0%	
		993	1	3	Panmielosis aguda con mielofibrosis	1	1%			1	0%	
		Total				134	100%	126	100%	260	100%	
		Piel	800	0	3	Neoplasia maligna			2	1%	2	0%
			800	0	1	Neoplasia de benignidad o malignidad incierta	2	1%			2	0%
			800	3	3	Tumor maligno de células gigantes	2	1%			2	0%
			801	0	3	Carcinoma, SAI	2	1%	2	1%	4	1%
			801	0	6	Carcinoma metastásico, SAI			1	0%	1	0%
			807	0	2	Carcinoma epidermoide in situ, SAI	1	0%	1	0%	2	0%
			807	0	3	Carcinoma epidermoide, SAI	35	10%	19	6%	54	8%
			807	1	3	Carcinoma epidermoide, tipo queratinizante, SAI	10	3%	4	1%	14	2%
			807	5	3	Carcinoma epidermoide seudoglandular			1	0%	1	0%
			808	1	2	Enfermedad de Bowen			1	0%	1	0%
			808	3	3	Carcinoma basaloide de células escamosas			4	1%	4	1%
			809	0	3	Carcinoma basocelular, SAI	157	47%	171	54%	328	50%
			809	2	3	Carcinoma basocelular infiltrante, SAI	7	2%	3	1%	10	2%
			809	3	3	Carcinoma basocelular, tipo fibroepitelial			2	1%	2	0%
			809	4	3	Carcinoma de células basales y escamosas	1	0%			1	0%
			809	7	3	Carcinoma basocelular, tipo nodular	78	23%	84	26%	162	25%
			809	8	3	Carcinoma basal adenoideo	1	0%			1	0%
			814	0	3	Adenocarcinoma, SAI	1	0%	1	0%	2	0%
			814	0	6	Adenocarcinoma metastásico, SAI	1	0%			1	0%
			823	0	3	Carcinoma sólido, SAI			1	0%	1	0%
			840	9	3	Poroma ecrino maligno			1	0%	1	0%
			852	0	3	Carcinoma lobulillar, SAI			1	0%	1	0%
			872	0	2	Melanoma in situ	1	0%			1	0%
			872	0	3	Melanoma maligno, SAI	10	3%	9	3%	19	3%
		872	1	3	Melanoma nodular	1	0%	1	0%	2	0%	
		874	2	3	Melanoma en léntigo maligno	1	0%			1	0%	
		874	4	3	Melanoma maligno lentiginoso acral	1	0%			1	0%	
		880	0	3	Sarcoma, SAI	1	0%			1	0%	

		880	2	3	Sarcoma de células gigantes	3	1%			3	0%	
		881	0	3	Fibrosarcoma, SAI	1	0%			1	0%	
		881	1	3	Fibromixosarcoma	1	0%	1	0%	2	0%	
		883	2	3	Dermatofibrosarcoma, SAI	1	0%			1	0%	
		904	0	3	Sarcoma sinovial, SAI			1	0%	1	0%	
		914	0	3	Sarcoma de Kaposi	13	4%	2	1%	15	2%	
		959	1	3	Linfoma maligno no Hodgkin, SAI	1	0%	2	1%	3	0%	
		970	0	3	Micosis fungoide	1	0%	2	1%	3	0%	
		970	9	3	Linfoma cutáneo de células T, SAI		0%	1	0%	1	0%	
		841	0	3	Adenocarcinoma sebáceo	1	0%			1	0%	
		913	3	3	Hemangioendotelioma epitelioido maligno			1	0%	1	0%	
		Total				335	100%	319	100%	654	100%	
C47	Nervios periféricos y sistema nervioso autónomo											
		814	0	3	Adenocarcinoma, SAI	1	50%	1	100%	2	67%	
		956	0	3	Neurilemoma maligno	1	50%		0%	1	33%	
		Total				2	100%	1	100%	3	100%	
C48	Peritoneo y retroperitoneo	800	0	3	Neoplasia maligna		0%	1	5%	1	3%	
		800	0	6	Neoplasia metastásica	1	6%	1	5%	2	5%	
		800	4	3	Tumor maligno de células fusiformes	1	6%		0%	1	3%	
		801	0	3	Carcinoma, SAI	1	6%	1	5%	2	5%	
		801	0	6	Carcinoma metastásico, SAI		0%	1	5%	1	3%	
		814	0	3	Adenocarcinoma, SAI	4	22%	3	14%	7	18%	
		814	0	6	Adenocarcinoma metastásico, SAI	1	6%	2	10%	3	8%	
		844	1	3	Cistadenocarcinoma seroso, SAI		0%	1	5%	1	3%	
		880	1	3	Sarcoma fusocelular, SAI	1	6%		0%	1	3%	
		880	2	3	Sarcoma de células gigantes	1	6%		0%	1	3%	
		885	0	3	Liposarcoma, SAI	1	6%	1	5%	2	5%	
		889	0	3	Leiomiomasarcoma, SAI	2	11%	5	24%	7	18%	
		905	0	3	Mesotelioma maligno		0%	1	5%	1	3%	
		959	1	3	Linfoma maligno no Hodgkin, SAI		0%	1	5%	1	3%	
		965	2	3	Linfoma de Hodgkin, celularidad mixta, SAI	1	6%		0%	1	3%	
		967	3	3	Linfoma de células del manto		0%	1	5%	1	3%	
		968	0	3	Linfoma maligno difuso tipo B de células grandes, SAI	2	11%	1	5%	3	8%	
		968	7	3	Linfoma de Burkitt, SAI	1	6%		0%	1	3%	
		969	5	3	Linfoma folicular grado 1	1	6%	1	5%	2	5%	
			Total				18	100%	21	100%	39	100%

C49	Tejido conjuntivo, subcutáneo y de otros tejidos blandos	800	0	3	Neoplasia maligna			2	9%	2	5%
		801	2	3	Carcinoma de células grandes, SAI	1	5%			1	2%
		807	0	3	Carcinoma epidermoide, SAI			1	5%	1	2%
		880	0	3	Sarcoma, SAI	2	11%	2	9%	4	10%
		880	1	3	Sarcoma fusocelular, SAI			4	18%	4	10%
		880	2	3	Sarcoma de células gigantes			1	5%	1	2%
		880	5	3	Sarcoma indiferenciado	1	5%			1	2%
		881	0	3	Fibrosarcoma, SAI	2	11%			2	5%
		881	1	3	Fibromixosarcoma	1	5%			1	2%
		883	0	3	Histiocitoma fibroso maligno			1	5%	1	2%
		885	0	3	Liposarcoma, SAI			2	9%	2	5%
		885	2	3	Liposarcoma mixoide			1	5%	1	2%
		885	3	3	Liposarcoma de células redondas	1	5%			1	2%
		885	4	3	Liposarcoma pleomorfo	4	21%	3	14%	7	17%
		889	0	3	Leiomiomasarcoma, SAI	1	5%			1	2%
		889	1	3	Leiomiomasarcoma epitelioides	1	5%			1	2%
		891	0	3	Rabdomiosarcoma embrionario			1	5%	1	2%
		904	1	3	Sarcoma sinovial, tipo fusocelular			1	5%	1	2%
		912	0	3	Hemangiosarcoma	1	5%			1	2%
		926	0	3	Sarcoma de Ewing	1	5%			1	2%
		959	0	3	Linfoma maligno, SAI	1	5%			1	2%
		965	0	3	Linfoma de Hodgkin, SAI			1	5%	1	2%
		968	0	3	Linfoma maligno difuso tipo B de células grandes, SAI			1	5%	1	2%
		890	0	3	Rabdomiosarcoma, SAI			1	5%	1	2%
		892	0	3	Rabdomiosarcoma alveolar	1	5%			1	2%
		882	2	1	Fibromatosis abdominal	1	5%			1	2%
		Total				19	100%	22	100%	41	100%
C50	Mama	800	0	3	Neoplasia maligna			2	0%	2	0%
		801	0	3	Carcinoma, SAI			1	0%	1	0%
		805	0	3	Carcinoma papilar, SAI			1	0%	1	0%
		807	0	2	Carcinoma epidermoide in situ, SAI			1	0%	1	0%
		814	0	3	Adenocarcinoma, SAI			1	0%	1	0%
		823	0	3	Carcinoma sólido, SAI			1	0%	1	0%
		826	0	3	Adenocarcinoma papilar, SAI			1	0%	1	0%
		848	0	3	Adenocarcinoma mucinoso			6	1%	6	1%
		850	0	2	Carcinoma intraductal no infiltrante, SAI			4	1%	4	1%

C51		850	0	3	Carcinoma ductal infiltrante, SAI			459	89%	459	89%	
		850	1	3	Comedocarcinoma, SAI			2	0%	2	0%	
		850	3	3	Adenocarcinoma papilar intraductal con invasión			1	0%	1	0%	
		850	4	3	Carcinoma intraquístico, SAI			1	0%	1	0%	
		851	0	3	Carcinoma medular, SAI			6	1%	6	1%	
		852	0	3	Carcinoma lobulillar, SAI			18	3%	18	3%	
		852	1	3	Carcinoma de los conductos terminales, infiltrante			5	1%	5	1%	
		855	0	3	Carcinoma de células acinosas			1	0%	1	0%	
		889	0	3	Leiomiocarcinoma, SAI			1	0%	1	0%	
		902	0	3	Tumor filodes maligno			2	0%	2	0%	
		912	0	3	Hemangiosarcoma			1	0%	1	0%	
		959	1	3	Linfoma maligno no Hodgkin, SAI			1	0%	1	0%	
		854	0	3	Enfermedad de Paget, mamaria			1	0%	1	0%	
		Total						517	100%	517	100%	
	C52	Vulva	801	0	3	Carcinoma, SAI			1	7%	1	7%
			807	0	2	Carcinoma epidermoide in situ, SAI			1	7%	1	7%
			807	0	3	Carcinoma epidermoide, SAI			5	36%	5	36%
			807	1	3	Carcinoma epidermoide, tipo queratinizante, SAI			1	7%	1	7%
			807	2	3	Carcinoma epidermoide de células grandes, tipo no queratinizante, SAI			2	14%	2	14%
		812	3	3	Carcinoma basaloide			1	7%	1	7%	
		814	0	3	Adenocarcinoma, SAI			2	14%	2	14%	
		849	0	3	Carcinoma de células en anillo de sello			1	7%	1	7%	
		Total						14	100%	14	100%	
C53		Vagina	800	0	3	Neoplasia maligna			1	6%	1	6%
		801	0	2	Carcinoma in situ, SAI			1	6%	1	6%	
		807	0	3	Carcinoma epidermoide, SAI			9	56%	9	56%	
		807	2	3	Carcinoma epidermoide de células grandes, tipo no queratinizante, SAI			2	13%	2	13%	
		814	0	3	Adenocarcinoma, SAI			1	6%	1	6%	
		838	0	3	Adenocarcinoma endometrioide, SAI			1	6%	1	6%	
		889	0	3	Leiomiocarcinoma, SAI			1	6%	1	6%	
		Total						16	100%	16	100%	
C53	Cuello Uterino	800	0	3	Neoplasia maligna			1	0%	1	0%	
		801	0	2	Carcinoma in situ, SAI			5	2%	5	2%	
		801	0	3	Carcinoma, SAI			6	2%	6	2%	

	802	0	3	Carcinoma indiferenciado, SAI			1	0%	1	0%
	805	0	3	Carcinoma papilar, SAI			1	0%	1	0%
	807	0	2	Carcinoma epidermoide in situ, SAI			12	4%	12	4%
	807	0	3	Carcinoma epidermoide, SAI			163	53%	163	53%
	807	1	3	Carcinoma epidermoide, tipo queratinizante, SAI			16	5%	16	5%
	807	2	3	Carcinoma epidermoide de células grandes, tipo no queratinizante, SAI			31	10%	31	10%
	807	3	3	Carcinoma epidermoide de células pequeñas, tipo no queratinizante			2	1%	2	1%
	807	6	3	Carcinoma epidermoide microinvasor			8	3%	8	3%
	807	7	2	Neoplasia intraepitelial de células escamosas de alto grado			3	1%	3	1%
	814	0	3	Adenocarcinoma, SAI			33	11%	33	11%
	826	0	3	Adenocarcinoma papilar, SAI			1	0%	1	0%
	838	0	3	Adenocarcinoma endometrioide, SAI			7	2%	7	2%
	838	4	3	Adenocarcinoma, tipo endocervical			12	4%	12	4%
	846	0	3	Cistadenocarcinoma seroso papilar			2	1%	2	1%
	848	0	3	Adenocarcinoma mucinoso			1	0%	1	0%
	848	2	3	Adenocarcinoma mucinoso, tipo endocervical			1	0%	1	0%
	856	0	3	Carcinoma adenoescamoso			1	0%	1	0%
	889	0	3	Leiomiocarcinoma, SAI			2	1%	2	1%
	800	0	3	Neoplasia maligna			1	2%	1	2%
	801	0	3	Carcinoma, SAI			1	2%	1	2%
	805	0	3	Carcinoma papilar, SAI			1	2%	1	2%
	807	1	3	Carcinoma epidermoide, tipo queratinizante, SAI			1	2%	1	2%
	814	0	3	Adenocarcinoma, SAI			6	11%	6	11%
	826	0	3	Adenocarcinoma papilar, SAI			1	2%	1	2%
	831	0	3	Adenocarcinoma de células claras, SAI			2	4%	2	4%
	838	0	3	Adenocarcinoma endometrioide, SAI			34	63%	34	63%
	838	2	3	Adenocarcinoma endometrioide, variante secretora			1	2%	1	2%
	838	4	3	Adenocarcinoma, tipo endocervical			1	2%	1	2%
	846	0	3	Cistadenocarcinoma seroso papilar			1	2%	1	2%
	889	0	3	Leiomiocarcinoma, SAI			1	2%	1	2%
	893	0	3	Sarcoma del estroma endometrial, SAI			2	4%	2	4%
	895	0	3	Tumor mülleriano mixto			1	2%	1	2%
	Total						363	100%	363	100%
C55	Útero	801	0	3	Carcinoma, SAI		1	3%	1	3%

C56		807	0	2	Carcinoma epidermoide in situ, SAI			1	3%	1	3%	
		807	0	3	Carcinoma epidermoide, SAI			3	10%	3	10%	
		807	1	3	Carcinoma epidermoide, tipo queratinizante, SAI			1	3%	1	3%	
		807	2	3	Carcinoma epidermoide de células grandes, tipo no queratinizante, SAI			1	3%	1	3%	
		807	6	3	Carcinoma epidermoide microinvasor			3	10%	3	10%	
		838	0	3	Adenocarcinoma endometriode, SAI			3	10%	3	10%	
		889	0	3	Leiomiocarcinoma, SAI			17	55%	17	55%	
		841	0	3	Adenocarcinoma sebáceo			1	3%	1	3%	
		Total						31	100%	31	100%	
		Ovario	800	0	3	Neoplasia maligna			2	3%	2	3%
			814	0	3	Adenocarcinoma, SAI			3	4%	3	4%
			826	0	3	Adenocarcinoma papilar, SAI			1	1%	1	1%
			831	0	3	Adenocarcinoma de células claras, SAI			2	3%	2	3%
			844	1	3	Cistadenocarcinoma seroso, SAI			10	13%	10	13%
			844	2	1	Cistadenoma seroso de malignidad borderline			1	1%	1	1%
			845	0	3	Cistadenocarcinoma papilar, SAI			4	5%	4	5%
			846	0	3	Cistadenocarcinoma seroso papilar			39	49%	39	49%
			846	1	3	Carcinoma papilar de superficie serosa			1	1%	1	1%
			847	0	3	Cistadenocarcinoma mucinoso, SAI			1	1%	1	1%
			847	1	3	Cistadenocarcinoma mucinoso papilar			1	1%	1	1%
			848	0	3	Adenocarcinoma mucinoso			3	4%	3	4%
			849	0	3	Carcinoma de células en anillo de sello			1	1%	1	1%
			849	0	6	Carcinoma metastásico de células en anillo de sello			1	1%	1	1%
			862	0	3	Tumor maligno de células de la granulosa			1	1%	1	1%
			906	0	3	Disgerminoma			2	3%	2	3%
			906	4	3	Germinoma			1	1%	1	1%
			906	5	3	Tumor de células germinales, distinto de seminoma			1	1%	1	1%
			907	1	3	Tumor del saco vitelino			2	3%	2	3%
		908	0	3	Teratoma maligno, SAI			1	1%	1	1%	
		901	4	3	Adenocarcinofibroma seroso			1	1%	1	1%	
	Total							79	100%	79	100%	
C57	Otros órganos genitales femeninos y los no especificados	814	0	3	Adenocarcinoma, SAI			1	100%	1	100%	
	Total							1	100%	1	100%	

C58	Placenta	910	0	3	Coriocarcinoma, SAI			2	100%	2	100%	
	Total							2	100%	2	100%	
C60	Pene	805	1	3	Carcinoma verrugoso, SAI	5	25%			5	25%	
		807	0	3	Carcinoma epidermoide, SAI	8	40%			8	40%	
		807	1	3	Carcinoma epidermoide, tipo queratinizante, SAI	4	20%			4	20%	
		807	6	3	Carcinoma epidermoide microinvasor	1	5%			1	5%	
		872	0	3	Melanoma maligno, SAI	1	5%			1	5%	
		912	0	3	Hemangiosarcoma	1	5%			1	5%	
	Total					20	100%			20	100%	
C61	Glándula Prostática	807	0	3	Carcinoma epidermoide, SAI	2	1%			2	1%	
		814	0	3	Adenocarcinoma, SAI	236	91%			236	91%	
		814	8	2	Neoplasia intraepitelial glandular de alto grado	1	0%			1	0%	
		850	0	3	Carcinoma ductal infiltrante, SAI	1	0%			1	0%	
		855	0	3	Carcinoma de células acinosas	16	6%			16	6%	
		855	1	3	Cistadenocarcinoma células acinares	1	0%			1	0%	
		856	0	3	Carcinoma adenoescamoso	1	0%			1	0%	
		841	0	3	Adenocarcinoma sebáceo	1	0%			1	0%	
	Total					259	100%			259	100%	
C62	Testículos	800	0	3	Neoplasia maligna	1	4%			1	4%	
		807	0	3	Carcinoma epidermoide, SAI	1	4%			1	4%	
		883	0	3	Histiocitoma fibroso maligno	1	4%			1	4%	
		891	0	3	Rabdomiosarcoma embrionario	1	4%			1	4%	
		906	1	3	Seminoma, SAI	10	42%			10	42%	
		906	5	3	Tumor de células germinales, distinto de seminoma	1	4%			1	4%	
		907	0	3	Carcinoma embrionario, SAI	3	13%			3	13%	
		907	1	3	Tumor del saco vitelino	2	8%			2	8%	
		908	0	1	Teratoma, SAI	1	4%			1	4%	
		908	1	3	Teratocarcinoma	1	4%			1	4%	
		908	5	3	Tumor mixto de células germinales	1	4%			1	4%	
		968	0	3	Linfoma maligno difuso tipo B de células grandes, SAI	1	4%			1	4%	
		Total					24	100%			24	100%
	C64	Riñón	801	0	3	Carcinoma, SAI	1	2%			1	1%
		812	0	3	Carcinoma de células transicionales, SAI	1	2%			1	1%	
		813	0	3	Carcinoma papilar de células transicionales	1	2%	1	2%	2	2%	
		814	0	6	Adenocarcinoma metastásico, SAI	1	2%			1	1%	
		826	0	3	Adenocarcinoma papilar, SAI			1	2%	1	1%	
		831	0	3	Adenocarcinoma de células claras, SAI	6	10%	7	17%	13	13%	

		831	2	3	Carcinoma de células renales, SAI	45	76%	29	69%	74	73%
		831	7	3	Carcinoma de células renales tipo cromóforo		0%	1	2%	1	1%
		831	9	3	Carcinoma de túbulos colectores	1	2%		0%	1	1%
		880	5	3	Sarcoma indiferenciado		0%	1	2%	1	1%
		889	0	3	Leiomioma, SAI		0%	1	2%	1	1%
		895	9	3	Nefroma quístico maligno	1	2%			1	1%
		896	0	3	Nefroblastoma, SAI	1	2%			1	1%
		904	4	3	Sarcoma de células claras, SAI			1	2%	1	1%
		968	0	3	Linfoma maligno difuso tipo B de células grandes, SAI	1	2%			1	1%
	Total					59	100%	42	100%	101	100%
C65	Pelvis Renal	807	2	3	Carcinoma epidermoide de células grandes, tipo no queratinizante, SAI			1	100%	1	50%
		812	0	3	Carcinoma de células transicionales, SAI	1	100%			1	50%
	Total					1	100%	1	100%	2	100%
C66	Uréter	812	0	3	Carcinoma de células transicionales, SAI			1	100%	1	100%
	Total							1	100%	1	100%
C67	Vejiga Urinaria	800	0	3	Neoplasia maligna	1	3%			1	2%
		801	0	3	Carcinoma, SAI	2	5%			2	4%
		805	0	3	Carcinoma papilar, SAI	1	3%	1	7%	2	4%
		807	0	3	Carcinoma epidermoide, SAI			2	13%	2	4%
		812	0	3	Carcinoma de células transicionales, SAI	24	65%	9	60%	33	63%
		813	0	3	Carcinoma papilar de células transicionales	9	24%	3	20%	12	23%
	Total					37	100%	15	100%	52	100%
C68	Otros órganos urinarios y los no especificados	831	0	3	Adenocarcinoma de células claras, SAI			1	100%	1	100%
	Total							1	100%	1	100%
C69	Ojo Y Anexos	807	0	3	Carcinoma epidermoide, SAI	2	25%	1	14%	3	20%
		807	1	3	Carcinoma epidermoide, tipo queratinizante, SAI	2	25%			2	13%
		808	1	2	Enfermedad de Bowen	1	13%			1	7%
		809	7	3	Carcinoma basocelular, tipo nodular			1	14%	1	7%
		951	0	3	Retinoblastoma, SAI	3	38%	5	71%	8	53%
	Total					8	100%	9	100%	17	100%
C70	Meninges	953	0	3	Meningioma maligno			2	100%	2	100%
	Total							2	100%	2	100%
C71	Encéfalo	800	0	3	Neoplasia maligna	2	4%	2	4%	4	4%
		800	4	3	Tumor maligno de células fusiformes	1	2%			1	1%
		814	0	6	Adenocarcinoma metastásico, SAI			1	2%	1	1%
		880	0	3	Sarcoma, SAI	1	2%			1	1%

		880	5	3	Sarcoma indiferenciado	1	2%			1	1%
		896	3	3	Tumor rabdoide maligno	1	2%			1	1%
		938	2	3	Glioma mixto			1	2%	1	1%
		939	1	3	Ependimoma, SAI			1	2%	1	1%
		940	0	3	Astrocitoma, SAI	25	46%	22	47%	47	47%
		940	1	3	Astrocitoma anaplásico	6	11%			6	6%
		942	0	3	Astrocitoma fibrilar	2	4%			2	2%
		944	0	3	Glioblastoma	5	9%	9	19%	14	14%
		944	1	3	Glioblastoma de células gigantes			1	2%	1	1%
		944	2	3	Gliosarcoma			1	2%	1	1%
		945	0	3	Oligodendroglioma, SAI	5	9%	1	2%	6	6%
		945	1	3	Oligodendroglioma anaplásico			1	2%	1	1%
		947	0	3	Meduloblastoma, SAI	4	7%	1	2%	5	5%
		947	3	3	Tumor neuroectodérmico primitivo, SAI			1	2%	1	1%
		947	4	3	Meduloblastoma de células grandes			1	2%	1	1%
		950	8	3	Tumor teratoide / rabdoide atípico	1	2%			1	1%
		953	0	3	Meningioma maligno			2	4%	2	2%
		956	0	3	Neurilemoma maligno			1	2%	1	1%
		916	1	1	Hemangioblastoma			1	2%	1	1%
		Total				54	100%	47	100%	101	100%
C72	Medula espinal, nervios craneales y de otras partes del sistema nervioso central										
		939	1	3	Ependimoma, SAI	1	25%			1	25%
		940	0	3	Astrocitoma, SAI	1	25%			1	25%
		959	0	3	Linfoma maligno, SAI	1	25%			1	25%
		959	1	3	Linfoma maligno no Hodgkin, SAI	1	25%			1	25%
	Total				4	100%			4	100%	
C73	Glándula Tiroides	800	0	3	Neoplasia maligna			2	1%	2	1%
		801	0	3	Carcinoma, SAI			1	1%	1	0%
		805	0	3	Carcinoma papilar, SAI	1	2%	5	3%	6	3%
		814	0	3	Adenocarcinoma, SAI	1	2%	1	1%	2	1%
		826	0	3	Adenocarcinoma papilar, SAI	40	89%	125	78%	165	80%
		833	0	3	Adenocarcinoma folicular, SAI			6	4%	6	3%
		834	0	3	Carcinoma papilar, variante folicular	2	4%	19	12%	21	10%
		843	0	3	Carcinoma mucoepidermoide			1	1%	1	0%
		851	0	3	Carcinoma medular, SAI	1	2%	1	1%	2	1%
		Total				45	100%	161	100%	206	100%
C74	Glándula Suprarrenal (Adrenal)	950	0	3	Neuroblastoma, SAI	1	100%			1	100%

C76	Total				1	100%			1	100%	
	Sitios mal definidos y otros	800	0	3	Neoplasia maligna	3	9%	3	14%	6	11%
		800	0	1	Neoplasia de benignidad o malignidad incierta	1	3%			1	2%
		800	2	3	Tumor maligno de células pequeñas	1	3%			1	2%
		801	0	3	Carcinoma, SAI	2	6%			2	4%
		807	0	2	Carcinoma epidermoide in situ, SAI	1	3%	1	5%	2	4%
		807	0	3	Carcinoma epidermoide, SAI	10	31%	4	19%	14	26%
		807	1	3	Carcinoma epidermoide, tipo queratinizante, SAI	1	3%			1	2%
		809	0	3	Carcinoma basocelular, SAI			1	5%	1	2%
		814	0	3	Adenocarcinoma, SAI	3	9%	5	24%	8	15%
		824	0	3	Tumor carcinoide, SAI	1	3%			1	2%
		844	1	3	Cistadenocarcinoma seroso, SAI			1	5%	1	2%
		849	0	3	Carcinoma de células en anillo de sello	1	3%	2	10%	3	6%
		855	0	3	Carcinoma de células acinosas			1	5%	1	2%
		881	1	3	Fibromixosarcoma	1	3%			1	2%
		885	1	3	Liposarcoma bien diferenciado	1	3%			1	2%
		906	4	3	Germinoma	2	6%			2	4%
		959	0	3	Linfoma maligno, SAI	1	3%			1	2%
		959	1	3	Linfoma maligno no Hodgkin, SAI			1	5%	1	2%
		966	3	3	Linfoma de Hodgkin tipo esclerosis nodular, SAI	1	3%			1	2%
		970	2	3	Linfoma de células T maduras, SAI	1	3%	1	5%	2	4%
		973	1	3	Plasmocitoma, SAI	1	3%			1	2%
		913	0	1	Hemangioendotelioma, SAI			1	5%	1	2%
C77	Total				32	100%	21	100%	53	100%	
	Ganglios Linfáticos	800	0	3	Neoplasia maligna			1	1%	1	1%
		800	2	3	Tumor maligno de células pequeñas			1	1%	1	1%
		801	0	3	Carcinoma, SAI	1	1%	3	3%	4	2%
		807	0	3	Carcinoma epidermoide, SAI	2	3%	1	1%	3	2%
		814	0	3	Adenocarcinoma, SAI	1	1%	2	2%	3	2%
		814	0	6	Adenocarcinoma metastásico, SAI	1	1%			1	1%
		826	0	3	Adenocarcinoma papilar, SAI	1	1%			1	1%
		850	0	3	Carcinoma ductal infiltrante, SAI			1	1%	1	1%
		959	0	3	Linfoma maligno, SAI	3	4%			3	2%
		959	1	3	Linfoma maligno no Hodgkin, SAI	11	14%	15	17%	26	16%
		965	0	3	Linfoma de Hodgkin, SAI	3	4%	4	4%	7	4%
		965	1	3	Linfoma de Hodgkin, rico en linfocitos	1	1%			1	1%
		965	2	3	Linfoma de Hodgkin, celularidad mixta, SAI	3	4%	4	4%	7	4%

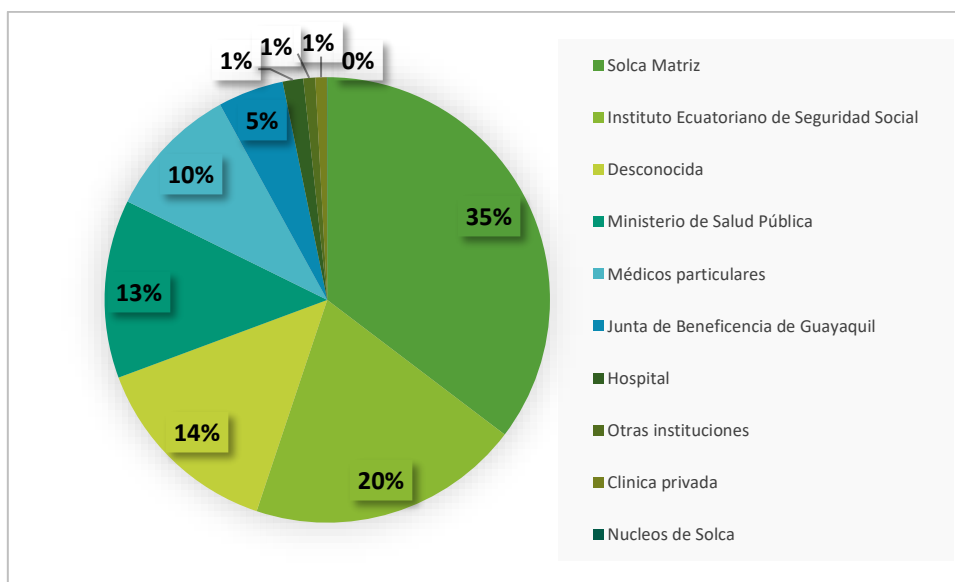
C80		966	3	3	Linfoma de Hodgkin tipo esclerosis nodular, SAI	3	4%	9	10%	12	7%	
		966	4	3	Linfoma de Hodgkin, esclerosis nodular, fase celular			1	1%	1	1%	
		966	5	3	Linfoma de Hodgkin, esclerosis nodular, grado 1	1	1%			1	1%	
		966	7	3	Linfoma de Hodgkin, esclerosis nodular, grado 2			1	1%	1	1%	
		967	0	3	Linfoma maligno de linfocitos B pequeños, SAI	11	14%	9	10%	20	12%	
		967	3	3	Linfoma de células del manto			1	1%	1	1%	
		967	5	3	Linfoma maligno difuso mixto de células grandes y pequeñas	1	1%			1	1%	
		968	0	3	Linfoma maligno difuso tipo B de células grandes, SAI	23	30%	24	27%	47	28%	
		968	7	3	Linfoma de Burkitt, SAI	3	4%	1	1%	4	2%	
		969	0	3	Linfoma folicular, SAI	1	1%	5	6%	6	4%	
		969	1	3	Linfoma folicular, grado 2	1	1%			1	1%	
		969	5	3	Linfoma folicular grado 1	2	3%	3	3%	5	3%	
		969	9	3	Linfoma de células B de zona marginal, SAI			1	1%	1	1%	
		970	2	3	Linfoma de células T maduras, SAI	2	3%			2	1%	
		970	5	3	Linfoma de células T angioinmunoblástico	1	1%	2	2%	3	2%	
		973	1	3	Plasmocitoma, SAI	1	1%			1	1%	
		975	0	3	Histiocitosis maligna		0%	1	1%	1	1%	
		Total				77	100%	90	100%	167	100%	
		Sitio primario desconocido	801	0	3	Carcinoma, SAI	1	4%			1	2%
			807	0	3	Carcinoma epidermoide, SAI	1	4%	1	4%	2	4%
			814	0	3	Adenocarcinoma, SAI	18	78%	22	88%	40	83%
			968	0	3	Linfoma maligno difuso tipo B de células grandes, SAI	1	4%	1	4%	2	4%
			969	0	3	Linfoma folicular, SAI	1	4%	1	4%	2	4%
			971	9	3	Linfoma de células NK/T, nasal y de tipo nasal	1	4%			1	2%
		Total				23	100%	25	100%	48	100%	
		Total general				1795		2496		4291		

INCIDENCIA DE CÁNCER DETERMINADO POR INSTITUCIÓN Y POR SEXO

INSTITUCIÓN	HOMBRE		MUJER		TOTAL	
	CASOS	PORCENTAJE	CASOS	PORCENTAJE	CASOS	PORCENTAJE
Solca Matriz	518	12,07%	998	23,26%	1516	35,33%
Instituto Ecuatoriano de Seguridad Social	434	10,11%	416	9,69%	850	19,81%
Desconocida	286	6,67%	323	7,53%	609	14,19%
Ministerio de Salud Pública	189	4,40%	367	8,55%	556	12,96%
Médicos particulares	207	4,82%	210	4,89%	417	9,72%
Junta de Beneficencia de Guayaquil	106	2,47%	99	2,31%	205	4,78%
Hospital	31	0,72%	33	0,77%	64	1,49%
Otras instituciones	4	0,09%	33	0,77%	37	0,86%
Clinica privada	20	0,47%	16	0,37%	36	0,84%
Nucleos de Solca		0,00%	1	0,02%	1	0,02%
Total general	1795	100%	2496	100%	4291	100%

Fuente: Registro de tumores SOLCA – Guayaquil

Gráfico de Incidencias por Instituciones



Fuente: Registro de tumores SOLCA – Guayaquil

TRABAJOS, PÓSTERES Y CONTRIBUCIONES CIENTÍFICAS REALIZADAS

ARTÍCULOS:

Real-Cotto Jhony Joe; Quinto-Briones Rina Mariuxi; Tanca-Campozano Juan Pablo; Puga-Peña Gonzalo Rafael; Jaramillo-Feijoo Leyda Elizabeth. 2022. Aspectos epidemiológicos del tumor maligno de la glándula tiroides en Guayaquil, período 2001 – 2015. Revista cubana de medicina general integral. VOLUMEN 38, NÚMERO 1, enero-marzo de 2022

Real-Cotto Jhony Joe, Jaramillo-Feijoo Leyda Elizabeth, Real-Roby Roddy Andrés; Ordoñez-Sánchez Joe Luis. 2021. Aspectos epidemiológicos de tumores malignos atendidos en el hospital de Solca - Guayaquil, periodo 2015 – 2019. Journal of health an medical sciences. Revista de la Facultad de ciencias de la Salud de la Universidad de Tarapacá, Chile. Volumen 7, Fascículo 4: 239-243, 2021.

Real-Cotto Jhony Joe; Tanca-Campozano Juan Pablo; Jaramillo-Feijoo Leyda Elizabeth, Puga-Peña Gonzalo Rafael; Quinto-Briones Rina Mariuxi. 2021. Caracterización epidemiológica de las Neoplasias del Tejido Hematopoyético y Linfoide atendidos en el Instituto Oncológico Nacional-SOLCA Guayaquil. Revista Oncológica SOLCA Guayaquil. Vol. 31 Núm. 1 (2021): Abril del 2021

Real-Cotto Jhony Joe; Jaramillo-Feijoo Leyda Elizabeth; Tanca-Campozano Juan Pablo; Puga-Peña Gonzalo Rafael; Quinto-Briones Rina Mariuxi; Roha-Ochoa Ana Carolina. Incidencia y mortalidad del cáncer de piel no melanoma en Guayaquil. 2020. Journal of health an medical sciences. Revista de la Facultad de ciencias de la Salud de la Universidad de Tarapacá, Chile. Volumen 6, Fascículo 4: 277-281, 2020.

Jhony Joe Real Cotto; Leyda Elizabeth Jaramillo Feijoo; Rina Mariuxi Quinto Briones; Roddy Andrés Real Roby. Journal of Science and Research: Revista Ciencia e Investigación. Universidad Técnica de Babahoyo, Ecuador. VOL. 5 NÚM. CININGEC (2020). I Congreso internacional de investigación, innovación y gestión del conocimiento, 433 - 442.

Jaramillo-Feijoo Leyda Elizabeth; Quinto-Briones Rina Mariuxi; Tanca-Campozano Juan Pablo; Puga-Peña Gonzalo Rafael; Real-Cotto Jhony Joe. 2020. Incidencia y mortalidad del cáncer en hospital SOLCA – Guayaquil. Journal of health an medical sciences. Revista de la Facultad de ciencias de la Salud de la Universidad de Tarapacá, Chile. Volumen 6, Fascículo 3, julio - septiembre 2020

Jaramillo-Feijoo Leyda Elizabeth; Galindo-Villardón María Purificación; Real-Cotto Jhony Joe; González-Rugel José Luis, Idrovo-Madeco Segundo Enrique. 2020. "Clúster espacial de mortalidad por cáncer de mama en Ecuador". Revista de la Facultad de ciencias de la Salud de la Universidad de Tarapacá, Chile. Volumen 6, Fascículo 1, 2020

Jaramillo-Feijoo Leyda, Galindo-Villardón Purificación, Real-Cotto Jhony. 2020. Análisis clúster para Big data: una aplicación con variables demográficas en provincias del Ecuador. Journal of health an medical sciences. Revista de la Facultad de ciencias de la Salud de la Universidad de Tarapacá, Chile. Volumen 6, Fascículo 1, 2020

Tanca-Campozano Juan; Puga-Peña Gonzalo; Quinto-Briones Rina, Real-Cotto Jhony; Jaramillo-Feijoo Leyda. 2019. Mortalidad y años de vida potencialmente perdidos en cáncer de mama y cérvix en Guayaquil. Revista Ecuatoriana de Ciencia, Tecnología e Innovación en Salud Pública. Revista electrónica. Volumen 3, número 1, enero - junio de 2019

Real-Cotto Jhony Joe; Quinto-Briones Rina Mariuxi; Tanca-Campozano Juan Pablo; Puga-Peña Gonzalo Rafael; Jaramillo-Feijoo Leyda Elizabeth. 2018. "Incidencia de cáncer en hospital de SOLCA Guayaquil" 2013-2017". Revista cubana de medicina general integral. Volumen 35, número 2, abril - junio de 2019

Allemani C., et. al (2018). Global surveillance of trends in cancer survival 2000–2014 (CONCORD-3): analysis of individual records for 37 513 025 patients diagnosed with one of 18 cancers from 322 population-based registries in 71 countries. Lancet, 1023-1075

Quinto R., (2016). Caracterización del cáncer infantil en la región de Guayas-Ecuador: Un enfoque multivariante. Maestría en Análisis avanzado de datos multivariantes (Tesis no publicada). Universidad de Salamanca, Salamanca-España.

Allemani C., et. al (2015). Global surveillance of cancer survival 1995-2009: analysis of individual data for 25'676.887 patients from 279 population-based registries in 67 countries (CONCORD-2). Lancet, 977-1010.

PÓSTERES:

Jaramillo L., Roha A., Jaramillo A., Quinto R., Real J., (2018, noviembre). Spatial distribution of the most frequent cancers in Guayaquil. Presentado en la 40th IACR Annual Scientific Conference, Arequipa-Perú.

Quinto R., Jaramillo L., Real J., (noviembre 2018). Pediatric cancer incidence in SOLCA Guayaquil, 2000-2017. Presentado en la 40th IACR Annual Scientific Conference, Arequipa-Perú.

Quinto R., Jaramillo L., Real J., (noviembre 2018). Epidemiological profile of cancer in Guayaquil, 2008-2012. Presentado en la 40th IACR Annual Scientific Conference, Arequipa-Perú.

La información de los trabajos y pósteres realizados con datos de los registros de cáncer de base poblacional y hospitalaria, lo pueden encontrar visitando el siguiente link: www.estadisticas.med.ec